

การประเมินผลการดำเนินงานของหน่วยงานด้านป้องกันและปราบปรามอาชญากรรม  
และการบังคับใช้กฎหมาย ตามที่ได้รับมอบหมาย

มาตรฐานบัตรหุ้น โภภารกิจ

วันที่ ๑๖ พฤษภาคม พ.ศ.๒๕๖๔ จัดทำโดย กองบัญชาการฝ่ายปกครอง สำนักงานตำรวจแห่งชาติ

ภายใต้ความรับผิดชอบของ พลเอกวิษณุ เอื้อราษฎร์ รองนายกรัฐมนตรี

บัตรหุ้น จุดตรวจสอบความถูกต้อง

ประจำเดือน พฤษภาคม ๒๕๖๔

ISBN 974-636-493-6

ฉบับที่หนึ่ง ประจำเดือน พฤษภาคม ๒๕๖๔

BRT 5390 38

Am 44



โครงการพัฒนาองค์ความรู้และศึกษาเรียนรู้การบริหารจัดการทรัพยากรชีวภาพในประเทศไทย  
c/o ศูนย์พันธุวิเคราะห์และเทคโนโลยีชีวภาพแห่งชาติ  
อาคารสำนักงานพัฒนาวิทยาศาสตร์และเทคโนโลยีแห่งชาติ  
73/1 ถนนพระรามที่ 6 แขวงราชเทวี  
กรุงเทพฯ 10400

การตอบสนองทางสีริวิทยาของหอยเจ้าปะการังต่อการเปลี่ยนแปลงปริมาณ  
ตะกอนแขวนลอย ความเค็ม และปริมาณทองแดง

นางสาวปิยวารณ์ ใหม่ละอียด

วิทยานิพนธ์นี้เป็นส่วนหนึ่งของการศึกษาตามหลักสูตรปริญญาวิทยาศาสตร์มหาบัณฑิต  
ภาควิชาวิทยาศาสตร์ทางทะเล  
บัณฑิตวิทยาลัย จุฬาลงกรณ์มหาวิทยาลัย  
ปีการศึกษา 2539  
ISBN 974-636-493-6  
ลิขสิทธิ์บัณฑิตวิทยาลัย จุฬาลงกรณ์มหาวิทยาลัย

**PHYIOLOGICAL RESPONSES OF CORAL BORING BIVALVES TO CHANGES IN SUSPENDED  
SEDIMENT SALINITY AND COPPER CONCENTRATION**

**MISS PIYAWAN MAILA-IAD**

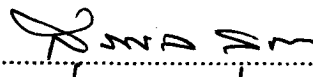
**A THESIS SUBMITTED IN PARTIAL FULFILLMENT OF THE REQUIREMENTS  
FOR THE DEGREE OF MASTER OF SCIENCE  
DEPARTMENT OF MARINE SCIENCE  
GRADUATE SCHOOL  
CHULALONGKORN UNIVERSITY  
ACADEMIC YEAR 1996  
ISBN 974-636-493-6**

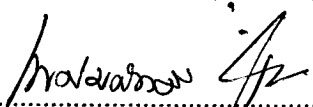
หัวข้อวิทยานิพนธ์ การตอบสนองทางสื่อวิทยาของหอยเจ้าประจำรังต่อการเปลี่ยนแปลง  
ปริมาณตะกอนแขวนลอยความเค็ม และปริมาณทองแดง  
โดย นางสาวปิยารณ ใหม่ละเอียด  
ภาควิชา วิทยาศาสตร์ทางทะเล  
อาจารย์ที่ปรึกษา รองศาสตราจารย์ ดร. เมดิมศักดิ์ จารยะพันธุ์  
อาจารย์ที่ปรึกษาร่วม รองศาสตราจารย์ ณัฐวรรตน์ ปภาสิทธิ์

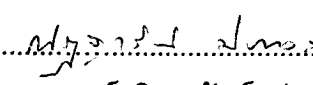
บันทึกวิทยาลัย จุฬาลงกรณ์มหาวิทยาลัย อนุมัติให้นับวิทยานิพนธ์ฉบับนี้เป็น<sup>๑</sup>  
ส่วนหนึ่งของการศึกษาตามหลักสูตรปริญญามหาบัณฑิต

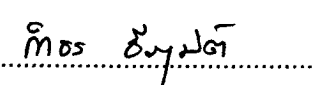
.....คณบดีบันทึกวิทยาลัย  
(ศาสตราจารย์ นายแพทย์ ศุภวัฒน์ ชุดวงศ์)

#### คณะกรรมการสอนวิทยานิพนธ์

..........ประธานกรรมการ  
(ผู้ช่วยศาสตราจารย์ ดร.สุรพล สุตรา)

..........อาจารย์ที่ปรึกษา  
(รองศาสตราจารย์ ดร. เมดิมศักดิ์ จารยะพันธุ์)

..........อาจารย์ที่ปรึกษาร่วม  
(รองศาสตราจารย์ ณัฐวรรตน์ ปภาสิทธิ์)

..........กรรมการ  
(ผู้ช่วยศาสตราจารย์ ดร.กำธร มีรุคปต.)

ปีบารณ ใหม่ละเอียด : การตอบสนองทางสิริวิทยาของหอยเจาะปะการังต่อการเปลี่ยนแปลงบริเวณตะกอนแขวน  
 ถอย ความเค็ม และปริมาณทองแดง (Physiological responses of coral boring bivalves to changes in  
 suspended sediment, salinity and copper concentrations) อ.ท.ปรีกษา รองศาสตราจารย์ ดร. แคนิ  
 ศักดิ์ จาเรย์พันธุ์ อ.ท.ปรีกษาร่วม รองศาสตราจารย์ พิญญารัตน์ ปภาลิกาน์ 101 หน้า ISBN 974-636-493-6

การศึกษาการตอบสนองทางสิริวิทยาของหอยเจาะปะการัง 3 ชนิดต่อการเปลี่ยนแปลงบริเวณตะกอนแขวนโดย ความเค็ม และปริมาณทองแดง หอยเจาะปะการัง 3 ชนิดที่ทำการศึกษาได้แก่ *Lithophaga malaccana* *Spengleria mytiloides* และ *Gastrochaena cuneiformis* การศึกษาได้แบ่งออกเป็น 3 ส่วนได้แก่ นิเวศวิทยา ชีววิทยา และสิริวิทยา ในส่วนของนิเวศวิทยาได้ทำการศึกษาจำนวน การกระจำ แหล่งที่อยู่อาศัยของหอยเจาะปะการังที่พบโดยการนับจำนวนจากสถานีศึกษา 3 สถานีรองจากห้องทดลอง พบจำนวนเฉลี่ย รวมของหอยเจาะปะการังทั้ง 3 ชนิดที่พบในสถานี A เท่ากับ 5 ตัว/ตารางเมตร สถานี C เท่ากับ 2 ตัว/ตารางเมตร และสถานี D เท่ากับ 1 ตัวต่อตารางเมตร หอยเจาะปะการังนับในบริเวณแตกต่างกันคือ *Lithophaga* spp. พบในปะการังมีชีวิทถ่ายชีวิตและปะการังตายส่วน *S. mytiloides* และ *G. cuneiformis* นับพบได้เฉพาะในปะการังตายหรือในส่วนที่ตายของปะการังมีชีวิต

\* การศึกษาในส่วนของชีวิทยาของหอยเจาะปะการังโดยเฉพาะการศึกษาสัมฐานวิทยาแสดงให้เห็นว่าที่นาดของความยาว เมล็ดอกเท่ากันนั้น *L. malaccana* จะมีน้ำหนักมากที่สุด รองลงมาคือ *G. cuneiformis* และ *S. mytiloides* ในการหาอัตราส่วนเพศของหอยเจาะปะการังพบว่าอัตราส่วนระหว่างตัวผู้ต่อตัวเมียมีค่าใกล้เคียง 1 ต่อ 1 หอยทั้ง 3 ชนิดมีลักษณะการเปลี่ยนแปลงของค่า BCI (Body Condition Index) ในระยะเวลา 6 เดือนระหว่างเดือนมีนาคมถึงกรกฎาคมต่อวันก่อตัวคือ *L. malaccana* ค่า BCI มีแนวโน้มเพิ่มขึ้นเรื่อยๆ ส่วนค่า BCI ของ *S. mytiloides* ไม่มีการเปลี่ยนแปลงอย่างชัดเจนตลอดระยะเวลา และ *G. cuneiformis* ค่า BCI มีแนวโน้มว่าจะลดลง

ในส่วนของการศึกษาทางสิริวิทยานี้หอยเจาะปะการังทั้ง 3 ชนิดมีการตอบสนองต่อปริมาณตะกอนแขวนโดยเป็น 2 ลักษณะคือเมื่อตัวการหายใจเพิ่มขึ้นและเมื่อตัวการหายใจลดลงใน *G. cuneiformis* และ *S. mytiloides* ส่วน *L. malaccana* มีอัตราการหายใจเพิ่มขึ้นเพื่อตัวการกรองไม่เปลี่ยนแปลงในการตอบสนองต่อการเปลี่ยนแปลงความเค็ม 3 ระดับคือ 16 ppt. 24 ppt. และ 32 ppt. พบว่า ที่ความเค็มต่ำจะทำให้ค่าของเบรกการเติบโตของ *L. malaccana* และ *S. mytiloides* ลดต่ำลงมากกว่าที่ความเค็มสูง ในการตอบสนองต่อสารละลายทองแดงที่ความเข้มข้นต่างๆ กัน คือ 0 ไมโครกรัม/ลิตร 10 ไมโครกรัม/ลิตรและ 20 ไมโครกรัม/ลิตร ผลการศึกษาพบว่า ที่ความเข้มข้น 10 ไมโครกรัม/ลิตรค่าของเบรกการเติบโตของหอยเจาะปะการังทั้ง 3 ชนิดสูงสุด ผลการตอบสนองของการเปลี่ยนแปลงความเค็มร่วมกับความเข้มข้นของสารละลายทองแดงพบว่ามีของผลกระทบต่อความเค็มและการเพิ่มความเข้มข้นของทองแดงจะมีลักษณะเริ่มกันโดยที่ระดับความเข้มข้น 20 ไมโครกรัม/ลิตรและความเค็ม 16 ppt ทำให้ค่าของเบรกการเติบโตของ *L. malaccana* และ *S. mytiloides* ลดลงต่ำที่สุด เมื่อความเค็มเพิ่มขึ้นค่าของเบรกการเติบโตก็เพิ่มขึ้นตามไปด้วย ส่วนค่าของเบรกการเติบโตใน *G. cuneiformis* มีค่าเป็นลบในทุกชุดของภาระทดลองในส่วนการศึกษาทางสิริวิทยาแสดงว่าหอยชนิดนี้มีความไวต่อการเปลี่ยนแปลงสภาพแวดล้อมมากที่สุด

จากการศึกษานี้การที่หอยเจาะปะการังมีการตอบสนองทางสิริวิทยาต่อการเปลี่ยนแปลงสภาพแวดล้อมต่างกันนั้นคือ *L. malaccana* มีความทนทานต่อการเปลี่ยนแปลงสภาพแวดล้อมมากที่สุดขณะที่ *G. cuneiformis* มีความไวต่อการเปลี่ยนแปลงมากที่สุดซึ่งสอดคล้องกับการศึกษาทางนิเวศวิทยาคือ *L. malaccana* พบเป็นจำนวนมากได้ในปะการังมีชีวิตและปะการังตาย แต่ *G. cuneiformis* พบเฉพาะในปะการังตายหรือส่วนที่ตายของปะการังเท่านั้น ด้วยข้อแตกต่างของการตอบสนองต่อการเปลี่ยนแปลงสิ่งแวดล้อมที่ต่างกันนี้เองอาจนำไปพิจารณาถึงการเปลี่ยนแปลงสภาพแวดล้อมของแนวปะการังได้ดังนี้คือ *G. cuneiformis* นั้นเหมาะสมที่จะใช้ในการพิจารณาถึงความเปลี่ยนแปลงในแนวปะการังที่เดิมที่ตั้งอยู่ต่อไปน้อย ส่วน *L. malaccana* นั้นพบได้ทั่วไปในปะการังมีชีวิตและปะการังตาย จึงอาจนำไปพิจารณาถึงความเปลี่ยนแปลงของปะการังแนวปะการังต่างบริเวณในเวลาเดียวกันได้ โดยด้วยน้ำผลการศึกษาทางสิริวิทยามาประกอบในการพิจารณาด้วย

พิมพ์ด้วยบันทึกด้วยวิทยานิพาธ์ภัยในกรอบสีเขียวนี้เพียงแผ่นเดียว

# # C 726080 MAJOR : MARINE BIOLOGY  
KEY WORD: BORING BIVALVE / PHYSIOECOLOGY

PIYAWAN MAILA-IAD : PHYSIOLOGICAL RESPONSES OF CORAL BORING BIVALVES TO CHANGES IN SUSPENDED SEDIMENT, SALINITY AND COPPER CONCENTRATION

THESIS ADVISOR : ASSOC. PROF. PADERMSAK JARAYABHAND, Ph.D. THESIS CO-ADVISOR

ASSOC. PROF. NITTHARATANA PAPHAVASIT ,101 pp. ISBN 974-636-493-6

Physiological responses of coral boring bivalves to changes in suspended sediment, salinity and copper concentration were carried out in three coral boring bivalves found around coral reef of Khang Khao Island i.e. *Lithophaga malaccana*, *Spengleria mytiloides* and *Gastrochaena cuneiformis*. In this study the three major aspects of ecology, biology and physiology were investigated. The density, distribution pattern and natural habitats were studied. Average density of coral boring bivalves in stations A,C and D were 5.2 and 1 bivalves/m<sup>2</sup> respectively. *Lithophaga* spp. were found in many species of living corals and dead corals. *S. mytiloides* and *G. cuneiformis* were found only in dead coral or dead part of coral.

The biological results showed that at the same shell length, the highest weight was *L. malaccana*. In declining order were *G. cuneiformis* and *S. mytiloides* respectively. The sex ratio recorded in the three bivalves were closed to 1:1. The values of BCI (Body Condition Index) altered during 6 months. The BCI of *L. malaccana* tended to increase whereas in *G. cuneiformis* tended to decrease. *S. mytiloides* did not showed significant variations in BCI during the study period.

The physiological responses of boring bivalves to suspended sediment demonstrated two different patterns. The first pattern was the increases in respiration while the clearance rate decreased as found in *G. cuneiformis* and *S. mytiloides*. The second pattern was increases in respiration but the clearance rate unchanged as in *L. malaccana*. The responses to salinity changes at three levels i.e. 16 ppt., 24 ppt. and 32 ppt. showed the same trends in the three boring bivalves with low scope for growth at low salinity. In the responses to copper concentrations i.e. 0 µg/l 10 µg/l and 20 µg/l, the highest scope for growth occurred in the three bivalves was recorded at 10. µg/l. The responses to the combinations of salinity and copper concentrations showed synergistic effect . At salinity 16 ppt. and copper concentration 20 µg/l, the scope for growth for *L. malaccana* and *S. mytiloides* were lowest. The scope for growth increased with increasing salinity. The scope for growth of *G. cuneiformis* in all physiological experiments were minus. This may be concluded that this species was the most sensitive boring bivalve to environmental changes.

It can be concluded from the physiological responses of coral boring bivalves to environmental changes that *L. malaccana* was most tolerant species while *G. cuneiformis* was the most the most sensitive species. This correlated to the ecological study that *L. malaccana* was the most dominant speceis found in many species of living and dead corals. *G. cuneiformis* was rare and limited its distribution only in dead corals or dead part of corals. Moreover these results can be applicable to the monitoring on the changes in coral reefs. *G. cuneiformis* can be used as the indicator species on the changes occurred at one location but of different time periods. It is on condition that the percent coverage of dead corals should not change over the time course. *L. malaccana* can be used to monitor the changes in coral reefs at different localities during the same period. However the physiological responses must also be considered.

ภาควิชา วิทยาศาสตร์ ภาค ก=1.2 ลายมือชื่อนักศึกษา ๗๒๘๙๔ พ.ศ.๒๕๖๔  
สาขาวิชา วิทยาศาสตร์ ลายมือชื่ออาจารย์ที่ปรึกษา พ.ศ.๒๕๖๔

## กิตติกรรมประกาศ

ขอขอบขอบพระคุณรองศาสตราจารย์ ดร. เพดิมศักดิ์ จารยะพันธุ์ อาจารย์ที่ปรึกษา และรองศาสตราจารย์ณัฐรัตน์ ปภาวสิทธิ์ อาจารย์ที่ปรึกษาร่วม ที่กรุณาให้คำแนะนำเกี่ยวกับการศึกษาในระดับปริญญาโทและการทำวิทยานิพนธ์รวมทั้งช่วยจัดหาทุนในการทำวิจัยครั้งนี้ จนสำเร็จลุล่วงไปด้วยดี ขอขอบขอบพระคุณ ผู้ช่วยศาสตราจารย์ก้าวหน้า ชีรคุปต์ กรรมการสอบวิทยานิพนธ์และผู้ช่วยศาสตราจารย์สุรพล สุตรา ประธานการสอบวิทยานิพนธ์ ที่กรุณาให้คำชี้แนะและตรวจแก้ไขวิทยานิพนธ์ฉบับนี้จนสำเร็จเรียบร้อย

ขอขอบพระคุณ คุณสมภพ รุ่งสุภา นักวิจัยและบุคลากรของสถานีวิจัยและศูนย์ฝึกนิสิต เกาสะ挺 สถาบันวิจัยทรัพยากรทางน้ำและสถานีวิจัยสัตว์ทะเลอ่างศิลา จุฬาลงกรณ์มหาวิทยาลัย ที่ให้ความช่วยเหลือและอำนวยความสะดวกตลอดช่วงเวลาในการทำวิจัย

ขอขอบคุณ คุณปีนังศักดิ์ สุรัสวดี คุณพิญญา สารสาส คุณลัษณญา ศิริวิทยาปกรณ์ คุณปียะนารถ ตุ้มวอน และคุณศักดิ์อนันต์ ปลาทอง ที่ช่วยเหลือในการหาข้อมูลและให้คำแนะนำ

ขอขอบคุณ คุณศาสสวัต หัสดี สำหรับความช่วยเหลือที่มีให้ในทุก ๆ ด้านและเป็นที่ปรึกษาที่ดีเสมอมา คุณอาんなภาพ พานิชผลที่เอื้อเพื่อคอมพิวเตอร์และเป็นกำลังสำคัญในการวิจัยภาคสนาม คุณรุ่งตะวัน ยมหล้า คุณวีโรจน์ หิรัญชัยพฤกษ์ คุณอาจารย์ โพธิ์พงศ์วิวัฒน์ คุณภาวนี พัฒนจันทร์ คุณชาญญาธ สุดทองคง คุณสมบัติ อินกร์คง คุณปริทัศน์ เจริญสิทธิ์ คุณนิภิมา โชคชัยไฟศาล คุณณอมศักดิ์ บุญภักดี ที่ให้การชี้แนะและช่วยเหลือ

งานวิจัยครั้งนี้ได้รับเงินทุนสนับสนุนจากสำนักงานคณะกรรมการวิจัยแห่งชาติภายใต้โครงการความร่วมมือทางวิทยาศาสตร์ทางทะเลระหว่างไทย - สวีเดน : การจัดตั้งโครงสร้างติดตามสภาพนิเวศในอ่าวไทย บันทึกวิทยาลัย จุฬาลงกรณ์มหาวิทยาลัยและโครงการพัฒนาองค์ความรู้และศึกษาอย่างการจัดการทรัพยากริมทะเลในประเทศไทย

สุดท้ายนี้ ขอขอบขอบพระคุณบิดามารดา ที่ให้การสนับสนุนและเป็นกำลังใจจนถึงวันนี้

สารบัญตาราง	
ตารางที่	หน้า
3.1 อัตราส่วนเพศในหอยเจาะปะการัง 3 ชนิด.....	33
3.2 ค่าเฉลี่ยของความยาวเปลือก น้ำหนักแห้ง และค่า BCI ในแต่ละช่วงของ หอยเจาะปะการัง 3 ชนิด.....	35
3.3 ค่าเฉลี่ยของการตอบสนองทางสีรีวิทยาต่อปริมาณตะกอนแขวนลอยของ หอยเจาะปะการัง 3 ชนิด.....	36
3.4 ค่าเฉลี่ยของการตอบสนองทางสีรีวิทยาของหอยเจาะปะการัง 3 ชนิดต่อ การเปลี่ยนแปลงความเค็ม.....	40
3.5 ค่าเฉลี่ยของการตอบสนองทางสีรีวิทยาของหอยเจาะปะการัง 3 ชนิดต่อ การเปลี่ยนแปลงความเข้มข้นของสารละลายทองแดง.....	43
3.6 ค่าเฉลี่ยของการตอบสนองทางสีรีวิทยาต่อการเปลี่ยนแปลงความเค็มร่วมกับการ เปลี่ยนแปลงปริมาณสารละลายทองแดงที่ความเข้มข้นต่าง ๆ ของ <i>L. malaccana</i> .....	46
3.7 ค่าเฉลี่ยของการตอบสนองทางสีรีวิทยาต่อการเปลี่ยนแปลงความเค็มร่วมกับการ เปลี่ยนแปลงปริมาณสารละลายทองแดงที่ความเข้มข้นต่าง ๆ ของ <i>S. mytiloides</i> .....	48
3.8 ค่าเฉลี่ยของการตอบสนองทางสีรีวิทยาต่อการเปลี่ยนแปลงความเค็มร่วมกับการ เปลี่ยนแปลงปริมาณสารละลายทองแดงที่ความเข้มข้นต่าง ๆ ของ <i>G. cuneiformis</i> .....	50

## สารบัญรูป

### รูปที่

หน้า

1.1 อนุกรมวิธานของหอยเจาะปะการัง 3 ชนิดที่ทำการศึกษา.....	6
1.2 เกาะสีชัง.....	14
1.3 หอยเจาะปะการัง 3 ชนิด.....	15
1.4 หอยเจาะปะการัง <i>Lithophaga malaccana</i> .....	15
1.5 หอยเจาะปะการัง <i>Spengleria mytiloides</i> .....	16
1.6 หอยเจาะปะการัง <i>Gastrochaena cuneiformis</i> .....	16
1.7 ลักษณะของรูหอยเจาะปะการังที่พบในปะการังตาย.....	17
2.1 เกาะค้างคา.....	19
2.2 แผนกราฟทดลองการตอบสนองต่อปริมาณเต lokale ของหอยเจาะปะการัง.....	28
2.3 แผนกราฟทดลองการตอบสนองต่อการเปลี่ยนแปลงความเค็มของหอยเจาะปะการัง.....	28
2.4 แผนกราฟทดลองการตอบสนองต่อสารละลายน้ำ $Cu_2SO_4$ ของหอยเจาะปะการัง.....	28
3.1 ความหนาแน่นของหอยเจาะปะการังในแต่ละสถานีที่ทำการศึกษา.....	31
3.2 ความลึกของสถานีที่ทำการศึกษาแต่ละสถานีของเกาะค้างคา.....	32
3.3 ค่า BCI ของหอยเจาะปะการัง 3 ชนิดที่เวลาต่าง ๆ.....	35
3.4 อัตราการหายใจของหอยเจาะปะการัง 3 ชนิดในชุดการทดลองที่มีและไม่มีตะกอน.....	37
3.5 อัตราการกรองของหอยเจาะปะการัง 3 ชนิดในชุดการทดลองที่มีและไม่มีตะกอน.....	37
3.6 ค่าขอบเขตการเดินโดดของหอยเจาะปะการัง 3 ชนิดที่ความเค็มต่าง ๆ.....	41
3.7 ค่า O:N ratio ของหอยเจาะปะการัง 3 ชนิดที่ความเค็มต่าง ๆ.....	42
3.8 ค่าขอบเขตการเดินโดดของหอยเจาะปะการัง 3 ชนิดที่สารละลายน้ำคงดีความเข้มข้นต่าง ๆ.....	44
3.9 ค่า O:N ratio ของหอยเจาะปะการัง 3 ชนิดที่สารละลายน้ำคงดีความเข้มข้นต่าง ๆ.....	45
3.10 ค่าขอบเขตการเดินโดดและค่า O:N ratio ของหอยเจาะปะการัง <i>L. malaccana</i> .....	47
3.11 ค่าขอบเขตการเดินโดดและค่า O:N ratio ของหอยเจาะปะการัง <i>S. mytiloides</i> .....	49
3.12 ค่าขอบเขตการเดินโดดและค่า O:N ratio ของหอยเจาะปะการัง <i>G. cuneiformis</i> .....	51

## บทที่ 1

### บทนำ

การสึกกร่อนทางชีวภาพหรือที่รู้จักกันในภาษาอังกฤษว่า bioerosion ที่พบทั่วไปในปะการังนั้นสามารถเกิดขึ้นได้จากกิจกรรมของสิ่งมีชีวิตหลายกลุ่มโดยสิ่งมีชีวิตเหล่านี้จะมีการเปลี่ยนแปลงแทนที่กันไปตามช่วงเวลา อาทิเช่น แมคทีเรีย สาหร่ายพาก endolithic algae ฟองน้ำ ไส้เดือนทะเล และหอยสองฝา เป็นต้น ซึ่งการสึกกร่อนทางชีวภาพของปะการังพบว่า กว่า 70 % จะถูกทำลายด้วยสาเหตุในลักษณะข้างต้นนี้ (Risk and MacGeachy, 1978) สำหรับกลุ่มของสัตว์เจ้าฝังขนาดใหญ่ที่เป็นตัวการของการสึกกร่อนทางชีวภาพนั้น กลุ่มของหอยสองฝาที่เจ้าฝังในปะการังจัดได้ว่าเป็นกลุ่มที่น่าสนใจในการทำการศึกษาเป็นอย่างยิ่งกลุ่มนี้ทั้งนี้เนื่องจากจะมีบทบาทสำคัญในการสึกกร่อนทางชีวภาพในระบบท้ายของการเปลี่ยนแปลงแทนที่ หอยสองฝากลุ่มนี้มีการเพิ่มจำนวนเมื่อเวลาผ่านไปนานขึ้นและเป็นกลุ่มที่มีอายุยืนนาน สามารถอยู่ได้ทั้งบริเวณที่มีคลื่นและที่อับลม (Hutching et al., 1992) พบได้ทั้งในปะการังที่มีชีวิตและปะการังที่ตาย โดยสามารถพบร่องรอยจากการสึกกร่อนในหอยพื้นที่ อาทิเช่น Costa Rica, Florida, Barbados, Great Barrier Reef เป็นต้น รวมทั้งแนวปะการังที่พับในประเทศไทย (Moorde, 1987 Neilson, 1986 และ Tsuchiya et.al, 1986)

อ่าวไทยมีลักษณะเป็นอ่าวตื้นกึ่งปิดมีความลึกสุดประมาณ 80 เมตร แยกตัวออกจากทะเลเจนไดโดยแนวสันเขาใต้ทะเล มีแม่น้ำหลัก 4 สาย อันได้แก่ แม่น้ำบางปะกง แม่น้ำเจ้าพระยา แม่น้ำท่าจีน และ แม่น้ำแม่กลอง ซึ่งเป็นแหล่งปล่อยน้ำจีดลงสู่อ่าวไทยตอนบนโดยมีอัตรานำเข้าที่ไหลลงสู่อ่าวไทยบริเวณนี้โดยเฉลี่ยประมาณ  $1.5 \times 10^{10}$  ลูกบาศก์เมตรต่อปี (Piyakarnchana et.al 1990 อ้างถึง Bunpapong 1987) อ่าวไทยได้รับอิทธิพลจากลมรสุมตะวันออกเฉียงเหนือตั้งแต่เดือนพฤษภาคม ถึงเดือนกุมภาพันธ์ และลมมรสุมตะวันตกเฉียงใต้ตั้งแต่เดือนพฤษภาคม ถึงกันยายน มรสุมทั้ง 2 มีความเร็วและทิศทางคงที่ตลอดทั้งอ่าวไทย (Piyakarnchana et.al 1990 อ้างถึง Robinson 1974) ทำให้อ่าวไทยเป็นบริเวณที่มีความอุดมสมบูรณ์ ผลผลิตขั้นต้น (primary production) มีค่าอยู่ในปริมาณ 365 กรัม/ตารางเมตร/ปี (Palokangas and Karlsson 1995 อ้างถึง Ruyabhorn and Phantumvanit 1988) เกาะค้างคาวเป็นเกาะหนึ่งของหมู่เกาะสีชัง ตั้งอยู่ระหว่างละติจูดที่  $26^{\circ} 6' 35''$  เหนือถึง  $12^{\circ} 7' 6''$

เหนือ และลองติจูด  $100^{\circ} 80' 20''$  ตะวันออกถึง  $100^{\circ} 48' 50''$  ตะวันออก โดยอยู่ทางทิศใต้ของเกาะสีชัง มีพื้นที่ของเกาะประมาณ 0.25 ตารางกิโลเมตรความยาวชายฝั่งประมาณ 3 กิโลเมตร ชายฝั่งมี 2 ประเภท คือ หาดทินและหาดทราย หมู่เกาะสีชังนับเป็นหมู่เกาะแรกที่พบในอ่าวไทยตอนบนที่อยู่ใกล้กับบริเวณปากแม่น้ำมากที่สุด จึงได้รับอิทธิพลจากน้ำจืดเป็นอย่างมาก และบริเวณรอบเกาะค้างความมีระบบนิเวศประการัง ซึ่งมีลักษณะเป็นชุมชนประการังที่มีอายุน้อยโดยคาดว่าจะมีวิวัฒนาการต่อไปเรื่อยๆ จนเป็นกลไกแวงประการังที่แท้จริงในอนาคต ประการังที่จัดเป็นกลุ่มเด่น (dominant species) คือ ประการังชนิด *Porites lutea* และ *Acropora formosa* (งานที่ สนิทวงศ์ ณ อยุธยา และ สุรพล สุครา 2525) จึงทำให้บริเวณดังกล่าวเป็นบริเวณที่น่าสนใจและเหมาะสมสำหรับการศึกษาต่อไป ทางด้านชีววิทยาทางทะเล

เนื่องจากเกาะค้างความและหมู่เกาะสีชังเป็นเกาะแรกที่พบในอ่าวไทยตอนบน ดังนั้นจึงได้รับผลกระทบโดยตรงจากกิจกรรมต่างๆ บริเวณชายฝั่งที่มีอิทธิพลต่อการเปลี่ยนแปลงสิ่งแวดล้อม หรือทำให้เกิดมลภาวะในลักษณะต่างๆ ได้แก่

1. มลภาวะจากชุมชนแหล่งพักอาศัยที่อยู่บริเวณรอบอ่าวไทย เป็นน้ำทึบจากบ้านเรือนรวมถึงสารอินทรีย์และอนินทรีย์รุปแบบต่างๆ ซึ่งมีบางส่วนเป็นสารเคมีที่เป็นพิษด้วย

2. มลภาวะจากแหล่งอุตสาหกรรมในเขตตะวันออก ซึ่งมีพื้นฐานมาจากการเกษตรจนพัฒนาเป็นอุตสาหกรรมการเกษตร ซึ่งเป็นส่วนใหญ่ของน้ำทึบในกลุ่มนี้ สารปนเปื้อนต่างๆ นั้น มีที่มาจากการอุตสาหกรรมอาหารกระป๋อง โรงงานผลิตสุรา โรงฆ่าสัตว์ และอุตสาหกรรมอาหารทะเล เช่น เป็นต้น

3. มลภาวะจากการเกษตร ได้แก่ การเพาะปลูกทำนาข้าวและทำฟาร์มเพาะเลี้ยงตามชายฝั่ง การเกษตรแบบพัฒนาทำให้เกิดการเพิ่มของสารเคมีในสิ่งแวดล้อมและผลิตผลทางการเกษตร ส่วนการทำฟาร์มเพาะเลี้ยงตามชายฝั่งนั้นมีผลกระทบต่อสิ่งแวดล้อมคือ มีสารอินทรีย์เพิ่มขึ้นเป็นปริมาณมากรวมไปถึงสารเคมีที่ใช้ในการควบคุมคุณภาพน้ำให้เป็นไปตามความต้องการก็เพิ่มขึ้นเป็นปริมาณมากขึ้นเช่นกัน

4. มลภาวะที่เกิดจากแม่น้ำที่ไหลลงสู่ทะเล น้ำจากแม่น้ำที่ไหลลงสู่ทะเลในปริมาณมากทำให้เกิดการเปลี่ยนแปลงในหลายปัจจัยคือ ทางด้านกายภาพอันเกิดจากการเพิ่มปริมาณของตะกอนและน้ำ ปริมาณธาตุอาหาร พอกสเปต ในเศรษฐกิจ โภชนาณในโตรเจน ถ้ามีในปริมาณมาก ก็จะมีแนวโน้มทำให้เกิดปรากฏการณ์ยุโรฟิเคชัน (eutrophication) รบกวนสมดุลของระบบนิเวศ มีหลายกรณีที่เกิดเป็นพิษกับสัตว์ สารโลหะหนักรากได้รับในระยะยาวทำให้เกิดอาการเรื้อรังมีผลต่อระบบต่างๆ ในร่างกาย นอกจากนี้ยังมีสารประกอบอินทรีย์และแบคทีเรีย ได้แก่ โคลิฟอร์มแบคทีเรีย (coliform bacteria) และฟีคอลแบคทีเรีย (faecal bacteria) (Mahabhol and Puwanattrai, 1990)

มลภาวะดังที่กล่าวมาข้างต้นเหล่านี้เป็นปัจจัยสำคัญที่อ่าวไทยตอนบนกำลังเผชิญอยู่ในปัจจุบันและมีผลกระทบต่อระบบนิเวศทางทะเลที่อยู่ในอ่าวไทย จึงมีความจำเป็นอย่างยิ่งในการทำการศึกษาผลของการเปลี่ยนแปลงปัจจัยสิ่งแวดล้อมและสภาพลักษณะที่มีต่อชุมชนประการังในบริเวณเกาะค้างคาวนี้เนื่องจากสิ่งมีชีวิตที่อาศัยในบริเวณนี้มีความหลากหลาย ประการังกำลังมีการพัฒนาจากชุมชนประการังอายุน้อยไปเป็นแนวประการังแท้จริง จึงมีการเปลี่ยนแปลงอยู่ตลอดเวลาตามไปถึงการเปลี่ยนแปลงแทนที่ในกระบวนการสึกกร่อนทางชีวภาพที่มีหอยสองฝ่ายเจ้าประการังเป็นตัวการสำคัญในกลุ่มของสัตว์เจ้าฝ่ายขนาดใหญ่ ดังนั้นหากสามารถตรวจสอบและติดตามผลกระทบของมลภาวะที่เกิดขึ้นกับสิ่งมีชีวิตที่เลือกเป็นตัวแทนของบริเวณนี้ได้ ก็สามารถที่จะคาดการณ์และทำการป้องกันผลที่จะเกิดในทางรุนแรงขึ้นต่อไปได้

หอยสองฝ่ายเจ้าประการังที่พบในบริเวณแนวประการังของเกาะค้างคาสามารถแบ่งได้เป็น 2 กลุ่ม กลุ่มแรกเป็นชนิดที่เจาอยู่ในประการังที่มีชีวิตได้แก่หอยสองฝ่ายในครอบครัว *Mytilidae* คือ *Lithophaga teres*, *L. malaccana* และ *L. lima* หอยในกลุ่มนี้มีลักษณะเป็นทรงกระบอกยาว เปลือกมีสีตั้งแต่สีเหลืองเข้มจนถึงสีน้ำตาล เปราะแตกง่ายในบางชนิดจะพบว่ามีการสะสมตัวของหินปูนที่บริเวณเปลือก ขนาดเม็ดตั้งแต่ 40 มิลลิเมตรถึง 80 มิลลิเมตร (*Moretzohn and Tsuchiya, 1992*) กลุ่มที่สองเป็นกลุ่มที่พบเจาฝั่งในประการังตายคือ *Gastrochaena cuneiformis* และ *Spengleria mytiloides* ทั้งสองชนิดนี้มีเปลือกสีขาวขุ่น เปราะแตกง่าย รูปทรงเป็นรูปกรวย ต่างกันตรงที่ตัวเดิมวัยของ *G. cuneiformis* มีเนื้ออ่อนมากข้างนอกเปลือกหุ้มไม่มีมิต แต่ *S. mytiloides* มีเปลือกหุ้มเนื้อไว้ได้ทั้งหมด และนอกจากนี้ยังพบ *L. lima* อยู่ในประการังตายด้วย (*Moordee, 1987*) การที่เลือกใช้หอยเจ้าประการังในการศึกษาถึงผลกระทบต่อมลพิษต่างๆนี้เนื่องจาก หอยเจ้าประการังสามารถใช้เป็นตัวบ่งชี้ถึงความเครียดจากสิ่งแวดล้อมในขณะที่ทำการศึกษาได้ (*Choi, 1983* อ้างตาม *Hutching, 1986*) หอยเจ้าประการังเป็นสัตว์ที่มีรูปแบบยึดติดกับพื้นที่ มีช่วงตัวเดิมวัยซึ่งดำรงชีวิตในระบบนิเวศเป็นช่วงเวลานานและมีเป็นจำนวนมาก สามารถแยกชนิดและนำมาเพื่อเป็นตัวแทนของบริเวณที่ทำการศึกษา สัตว์กลุ่มนี้ก็ต่อการเคลื่อนย้ายเพื่อทำการศึกษาในห้องทดลอง นอกจากนี้ *Widdow and Donkin (1984)* ได้กล่าวไว้ว่า การใช้หอยสองฝ่ายโดยเฉพาะหอยในกลุ่มหอยแมลงภู่ (*mussel*) เป็นตัวแทนในการศึกษาสำหรับโปรแกรมสิ่งแวดล้อมต่าง ๆ นั้น เนื่องจากมีข้อดีหลายประการคือ มีการกระจายกว้างขวางในหลายพื้นที่ เป็นสัตว์ที่ไม่เคลื่อนที่ มีกิจกรรมน้อย มีความพร้อมต่อการเคลื่อนย้าย สามารถเปลี่ยนไปไว้ในบริเวณที่ต้องการศึกษาและติดตามผลต่อไปได้ นอกจากนี้ยังมีความสามารถในการสะสมโลหะหนักและสารอื่นๆ ได้ดี (*อ้างตาม De Zwaan and Eertman, 1996*)

วิธีการที่จะตรวจวัดการตอบสนองของสิ่งมีชีวิตต่อสารมลพิชนั้นมีด้วยกันหลายวิธีซึ่ง การวัดการเปลี่ยนแปลงทางสรีริวิทยา ก็เป็นวิธีการหนึ่งโดยสามารถตรวจในรูปของการเปลี่ยนแปลง ที่เกี่ยวข้องกับการเติบโต เช่น การหายใจ หรือกระบวนการการการกิน (Phillips and Rainbow, 1993) เนื่องจากเป็นการรวมรวมการตอบสนองทั้งหมดต่อสิ่งแวดล้อมทั้งจากธรรมชาติและ การกระทำของมนุษย์ ค่าของ การเติบโตจะแสดงถึงความแตกต่างระหว่างแต่ละตัวหรือกลุ่ม ประชากรภายใต้สภาพแวดล้อมที่ต่างกัน พลังงานที่รวมเข้าในการเติบโตและขอบเขตการเติบโต (Scope for Growth) เป็นต้นที่ใช้บอกสรุวาระเครียดของสัตว์ทดลอง ให้อย่างมีประสิทธิภาพ การเติบโตและการสืบพันธุ์สามารถอธิบายได้โดยใช้สมดุลพลังงานของ Winberg (1960) (อ้างตาม Widdow, 1985)

$$P = A - (R + U)$$

โดยที่  $P$  = พลังงานในการเติบโตและการสืบพันธุ์

$A$  = พลังงานที่ดูดซึมได้จากอาหาร

$R$  = พลังงานที่ใช้หายใจ

$U$  = พลังงานที่ขับถ่ายออกมาน

ค่าต่าง ๆ ข้างบนนี้สามารถวัดและแปลงให้อยู่ในรูปสมการสมดุลพลังงาน (energy equivalent) ค่าที่ได้มีตั้งแต่ค่านากคือมีพลังงานใช้ต่อไปในการเติบโต ถึงค่าเป็นลบเมื่อ สัตว์ใช้พลังงานสะสมในร่างกายเพื่อการซ่อมแซมและรักษาสภาพร่างกายให้ดำเนินต่อไปได้

การศึกษาวิจัยนี้ เป็นตัวอย่างของการศึกษาถึงการตอบสนองทางสรีริวิทยาของ สิ่งมีชีวิตเมื่อมีการเปลี่ยนแปลงเกิดขึ้นในระบบนิเวศโดยมีการเปลี่ยนแปลงความเค็มเนื่องจากน้ำ จืดที่ไหลจากแม่น้ำเดินในถูกากลต่าง ๆ การเปลี่ยนแปลงความเค็มมีผลต่อรูปแบบการละลายของ สารเคมีในน้ำทะเลและการรักษาสมดุลน้ำและเกลือแร่ในสัตว์ทะเล ปริมาณทองแดงจากน้ำทึ้ง อุตสาหกรรมและสีกันเพรี้ยงที่ใช้ทำเรือทำให้เกิดสารเคมีปนเปื้อนในสิ่งแวดล้อมเป็นปริมาณมาก และมีการสะสมตัวในสัตว์ทะเลหลายชนิดรวมทั้งที่เป็นนำมาเป็นอาหาร ปริมาณตะกอน แขวนลอยที่เกิดจากการก่อสร้าง การทำเหมืองแร่และการกัดเซาะดามธรรมชาติมีผลโดยตรงต่อ ระบบนิเวศแนวปะการัง ซึ่งปริมาณตะกอนในปริมาณมากจะลดปริมาณแสงที่ส่องผ่านในมวลน้ำ ตะกอนจะเกิดการฟุ้งกระจายและทับถมแหล่งที่อยู่อาศัยของสัตว์น้ำตัน การเปลี่ยนแปลงเหล่านี้เป็นตัวแทนของการเปลี่ยนแปลงจากธรรมชาติและจากการกิจกรรมของมนุษย์ดังที่ได้กล่าวไป แล้วนั้น การศึกษานี้เป็นการตรวจสอบดิจิตาล (monitoring) ของประชากรของกลุ่มสิ่งมีชีวิต และของกระบวนการกำรทางระบบนิเวศ ในด้านของการตรวจสอบผลกระทบ ที่เกิดจากการรบกวน

โดยกิจกรรมต่างๆ ของมนุษย์และผลพวงที่จะตามมาในระยะยาว โดยที่รู้ว่าที่ใช้ในการศึกษาได้เป็นแนวคิดใหม่แบบการศึกษาบทบาทในระบบนิเวศ (functional approach) ซึ่งแตกต่างไปจาก การศึกษาโครงสร้าง (structural approach) แบบเดิมที่นิยมใช้กันอยู่ในการทำการตรวจสอบบดีด ตามผลงานนิเวศวิทยาระยะยาว (long term ecological monitoring program) วิธีทางสื่อสารวิทยา นี้จะใช้เวลาสั้นกว่าแต่สามารถนำไปประยุกต์ใช้ในการตรวจสอบและติดตามผลที่เกิดขึ้นได้ใน ระยะยาวได้ เพื่อนำไปสู่การตรวจสอบและติดตามผลการเปลี่ยนแปลงของประชากรหอยเจ้า ประจำรังซึ่งมีบทบาทสำคัญในกระบวนการลาก่อนทางชีวภาพเมื่อพิจารณาถึงรูปแบบการดำรง ชีวิตและบทบาทของหอยเจ้าประจำรังในระบบนิเวศทางทะเลซึ่งสามารถนำไปเชื่อมโยงความ สัมพันธ์กับสิ่งมีชีวิตอื่นๆ ในระบบนิเวศเดียวกันและทำนายผลที่จะเกิดขึ้นต่อไปได้เมื่อมีการรับ กำหนดกล่าวก็ตามที่ได้

### วัตถุประสงค์

- เพื่อศึกษาข้อมูลเบื้องต้นทางชีววิทยาของหอยเจ้าประจำรัง 3 ชนิดคือ *Lithophaga malaccana*, *Spengleria mytiloides* และ *Gastrochaena cuneiformis*
- เพื่อศึกษาถึงการเปลี่ยนแปลงทางสื่อสารวิทยาต่อภาวะเครียดจากสิ่งแวดล้อมอันได้แก่ การเปลี่ยนแปลงปริมาณตะกอนแขวนลอย ความเค็มและปริมาณเทองแดง

### ประโยชน์ที่คาดว่าจะได้รับ

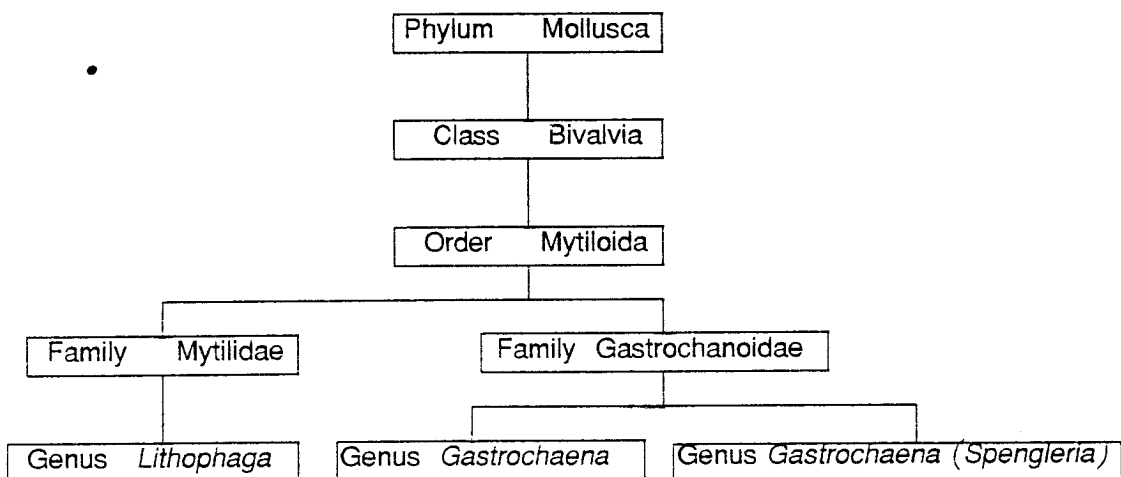
- ทราบข้อมูลเบื้องต้นทางชีววิทยาของหอยเจ้าประจำรัง 3 ชนิดคือ *Lithophaga malaccana*, *Spengleria mytiloides* และ *Gastrochaena cuneiformis* เพื่อเป็นพื้นฐานในการ ศึกษาและเข้าใจการดำรงชีวิตของหอยเจ้าประจำรังในระบบนิเวศแนวประจำรัง
- ทราบถึงผลการตอบสนองทางสื่อสารวิทยาต่อภาวะเครียดจากสิ่งแวดล้อมอันได้แก่ ปริมาณตะกอนแขวนลอย การเปลี่ยนแปลงความเค็มและปริมาณเทองแดง และนำผลการศึกษาที่ได้มาใช้ในการพิจารณาถึงความรุนแรงและผลกระทบของสภาวะเครียดต่าง ๆ ที่มีต่อรูปแบบ การดำรงชีวิตของหอยเจ้าประจำรัง
- สามารถนำผลการศึกษามาจัดลำดับความไวในการตอบสนองต่อมลพิษของหอยเจ้า ประจำรังเพื่อใช้เป็นแนวทางการเลือกชนิดหอยเจ้าประจำรังสำหรับการนำไปทำการศึกษาถึงผล ผลกระทบต่อมลพิษในระดับต่อไป

## การสำรวจเอกสาร

### 1.1 หอยเจาะปะการังกับการสืบกร่อนทางชีวภาพ

#### 1.1.1 อนุกรมวิธาน

หอยเจาะปะการัง มีชื่อสามัญว่า Boring bivalve จากรายงานของ Kleeman (1980) Oliver (1992) และ Bussarawit (1995) ได้จัดอนุกรมวิธานของหอยเจาะปะการังบางกลุ่มที่พบในประเทศไทย คือ



รูปที่ 1.1 อนุกรมวิธานของหอยเจาะปะการัง 3 ชนิดที่ทำการศึกษา

หอยเจาะปะการังในวงศ์ *Lithophaga* และ *Gastrochaena* ที่พบในประเทศไทยทั้งผัง ย่างไทยและผังทะเลอันดามันได้แก่ *L. malaccana*, *L. teres*, *L. lima*, *L. nasuta*, *L. obesa*, *L. hanleyana*, *L. divatical*, *G. cuneiformis* และ *Spengleria mytiloides* (Moretzohn and Tsuchiya, 1992, Neilson, 1986 และ Bussarawit, 1995)

#### 1.1.2 ลักษณะทั่วไปของหอยเจาะปะการังที่ทำการศึกษา

หอยเจาะปะการังที่ใช้ในการศึกษาคือ *L. malaccana*, *G. cuneiformis* และ *S. mytiloides* แต่ละชนิดมีลักษณะดังต่อไปนี้คือ (Moretzohn and Tsuchiya, 1992)

##### 1.1.2.1 *Lithophaga malaccana* (Reeve, 1858)

พับได้ทั่วไปในหินปูนและปะการังหินปูน *L. malaccana* สามารถยับยั้งการสะสมของหินปูนรุนแรง ๆ ได้โดยใช้ห้องน้ำและสารที่ขับออกมากจากตัวซึ่งเป็นลักษณะพิเศษของ

หอยชนิดนี้ รูมีลักษณะเหมือนที่ยกน้ำหนัก (dumbbell shape) พบมากในปะการังก้อน และแบบแผ่นบางชนิดเช่น *Montipora digitata* เปลือกมีขนาดกลาง บางเปราะ มีการสะสมตัวของพินปุน บริเวณเปลือกโดยเฉพาะในส่วน postero-dorsal รูของ *L. malaccana* จะมีการขันสารพวกทินปุนมาเคลือบไว้อีกชั้นหนึ่ง มีความยาวเป็นหนึ่งเท่าหรือหนึ่งเท่าครึ่งของความยาวตัว

#### 1.1.2.2 *Gastrochaena cuneiformis* (Spengleria, 1783)

พบมากในปะการังก้อน รูของ *G. cuneiformis* มีลักษณะเป็นรูปเลข 8 มีขอบพินปุนหนา ส่วนของรูน้ำเข้าจะใหญ่กว่ารูน้ำออกเล็กน้อยและโดยกระบวนการของระบบห่อน้ำนี้ ร่วมกับการใช้สารเคมีทำให้ *G. cuneiformis* สามารถยับยั้งการปิดหันของปะการังได้ดี พบได้ทั่วไปในปะการังตาย และสามารถผลิตเมือกซึ่งเป็นสารเรืองแสงได้ (Habe and Kosuge, 1967 และ Okutani, 1987 อ้างตาม Moretzohn and Tsuchiya, 1992)

#### 1.1.2.3 *Gastrochaena (Spengleria) mytiloides* (Lamarck, 1818)

จัดเป็นพวกที่เจาะผงในปะการังตาย (dead coral borer) เนื่องจากจะอยู่เฉพาะส่วนที่ตายของปะการังเท่านั้น รูจะมีสารพวกทินปุนเคลือบอยู่ เปลือกหนาสีขาว เจาะผงโดยใช้การเคลื่อนตัวของเปลือกเป็นส่วนใหญ่ร่วมกับสารเคมี ท่อทั้งสองแยกออกจากกันอย่างชัดเจน ที่ป่ากรูจะมีลักษณะเป็นรูปวงกลม 2 รูติดกัน มีขอบหนา

### 1.1.3 การกระจายของหอยเจาะปะการัง

การกระจายของหอยเจาะปะการังนั้นพบว่าไม่มีความแตกต่างระหว่างสถานที่โดยจะพบได้ทุกบริเวณของแนวปะการัง (Clausade et al., 1992 ; Hutching et al. 1992 และ Kiene and Hutching, 1994) Tsuchiya et al. (1986) ได้ทำการศึกษาการกระจายของสัตว์เจาะผงบริเวณแนวปะการังรอบเกาะสีชัง พบว่าสัตว์เจาะผงประกอบด้วยหลายกลุ่ม แต่กลุ่มที่มีความหนาแน่นมากที่สุดในเขตแนวปะการังโดยเฉพาะในปะการังก้อนชนิด *Porites lutea* ซึ่งเป็นกลุ่มเด่นในบริเวณนี้คือหอยสองฝาเจาะปะการัง ซึ่งนอกจากระบบที่มีการรังชินิดชนิด *P. lutea* แล้วยังพบหอยกลุ่มนี้ในปะการังชนิดอื่น เช่น *Favia spp.*, *Montipora spp.*, *Platygyra spp.*, *Porites spp.*, *Goniastrea spp.*, *Acropora spp.*, *Stylopora spp.*, *Cyphastrea spp.* พบว่าหอยเจาะปะการังบางชนิดสามารถถอยู่ได้ในปะการังตายด้วย โดยที่บางชนิดพบได้ทั้งในปะการังมีชีวิตและปะการังตายเช่น *L. malaccana*, *G. hians* แต่บางชนิดพบได้เฉพาะปะการังตายเท่านั้นเช่น *Gastrochaena cuneiformis*, *G. laeviga*, *G. intearupta*, *L. antillarum*, *Spengleria mytiloides*, *G. ovata* และมีชนิดที่พบอยู่ในหินเช่น *L. lithophaga* (Bromley et al., 1978, Scott, 1977 ; Scott, 1987 และ Fanelli et al., 1994)

#### 1.1.4 ชีววิทยาของหอยเจาะประการัง

หอยเจาะประการังมีความเฉพาะตัวในการเลือกพื้นผิวของแต่ละชนิดที่ไม่เหมือนกัน เช่น ในหินปูน คอนกรีต ประการังมีชีวิตหลายชนิดและประการังด้วยจึงทำให้พบหอยเจาะประการังต่างชนิดกันในบริเวณที่ต่างกันโดยการเลือกพื้นผิวในการเจาะฝังนั้นมีผลโดยตรงกับกลไกการเจาะฝังของหอยเจาะประการังแต่ละชนิด ตัวอ่อนในระยะวีลีเจอร์ (veliger) จะเลือกลงเกาะในพื้นผิวของวัสดุที่เฉพาะตัวของแต่ละชนิดและมีภาวะเปลี่ยนโครงสร้าง (metamorphosis) เป็นตัวเดิม วัยในวัสดุนั้น ๆ ต่อไป แต่ในบางครั้งระยะเวลาในการลงเกาะอาจต้องมีการเลื่อนออกไปเนื่องจากยังไม่พบพื้นผิวที่เหมาะสม ซึ่งในประการังแต่ละชนิดจะมีปัจจัยที่เอื้อต่อการเปลี่ยนแปลงโครงสร้างของหอยต่างชนิดกัน ปัจจัยเหล่านี้ เช่น สารเคมีที่มีเฉพาะในประการังนั้นอาจเป็นตัวกระตุ้น (Highsmith, 1980 ; Mokady et al., 1992 และ Sorokin, 1995 อ้างถึง Gohan and Soliman, 1963)

รูปแบบการเจาะฝังของหอยเจาะประการังมีทั้งกระบวนการที่เกิดจากกลไกการเคลื่อนตัวเปลี่ยนตำแหน่งและการขับสารเคมีเพื่อยื่อยสลายพื้นผิววัสดุที่เป็นหินปูนหรือเกิดจากหั้ง 2 วิธี ร่วมกัน โดยวิธีการเจาะฝังที่อาศัยการเคลื่อนของท่อหายใจ (siphon) ร่วมกับแรงขับน้ำภายใน (Ansell and Nair, 1969 และ Fang and Shen, 1981)

หอยเจาะประการังในกลุ่มนี้เป็นพวกที่กินอาหารโดยการกรอง (filter feeder) เห้อกแบบ lamellibrachs ของหอยจะทำการกรองอาหารที่มากับ水流น้ำและจะถูกจับโดยเมือกส่งไปยัง labial pulp และปาก เพื่อเข้าสู่ระบบย่อยอาหารต่อไป (Bayne, 1976 และ Barnes, 1994)

Scott (1988) ได้ทำการศึกษาเกี่ยวกับระบบสืบพันธุ์ในหอยเจาะประการัง *L. bisculata* ในเขตอินโดแปซิฟิกและทะเลแคริบเบียน พบว่าหอยชนิดนี้มีลักษณะแยกเพศ อัตราส่วนเพศระหว่างตัวผู้กับตัวเมียเท่ากับ 1:1 มีรอบการสืบพันธุ์ 1 ครั้งต่อปี

เนื่องจากหอยเจาะประการังเป็นพวกกินอาหารโดยการกรองตั้งน้ำในบริเวณที่มีผลผลิตขั้นต้นค่อนข้างสูงจะสามารถใช้หอยกลุ่มนี้เป็นดัชนีเพื่อป้องชี้ถึงการสึกกร่อนทางชีวภาพของประการังได้ กล่าวคือ ปริมาณหอยเจาะประการังจะแปรผันโดยตรงกับปริมาณผลผลิตแพลงก์ตอนพืชในแนวประการัง โดยผลผลิตแพลงก์ตอนพืชจะขึ้นกับปริมาณ Heraclidae หากหาดอาหารเพิ่มขึ้นเนื่องจากมลพิษที่เกิดโดยมนุษย์จะทำให้ลำดับขั้นของการบริโภค (trophic condition) ของพวกที่กินอาหารโดยการกรองเพิ่มมากขึ้น ประการังก็จะถูกทำลายมากขึ้นด้วย (Sorokin, 1993) เช่นในการศึกษาของ Highsmith (1980) ได้มีการจัดลำดับปริมาณหอยเจาะประการังต่อหัวประการังในแต่ละพื้นที่ดังต่อไปนี้คือ Eastern Pacific > Western Atlantic > Indian Ocean >

Western Pacific โดยที่การจัดลำดับต่อไปนี้มีความสัมพันธ์กับความแตกต่างของผลผลิตขั้นต้น ในแต่ละพื้นที่จากการศึกษาของ Scott and Cope ในปี 1988 แสดงให้เห็นว่าบริเวณที่มีตัวแปร ถึงมลพิษในปริมาณสูง (P, N, BOD<sub>5</sub>, O<sub>2</sub>, Turbidity, Suspended solid) จะมีการสึกกร่อนทางชีวภาพโดยเฉพาะที่เกิดจาก *Lithophaga* spp. สูงขึ้นตามไปด้วย (อ้างตาม Scott et al. 1988)

## 1.2 ปัญหามลภาวะในทะเลและผลกระทบ

อุตสาหกรรมในเอเชียตะวันออกเฉียงใต้เน้นกำลังอยู่ในช่วงของการพัฒนา ซึ่ง การพัฒนานี้มีส่วนทำให้เกิดปัญหาต่อสิ่งแวดล้อมและสิ่งมีชีวิตทั้งในระดับสันและระดับยาเข่น ปัญหาการทำลายระบบนิเวศป่าชายเลนและแนวปะการัง มลพิษจากแหล่งชุมชนและอุตสาหกรรม• ปริมาณการตากตะกอนและตะกอนแขวนลอยที่เพิ่มมากขึ้น อันเนื่องมาจากการจัดการน้ำทิ้งหรือสารเคมีภัยหลังจากการใช้ที่มีประสิทธิภาพดีพอ ปริมาณตะกอนที่มาจากการพั่งทลายของหน้าดิน การก่อสร้างหรือการทำเหมืองแร่ (Windom, 1992 และ Yap, 1992) มลภาวะจากแม่น้ำที่ไหลลงสู่ทะเลทำให้เกิดการเปลี่ยนแปลงในหลายด้าน ซึ่งในที่นี้จะกล่าวในเรื่องของการเปลี่ยนแปลงทางกายภาพ ได้แก่ การเปลี่ยนแปลงความเค็มเมื่อมีน้ำจืดไหลลงสู่ทะเลในปริมาณมาก การตากตะกอนและปริมาณตะกอนแขวนลอยที่เพิ่มมากขึ้น และการสะสมตัวของโลหะหนักในสัตว์ทะเลและสิ่งแวดล้อม

ปัญหามลภาวะทางทะเลกำลังเป็นปัญหาในอ่าวไทยตอนในซึ่งเป็นปัญหาที่นำเสนอใน การติดตามและศึกษาถึงผลกระทบที่จะเกิดขึ้นได้แก่

### 1.2.1 การเปลี่ยนแปลงความเค็ม

การเปลี่ยนแปลงความเค็มนี้อาจน้ำจากแม่น้ำไหลลงสู่ทะเล (run off) มีผลทำให้เกิด การเปลี่ยนแปลงกระบวนการทางฟิสิกส์ เคมี และชีววิทยาของระบบนิเวศบริเวณนั้น ซึ่งเกี่ยวข้องกับผลผลิตขั้นต้น คุณภาพน้ำ และรูปแบบการกระจายของสิ่งมีชีวิต โดยเฉพาะสัตว์ในกลุ่ม osmoconformer การเปลี่ยนแปลงความเค็มจะมีผลโดยตรงต่อรูปแบบการกระจายและสมบัติทางเคมีของสารประกอบต่าง ๆ (มนุวัติ หงสพฤกษ์ 2532)

### 1.2.2 ปริมาณตะกอนแขวนลอย

น้ำจืดที่ไหลลงสู่ทะเลในปริมาณมากจะนำพาตะกอนชายฝั่งทะเลและสารปนเปื้อนจากน้ำทิ้งอุตสาหกรรมหรือแหล่งเกษตรกรรมไหลลงสู่ทะเลมากขึ้นตามไปด้วย (Drinkwater and Frank, 1994) • ตะกอนที่เพิ่มขึ้นจะมีผลคือเพิ่มความชุ่นให้กับแหล่งน้ำทำให้ลดปริมาณแสงที่ส่องผ่านในมวลน้ำ ซึ่งมีความสัมพันธ์ต่อระบบนิเวศปะการังและหญ้าทะเล ดังนั้นตะกอนจึงเป็นปัจจัยสำคัญในการพัฒนาของปะการังและตะกอนที่เกิดขึ้นอาจเกิดการพังกระจายและทับถม

แหล่งที่อยู่อาศัยของสัตว์น้ำดิน (Windom, 1992) ถ้าหากเราพิจารณาจะพบว่ากว่าครึ่งหนึ่งของตะกอนพวกหินปูนนั้น มีต้นกำเนิดมาจากกระบวนการสึกกร่อนชีวภาพ (Hubbard, 1986 อ้างถึง Stern and Scoffin, 1977 ; Land, 1979 และ Hubbard et al. 1984) นอกจากนี้ตะกอนบางชนิดมีการสะสมตัวของโลหะหนักที่เกิดจากการรวมตัวหรือตกตะกอน ทำให้สะสมและเป็นพิษต่อสัตว์ทะเลน้ำดินได้ (Han et al., 1995)

### 1.2.3 สารโลหะหนัก

สารมลพิษที่เพิ่มมากขึ้นในทะเลน้ำมามากหลายแหล่ง เช่น จากรัฐมชาติหรือจากการดำเนินการของมนุษย์ ซึ่งแบ่งออกเป็นกลุ่มใหญ่ๆ ได้คือ ธาตุอาหาร โลหะหนัก ธาตุกัมมันตรังสี organochlorine น้ำมัน ฯลฯ โดยที่สารมลพิษเหล่านี้กำลังเป็นปัญหาที่สำคัญในกลุ่มประเทศที่กำลังพัฒนาความทั่งประเทศไทย ซึ่งมีการเติบโตของอุตสาหกรรมและการขนส่งเป็นไปอย่างต่อเนื่อง แหล่งอุตสาหกรรมต่าง ๆ นี้เองที่ทำให้มีการปนเปื้อนของสารมลพิษลงสู่แหล่งน้ำ โลหะหนักก็เป็นปัญหาสำคัญปัญหาหนึ่งที่เกิดขึ้น แหล่งกำเนิดส่วนใหญ่มาจากการผลิตกระบวนการทางเคมีและอีกส่วนหนึ่งคือมาจากการกระทำการของมนุษย์ซึ่งมีแนวโน้มจะเพิ่มสูงขึ้นเรื่อยๆ การแพร่กระจายและสะสมในระบบนิเวศในหลายรูปแบบ มีการสะสมตัวเป็นปริมาณสูงในสัตว์ทะเลโดยเฉพาะกลุ่มของ filter feeder, suspension feeder (Phillips and Rainbow, 1993) นักวิจัยหลายกลุ่มได้ทำการศึกษาปริมาณสารโลหะหนักที่ปนเปื้อนอยู่ในเนื้อของสัตว์ทะเลที่นำมาบริโภคในประเทศไทยผลการศึกษาพบว่าค่าโลหะหนักที่ปนเปื้อนยังอยู่ในเกณฑ์ที่ปลอดภัยแต่มีการสะสมตัวในสัตว์ทะเลหลายชนิด เช่น หอยนางรม หอยแมลงภู่ หมึกสาย หมึกกล้วย และปลาหลายชนิด ฯลฯ โลหะหนักที่พบว่ามีการสะสมตัวมากได้แก่ แฉดเมีย� ทองแดง ตะกั่ว โคโรเมียม สังกะสี และมีแนวโน้มว่าจะสูงขึ้นต่อไปในอนาคต (มนุวดี หังสพฤกษ์ 2537)

ในกลุ่มของโลหะหนักที่ตรวจพบในสัตว์ทะเลเดียวที่น้ำทะเล ทองแดงเป็นโลหะหนักที่น่าสนใจในการทำการศึกษาเนื่องจากเป็นธาตุปริมาณน้อยที่มีความจำเป็นต่อ respiratory protein oxydase ของสัตว์ (Elfwing, 1995 อ้างถึง Amiard-Triquet et al., 1986) ซึ่งมีความจำเป็นต่อกระบวนการ metabolism จากรายงานของอรพินทร์ จันทร์ผ่องแสง (2527) พบว่าการแพร่กระจายของโลหะทองแดงจากปากแม่น้ำเจ้าพระยาถึงศรีราชา คิดเฉพาะส่วนที่ละลายน้ำ มีค่าตั้งแต่ 0.88-10.88 มิลลิกรัมต่อลิตร ปริมาณที่พบมากอยู่ในช่วงเดือนพฤษภาคม-กรกฎาคม ซึ่งเป็นช่วงฤดูฝน หลังจากนั้นปริมาณเริ่มลดลง ส่วนค่าต่ำ ๆ ที่พบอยู่ในราชเดือน มกราคม ซึ่งเป็นฤดูแล้ง และมีความสัมพันธ์กับความเค็มค่อนข้างเป็นเส้นตรง แต่ความสัมพันธ์จะอยู่ในลักษณะตรงกันข้ามจากการศึกษาของ Menasevata and Cheevaparanapiwat (1981) ปริมาณทองแดงที่พบสะสมอยู่ในหอยแมลงภู่ที่ปากแม่น้ำเจ้าพระยา มีค่าความเข้มข้นประมาณ 8.7 ไมโครกรัมต่อกิโลกรัมของน้ำหนักแห้งและการศึกษาของ Hungspreugs et al., (1989)

ปริมาณทองแดงที่พบสะสมอยู่ในหอยสองฝ่ายบางชนิดที่พบในอ่าวไทยคือ หอยแครง *Anadara granosa* หอยแมลงภูมิ *Perna viridis* หอยนางรม *Crassostrea commercialis*, *C. lugubris*, หอยลาย *Paphia undulata* และหอยเชลล์ *Amusium pleuroectes* มีปริมาณทองแดงสะสมสูงสุดที่พบ 8.75, 17.93, 180.9, 51.2, 7.37 และ 1.8 ไมโครกรัมต่อกิโลกรัมของเนื้หันกแห้ง ตามลำดับ และมีการเปลี่ยนแปลงตามฤดูกาลโดยที่ความเข้มข้นสูงจะพบในฤดูน้ำหลัก (wet season) ซึ่งอาจมีผลมาจากการนำจีดที่เหลลงทะเลในปริมาณมากและอิทธิพลของความเค็มต่อการ uptake ของหอยสองฝ่า

นิภูธรรัตน์ ปภาวสิกธ์ และสมเกียรติ ปะยะธีรธิติวรกุล (2526) ได้ทำการสำรวจเอกสารเรื่องมูลพิชัยและพยาธิที่พบในอาหารจำพวกสัตว์น้ำของไทย ได้ผลการสำรวจเฉพาะในส่วนของทองแดงที่สะสมในหอยเป็นดังนี้

กัลยา วัฒนาการ และคณะ (2521) พบร่วมกับการสะสมของทองแดงในหอยเชลล์มีค่า 7.77 ppm. และมีค่า concentration factor สำหรับทองแดงในหอยเชลล์เท่ากับ  $3.4 \times 10^3$  และหอยเชลล์มีความสามารถในการสะสมโลหะหนักค่อนข้างสูงมากเมื่อเทียบกับสัตว์น้ำชนิดอื่น

สิทธิพันธ์ ศิริรัตนชัย (2523) พบร่วมกับปริมาณของทองแดงที่สะสมอยู่ในหอยนางรมและหอยตะโกรดบริเวณอ่างศิลา มีปริมาณค่อนข้างสูง โดยเฉลี่ยมีค่าเท่ากับ 117.43 ไมโครกรัมต่อกิโลกรัม เนื่องจากทองแดงเป็นธาตุองค์ประกอบสำคัญในเลือดของสัตว์พวงหอยและ crustacean การสะสมนี้แสดงความสัมพันธ์กับขนาดและมีการเปลี่ยนแปลง และมีการเปลี่ยนแปลงตามฤดูกาล

Hungspreugs and Sirirattanachai (2524) พบร่วมกับปริมาณทองแดงที่มีความเค็มลดลงมากจะมีปริมาณโลหะหนักในหอยเพิ่มขึ้นอย่างเห็นได้ชัดคือประมาณ 5 เท่า สำหรับทองแดง ซึ่งน่าจะเป็น เพราะในช่วงน้ำจีดลงจะมี แคลเซียม แมกนีเซียม ไอออนน้อยในน้ำทะเลชายฝั่ง การแข่งขันระหว่างโลหะที่จะยึดเนื้อเยื่อหอยมีน้อยลง โลหะปริมาณน้อยจึงมีโอกาสตีขึ้น ที่จะเข้าสู่หอย

พรสุน จงประสิกธ์ (2524) พบร่วมกับปริมาณทองแดงในหอยแครงและหอยแมลงภูมิเท่ากับ 7.077 และ 8.215 ไมโครกรัมต่อกิโลกรัมของเนื้หันกแห้งตามลำดับ

จรมัน ว่องไวทัย (2525) ได้ทำการศึกษา ปริมาณโลหะหนักที่พบในแพลงก์ตอนและหอยแมลงภูมิจากบริเวณปากแม่น้ำเจ้าพระยา ผลพบว่าค่าเฉลี่ยและค่าพิสัยตลอดปีของทองแดงในแพลงก์ตอนเท่ากับ 20.8 (7.09-59.2) ไมโครกรัมต่อกิโลกรัม และในหอยแมลงภูมิเท่ากับ 9.80

(8.24-11.2) ไม่โครงการต่อกรัม ปริมาณทองแดงที่พับในหอยที่อยู่ในความลึก 3 ระดับ (ผิวหน้า กลางหน้า ใกล้พื้นดิน) ไม่แตกต่างกัน

ซึ่งค่าความเข้มข้นต่าง ๆ ที่ตรวจพบนี้ยังจัดว่าอยู่ในเกณฑ์ที่ดีเมื่อเปรียบเทียบกับบริเวณอื่น ทองแดงจะเป็นตัวอย่างของโลหะหนักตัวหนึ่งซึ่งมีความจำเป็นจะต้องทำการศึกษาถึงผลของการปนเปื้อนในสัตว์ทะเล เพื่อบรรลุถึงความพยายามในการตรวจสอบและทำนายสภาพมลพิษที่จะเกิดขึ้นต่อไปในชั้นrunนแรงเกินกว่าที่จะทำการแก้ไขได้

### 1.3 การศึกษาผลการตอบสนองทางสิริวิทยาในหอยสองฝ่าย

- ได้มีผู้ทำการศึกษาเรื่องการตอบสนองทางสิริวิทยาของหอยสองฝ่าย เพื่อบอกถึงผลกระทบของการเปลี่ยนแปลงสภาพแวดล้อมต่าง ๆ ที่เกิดขึ้น ตัวอย่างของงานที่เกี่ยวข้องกับการศึกษาการตอบสนองทางสิริวิทยามีดังต่อไปนี้คือ

อาจารย์ โพธิ์พงศ์วิวัฒน์ (2538) ศึกษาผลร่วมของความเค็มและน้ำมันดิบส่วนที่ละลายน้ำที่มีอัตราส่วน O:N ในหอยตระกromaขาระยะวัยเกล็ดชนิด *Crassostrea belcheri* ผลกระทบของพบร่วม เมื่อความเค็มเพิ่มขึ้นอัตราการหายใจและอัตราส่วน O:N มีแนวโน้มลดลง ในขณะที่ผลของน้ำมันดิบส่วนที่ละลายน้ำแสดงแนวโน้มไม่ชัดเจน และไม่พบผลร่วมอย่างมีนัยสำคัญทางสถิติระหว่างความเค็มและปริมาณน้ำมันดิบส่วนที่ละลายน้ำ

Axiak and George (1987) ได้ทำการศึกษาผลการตอบสนองของหอยสองฝ่าย *Venus verrucosa* ต่อการรับปีโตรเลียมไฮโดรคาร์บอนในระยะยาว พบร่วมการให้ปีโตรเลียมไฮโดรคาร์บอนในระยะยาวนั้นมีผลทำให้พลังงานสะสมในการเติบโตและการสร้างเซลล์สีบพันธุ์ลดลง โดยเฉพาะอัตราการกรอง และประสิทธิภาพการดูดซึม เนื่องจากปีโตรเลียมไฮโดรคาร์บอนไปเป็นตัวบันยั้งการทำงานของเอนไซม์บางตัว ซึ่งสามารถยืนยันได้จากการลดลงของค่า Body Condition Index (BCI)

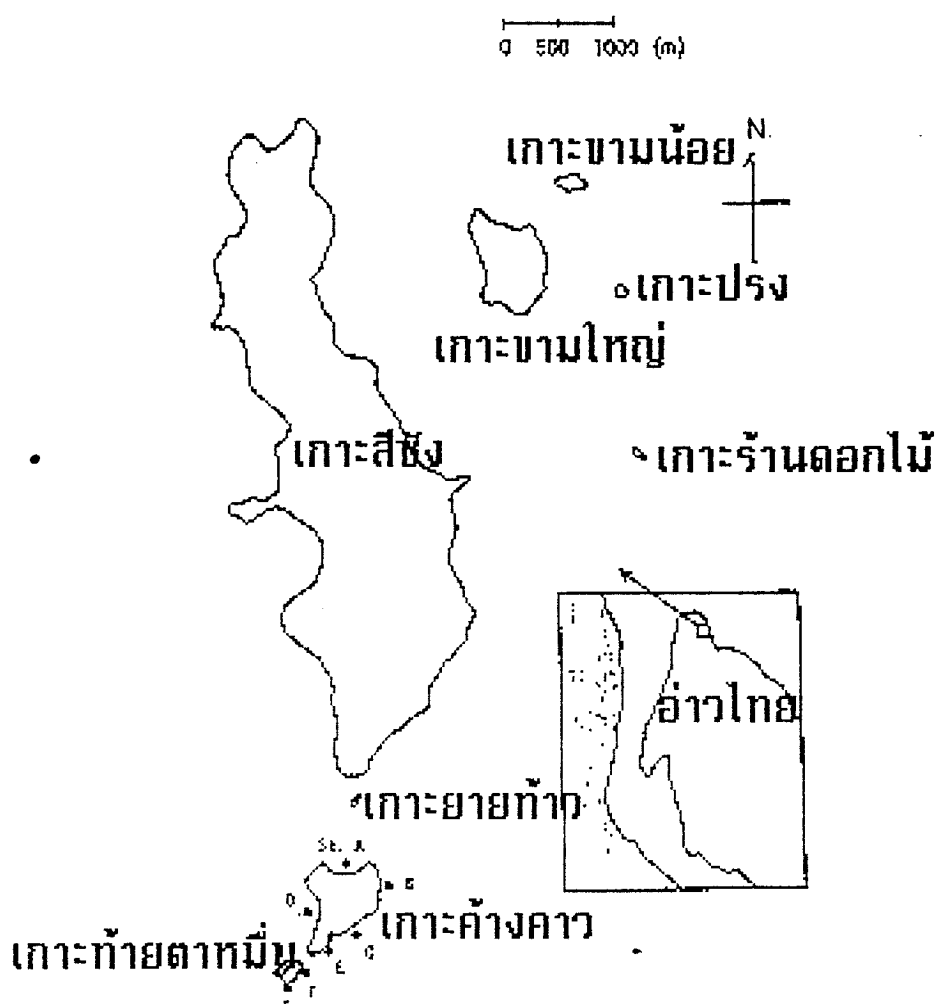
Naimo et al. (1992) ศึกษาถึงผลการตอบสนองทางสิริวิทยาของหอยสองฝ่ายน้ำจืด *Lampsilis ventricosa* ต่อปริมาณแคลแม่ยมที่ระดับต่าง ๆ ในระยะเวลาสั้นและระยะยาว พบร่วมหอยชนิดนี้มีความไวต่อแคลแม่ยมซึ่งเห็นความเปลี่ยนแปลงอย่างชัดเจนเมื่อเวลาผ่านไป 28 วัน และจะนำไปเป็นตัวแทนในการบอกถึงสภาพมลพิษได้ หากแต่ต้องมีการพิจารณาถึงวิธีการวัดทางสิริวิทยายิ่งเหมาะสมด้วย

Gilek et al. (1992) ได้ทำการศึกษาทางด้านสรีริวิทยาและเนื้อเยื่อของหอยแมลงภู่ *Mytilus edulis* จากทະเบบอลติกและทะเลเหนือ ผลการทดลองพบว่าไม่มีความแตกต่างอย่างชัดเจนของค่าของขอบเขตการเดินโดยระหว่างหอยที่พบรain海และทะเลเหนือ และนอกจานี้ยังแสดงให้เห็นว่า ค่าการตอบสนองทางสรีริวิทยานั้นสามารถบอกได้ว่าการเปลี่ยนแปลงสภาพของสัตว์ทดลองในแต่ละฤดูกาลและติดตามผลให้เป็นรายวัน แต่ไม่สามารถแปลผลของการตรวจสอบเนื้อเยื่อในภาวะต่าง ๆ ได้จากสมการสมดุลของพลังงาน

Beiras et al. (1995) ได้ทำการศึกษาเรื่องงบพลังงาน (energy budget) ที่การตอบสนองต่อการเปลี่ยนอุณหภูมิในระยะสั้นและระยะยาวของหอยนางรมวัยอ่อน *Ostrea edulis* ผลการทดลองพบว่าในการเปลี่ยนแปลงอุณหภูมิไม่ว่าจะเพิ่มขึ้นหรือลดลงนั้นมีผลต่อพัฒนาการของลูกหอยนางรมในส่วนสมดุลพลังงานที่ใช้ในการเดินโดยที่เมื่ออุณหภูมิเป็น 26 เซลเซียส ที่ระยะเวลา 3 สัปดาห์ หอยมีขอบเขตการเดินโดยสูงสุดเนื่องจากได้มีการปรับสภาพเป็นเวลานาน

Palongkangas and Karlsson (1995) ศึกษาเรื่องผลการตอบสนองทางสรีริวิทยาต่อผลของแอดเมียมที่สัมพันธ์กับการเปลี่ยนแปลงอุณหภูมิและความเค็มของหอยแมลงภู่ *Perna viridis* ผลปรากฏว่าที่ทั้ง 2 ความเค็มหอยมีการปรับตัวและมีการสะสมแอดเมียม มีผลให้ค่าขอบเขตการเดินโดยลดลง และเมื่ออุณหภูมิต่ำลงมีผลให้ค่า O:N ratio ลดลงโดยเป็นผลกระทบจาก 2 ปัจจัยคือ อุณหภูมิและความเค็ม

Elfwing (1995) ทำการศึกษาเปรียบเทียบเรื่องการตอบสนองต่อทองแดง ในหอยนางรม 3 ชนิด *Saccostrea cucullata*, *Crasostrea lugubris* และ *Crassostrea belcheri* ผลการทดลองพบว่าหอยที่มีท่ออยู่บริเวณน้าขึ้นน้ำลง คือ *S. cucullata* และ *C. lugubris* นั้นน้ำจะมีความทันต่อทองแดงมากกว่า *C. belcheri* ซึ่งอาศัยอยู่ในบริเวณน้ำท่วมถึงตลอด เนื่องจากความแตกต่างของบริเวณที่อยู่อาศัย



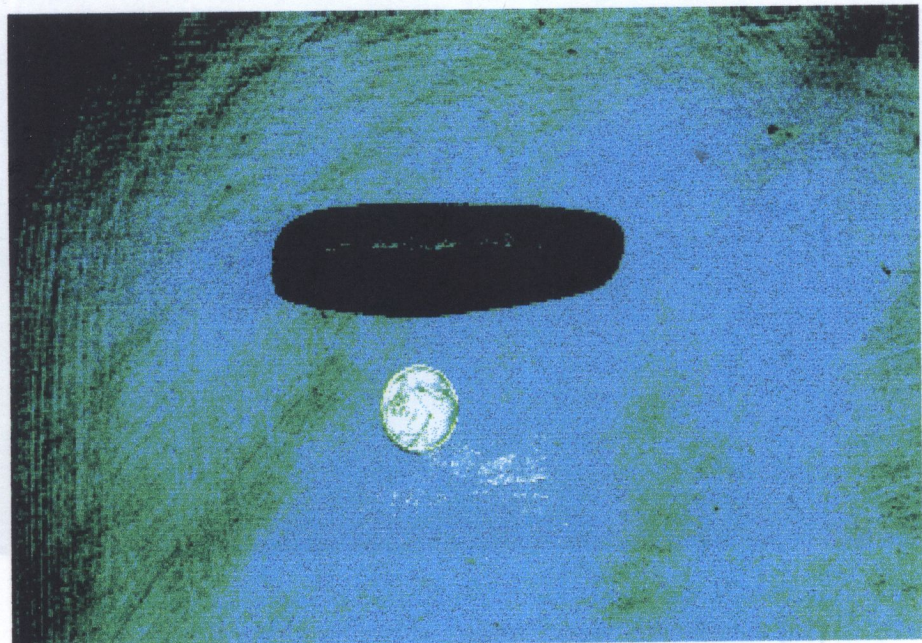
รูปที่ 1.2 เกาะสีชังและเกาะค้างคาว จ.ชลบุรี  
(ดัดแปลงจาก Menasveta et al., 1986)



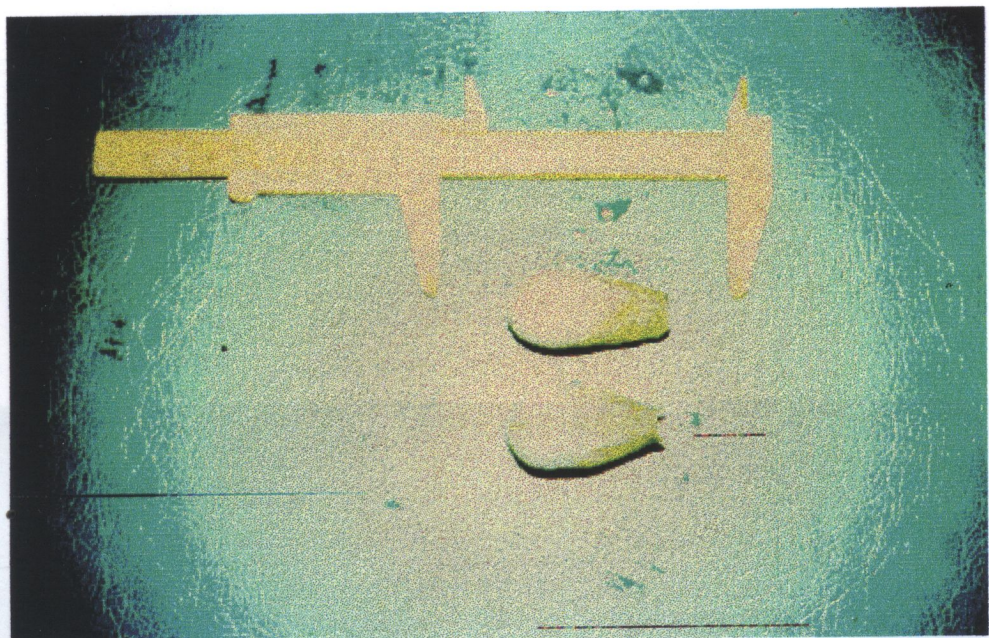
รูปที่ 1.5 หอยเจาะปะการัง *Spengleria mytiloides* (x2)

รูปที่ 1.3 หอยเจาะปะการัง 3 ชนิด ก *Lithophaga malaccana*

ข. *Spengleria mytiloides* และ ค. *Gastrochaena cuneiformis* (x2)



รูปที่ 1.4 หอยเจาะปะการัง *Lithophaga malaccana* (x2)



รูปที่ 1.5 หอยเจาะปะการัง *Spengleria mytiloides* (x2)



รูปที่ 1.6 หอยเจาะปะการัง *Gastrochaena cuneiformis* (x2)



รูปที่ 1.7 ลักษณะรูของหอยเจาะปะการังที่พบในปะการังตาย

หอยเจาะปะการังที่พบในปะการังตาย มีลักษณะรูเป็นรูกลมๆ หรือรูวงเดือน มีเส้นผ่าศูนย์กลางประมาณ 1-2 เซนติเมตร หอยเจาะปะการังจะเจาะเข้าไปในปะการังและดูดซึ�บสารอาหารจากปะการัง ทำให้ปะการังตาย หอยเจาะปะการังนี้สามารถเจาะเข้าไปในปะการังได้ลึกมาก ทำให้ปะการังเสียหายอย่างรุนแรง

หอยเจาะปะการังที่พบในปะการังตาย มีลักษณะรูเป็นรูกลมๆ หรือรูวงเดือน มีเส้นผ่าศูนย์กลางประมาณ 1-2 เซนติเมตร หอยเจาะปะการังจะเจาะเข้าไปในปะการังและดูดซึ่งสารอาหารจากปะการัง ทำให้ปะการังตาย หอยเจาะปะการังนี้สามารถเจาะเข้าไปในปะการังได้ลึกมาก ทำให้ปะการังเสียหายอย่างรุนแรง

## บทที่ 2

### อุปกรณ์และวิธีดำเนินการวิจัย

#### บริเวณที่ทำการศึกษาและเก็บตัวอย่าง

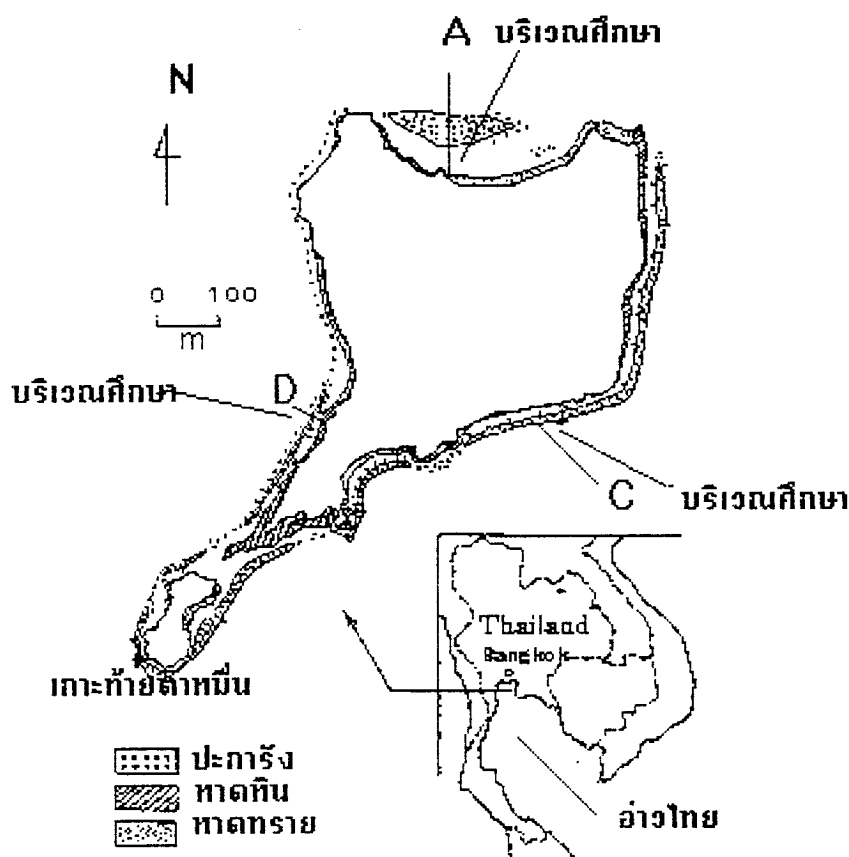
หอยเจาะปะการังที่นำมาทำการทดลองได้ทำการสำรวจและเก็บตัวอย่างจากแนวปะการังในบริเวณเกาะค้างคาว จ.ชลบุรี (รูปที่ 2.1) บริเวณที่ทำการศึกษาคือบริเวณ A C และ D ซึ่งอยู่แต่ละด้านของเกาะ เนื่องจากเป็นแนวเก็บตัวอย่างเดิมของโครงการศึกษาร่วมระหว่างจุฬาลงกรณ์มหาวิทยาลัยและมหาวิทยาลัยริวกิว ประเทศญี่ปุ่น และ Panichpol et al. 1996 ซึ่งเป็นงานที่ได้เคยทำการศึกษาบริเวณนี้มาก่อน สถานที่ทำการศึกษามีลักษณะทั่วไปดังต่อไปนี้ คือ (พรศรี สุทธนารักษ์ 2527 สถาบันวิจัยทรัพยากรทางน้ำ 2538 Tsuchiya et al. 1986 และ Panichphol et al. 1994)

บริเวณ A อยู่ในอ่าวทางเหนือของเกาะ มีความลาดชันน้อยมาก น้ำนิ่ง การเคลื่อนที่ของมวลน้ำน้อยมาก มีกลุ่มประชากรปะการังค่อนข้างยาวเป็นระยะทางขนาดกับชายฝั่งประมาณ 70 เมตรและมีความกว้างในแนวตั้งจากกับชายฝั่ง ประมาณ 150 - 200 เมตร โดยไม่พบปะการังที่ตาย ลักษณะเป็นพื้นทรายพบปะการัง *Porites lutea* เป็นกลุ่มเด่น (dominant species) เป็นบริเวณกว้างสิ่งมีชีวิตมีน้อย

บริเวณ C อยู่ทางทิศตะวันออกเฉียงใต้ของเกาะ มีความลาดชันน้อย ได้รับอิทธิพลของคลื่นลม และการเคลื่อนของมวลน้ำมาก มีแนวปะการังขนาดแนวชายฝั่งเป็นแนวยาวมีความกว้างของแนวไม่มากนัก ลักษณะพื้นเป็นพื้นแข็งและพื้นทราย มีปะการังหลายชนิด species richness สูง มีความอุดมสมบูรณ์สูง เป็นที่อาศัยของสิ่งมีชีวิตหลายชนิด

บริเวณ D อยู่ทางฝั่งตะวันตกไปทางด้านใต้ของเกาะ มีความลาดชันน้อย ได้รับอิทธิพลของคลื่นลม มีแนวปะการังแคบ ๆ ขนาดไปกับชายฝั่งมีความกว้างประมาณ 10 เมตร ปะการังส่วนใหญ่อยู่ในครุฑครัว Faviidae พب *Porites lutea* น้อยมาก

หอยเจาะปะการัง 3 ชนิด ที่ใช้เป็นตัวแทนหอยเจาะปะการัง ของบริเวณที่ทำการศึกษา คือ *Lithophaga malaccana*, *Spengleria mytiloides* และ *Gastrochaena cuneiformis* โดยทำการเก็บจากปะการังก้อนชนิด *Porites lutea* ในสถานีศึกษา A C และ D นอกเขต line transect ของแนวปะการัง เกาะค้างคาวและจำแนกชนิดทำโดยใช้การวิเคราะห์เปลือกตามวิธีของ Oliver (1992) และ Kleeman (1980)



รูปที่ 2.1 บริเวณที่ทำการศึกษาและเก็บตัวอย่างหอยเจาะปะการังทั้งสามชนิด  
*L. malaccana*, *G. cuneiformis* และ *S. mytiloides* ณ เกาะค้างคาว  
(ดัดแปลงมาจาก Kamura and Choonhabanhdit, 1986)

## การศึกษาแบบออกเป็น 3 ส่วนคือ

### 2.1 นิเวศวิทยา

#### 2.1.1 จำนวนและการกระจาย (Number and Distribution)

เพื่อศึกษาความมากน้อย การกระจายและความหนาแน่นของหอยเจาะปะการังที่พบในบริเวณที่ทำการศึกษา โดยการทำ belt transect เป็นระยะ 100 เมตร จากชายฝั่งแล้วทำการสูมทุก ๆ 2 เมตรโดยทำด้านข้างออกไปอีก 2 เมตรทั้ง 3 ด้านและขวางของ line transect ในทุกสถานีคือ ด้าน A, C และ D ของเกาะค้างคาวโดยการดำเนินแบบ SCUBA DIVING ซึ่งจะทำ 2 belt transect ต่อหนึ่งสถานีทดลองแล้วทำการนับที่มีหอยเจาะปะการังในทุกบริเวณที่อยู่บน belt transect และนำจำนวนหอยเจาะปะการังที่นับได้จากการทำ belt transect ในแต่ละสถานีที่ทำการศึกษา กับระยะทางทั้งหมดของ line transect ที่ทำการนับในแต่ละสถานี มาสร้างกราฟ

#### 2.1.2 แหล่งที่อยู่อาศัย (Habitat)

เพื่อดูว่าหอยเจาะปะการังสามารถเจาะฝังอยู่ในปะการังชนิดใดหรือวัสดุใดได้บ้าง โดยพิจารณาจากการนับหอยเจาะปะการังใน belt transect จากข้อ 1.1 และนับที่กันนิดของปะการังหรือวัสดุที่พบว่ามีหอยเจาะปะการังอาศัยอยู่ และทำการทุบก้อนปะการังบางส่วนเพื่อดูชนิดของหอยเจาะปะการังที่อยู่ข้างใน และทำการวิเคราะห์ความสัมพันธ์ของขนาดตัวของหอยเจาะปะการังกับขนาดรากที่พบ

### 2.2 ชีววิทยา

#### 2.2.1 สัณฐานวิทยา (Morphology)

เพื่อวิเคราะห์ความสัมพันธ์ของน้ำหนักตัวกับความยาวเปลือกในรูปที่ของสมการ allometric (Bayne, 1976) โดยการสูมตัวอย่างหอย 30 ตัว การนำหอยแต่ละตัวมาวัดขนาดความกว้างและความยาวเปลือก ชั้นน้ำหนักสดทั้งหมด และจึงแยกເອາເລີພະນີ້ມາชั้งน้ำหนักสดอีกรั้ง จากนั้นนำไปหาขนาดเปลือกโดยการนำไปบนที่อุณหภูมิ 60 องศาเซลเซียสจนกว่าน้ำหนักคงที่

นำค่าน้ำหนักและขนาดเปลือกไปหาความสัมพันธ์ตามสมการ allometric ดังนี้

$$Y = aX^b$$

โดยที่ Y = น้ำหนัก (กรัม)

X = ความยาวเปลือก (มิลลิเมตร)

และสมการสามารถเปลี่ยนให้อยู่ในรูปที่ของสมการเส้นตรงได้คือ

$$\ln Y = \ln a + b \ln X$$

จะได้  $\ln a$  คือ  $Y$ -intercept และ  $b$  คือค่า slope

### 2.2.2 อัตราส่วนเพศ (Sex Ratio)

เพื่อหาอัตราส่วนระหว่างหอยเจาะปะการังเพศเมียและเพศผู้ในที่พบริมชายฝั่ง (สมร ตันตะวรรณสมบัติ 2535) การเตรียมตัวอย่าง ทำการสุ่มตัวอย่างหอย 30 ตัว นำหอยมาผ่าเป็น 2 ส่วนตามแนวของความยาวเปลือก บันทึกจำนวนที่พบในแต่ละเพศแล้วนำมาทำการหาอัตราส่วน โดยมีสมมติฐานว่า

$H_0$  : อัตราส่วนระหว่างเพศเมียและเพศผู้เท่ากับ 1 : 1

$H_1$  : อัตราส่วนระหว่างเพศเมียและเพศผู้ไม่เท่ากับ 1 : 1

ทดสอบโดยใช้ Chi-square test ( $\chi^2$ ) ที่ระดับนัยสำคัญ 0.05

$$\chi^2 = \frac{\sum(O - E)^2}{E}$$

โดยที่  $O$  = Observed value

$E$  = Expected value

### 2.2.3 Body Condition Index (BCI)

เป็นการศึกษาถึงความอ้วนผอมของหอยสองฝ่ายขณะใดขณะหนึ่ง ซึ่งมีส่วนเกี่ยวข้องกับอาหารที่ได้รับและสภาพสืบพันธุ์ของหอยสองฝ่าย เพื่อเป็นการหลีกเลี่ยงการปล่อยเชลล์สืบพันธุ์ระหว่างทำการทดลอง (Widdow, 1993) โดยทำการสุ่มตัวอย่างหอยเจาะปะการังแต่ละชนิด จำนวน 15-20 ตัวทุกๆ 2 เดือนเป็นเวลา 6 เดือน นำมาวัดขนาดความยาวเปลือกจากนั้นผ่านนำเนื้อมาบดแห้งที่อุณหภูมิ 60 องศาเซลเซียสจนน้ำหนักคงที่ (ประมาณ 24 ชั่วโมง) แล้วนำไปปั่นน้ำหนัก ค่าทั้งสองที่ได้จากการวัดจะนำไปคำนวณเพื่อหา BCI สภาพตามสมการ (Palonkaugas and Karlsson, 1995)

$$BCI = \text{soft tissue dryweight}(g) * \text{shell length}(\text{mm}^{-1})$$

โดยที่ soft tissue dryweight = น้ำหนักเนื้อเมื่อบาดแห้งจนน้ำหนักคงที่แล้ว (กรัม)  
 shell length = ความยาวเปลือก (มิลลิเมตร)

### 2.3 การตอบสนองทางสีรีวิทยา

เป็นการหาค่าการตอบสนองทางสีรีวิทยาต่อสภาวะที่จัดขึ้นในห้องทดลอง ระบบที่ใช้ในการทดลองนี้เป็นแบบน้ำนิ่ง (static) โดยการนำhoodขนาดความจุ 500 ลูกบาศก์เซนติเมตร ใช้เป็น respiration chamber ใช้หอยเจาะปะการัง 1 ตัวต่อ 1 chamber ในทุกการทดลอง ก่อนทำการทดลองต้องทำการเตรียมตัวอย่างสัตว์ทดลองโดยการนำhoodเจาะปะการังที่ต้องทำการปรับสภาพ (acclimate) ก่อนวัดค่าการตอบสนองมาตรวัดดูสภาพและทำความสะอาดเปลือกเอาสิ่งสกปรกและสิ่งมีชีวิตอื่น ๆ ที่เกาะอยู่บนเปลือกออกให้หมดแล้วจึงนำไปทำการปรับสภาพตามสภาวะที่จัดขึ้นในข้อ แต่ละการทดลองจะทำการวัดค่าการตอบสนองทางสีรีวิยาต่าง ๆ ตั้งต่อไปนี้

#### 2.3.1 การวัดค่าการตอบสนองทางสีรีวิทยา (Physiological Response)

##### 2.3.1.1 อัตราการหายใจ (Respiration Rate)

คือปริมาณออกซิเจน ( $\text{mg O}_2/\text{gdw/h}$ ) ที่สัตว์ใช้ในเวลา 1 ชั่วโมง หลัง นำสัตว์ทดลองมาใส่ลงใน respiration chamber เป็นเวลา 2 ชั่วโมง ทำการวัดปริมาณออกซิเจนโดยเครื่องวัดออกซิเจนของ YSI model 5730 และคำนวณตามสูตรดังต่อไปนี้ (Palokangas and Karlsson, 1995)

$$\text{respiration rate } (\text{mg O}_2 * \text{gdw}^{-1} * \text{h}^{-1}) = \frac{[(\text{O}_2)_{t_1} - (\text{O}_2)_{t_2}]}{t_1 - t_2}$$

โดยที่  $\text{O}_2$  = ปริมาณออกซิเจน (มิลลิกรัม)

$t_1$  = เวลาที่เริ่มทำการทดลอง

$t_2$  = เวลาที่สิ้นสุดการทดลอง

##### 2.3.1.2 อัตราการขับถ่าย (Excretion Rate)

คือปริมาณเอมโมเนียในรูปที่ของ  $\text{NH}_3\text{-N}$  ( $\mu\text{g NH}_3\text{-N/gdw/h}$ ) ที่สัตว์ขับถ่ายออกมาน้ำในเวลา 1 ชั่วโมง การวัดทำโดยการเก็บน้ำใน chamber ที่มีหอยเจาะ

ประการังเทียบกับที่ไม่มีหอย (blank) ในเวลาที่กำหนด (2 ชั่วโมง) และวิเคราะห์ตามวิธีของ Strickland and Parson (1972)

### 2.3.1.3 อัตราการกรอง (Clearance Rate)

คืออัตราที่แพลงก์ตอนในน้ำที่ทราบปริมาตรแน่นอนถูกกรองหรือทำให้ใส โดยสัตว์ทดลองต่อหน่วยเวลา และ biomass ปริมาณแพลงก์ตอนพืชหาได้จากการนำน้ำใน respiration chamber ก่อนและหลังทำการทดลอง ไปปัดหาค่าการดูดกลืนแสงโดย spectrophotometer milton roy และนำไปเปรียบเทียบกับภาพมาตรฐานระหว่างปริมาณเซลล์ที่ความเข้มข้นต่าง ๆ ซึ่งได้จากการนับตัวอย่างสาหร่ายเข้มข้นที่นำไปผสมกับน้ำทะเลกรองในอัตราส่วนต่าง ๆ กันในสไลเดอร์นับเม็ดเลือด (haemacytometer) และนำไปคำนวณความเข้มข้นตามวิธีของกุชชัน มงคลปัญญา (2536) กับค่าการดูดกลืนแสง (absorbance) อัตราการกรองสามารถทำการคำนวณตามสูตรดังนี้ (Tedengren et.al, 1990 อ้างตาม Palokangas and Karlsson, 1995)

$$\text{clearance rate} \left( l * h^{-1} gdw^{-1} \right) = \frac{\left[ \left( \ln C_0 - \ln C_1 \right) - \left( \ln C_0 - \ln C_g \right) * V \right]}{t * gdw}$$

เมื่อ

$C_0$  = ความเข้มข้นเซลล์เมื่อเริ่มทำการทดลองใน chamber ที่มีสัตว์ทดลอง (เซลล์/ลิตร)

$C_1$  = ความเข้มข้นเมื่อสิ้นสุดการทดลองใน chamber ที่มีสัตว์ทดลอง (เซลล์/ลิตร)

$C_g$  = ความเข้มข้นเมื่อสิ้นสุดการทดลองใน chamber ที่ไม่มีสัตว์ทดลอง (เซลล์/ลิตร)

$V$  = ปริมาตรในการทดลอง (ลิตร)

$t$  = เวลาในการทำการทดลอง (ชั่วโมง)

### 2.3.1.4 ประสิทธิภาพการดูดซึม (Absorption efficiency)

คือประสิทธิภาพในการดูดซึมสารอินทรีย์จากการย่อยอาหาร วิธีทำทำได้โดยนำกระดาษกรอง GF/C ไปปั๊งที่ อุณหภูมิ 60 องศาเซลเซียสจนน้ำหนักคงที่ นำไปปั๊งน้ำหนักกระดาษกรองด้วยเครื่องซั่งละอียด 4 ตำแหน่ง จากนั้นนำกระดาษกรองไปกรอง faeces และแพลงก์ตอนพืชจากน้ำที่อยู่ภายใน respiration chamber ด้วยเครื่องกรองสูญญากาศ จากนั้นนำกระดาษกรองไปอบที่อุณหภูมิ 60 องศาเซลเซียสอีกครั้งหนึ่งจนน้ำหนักคงที่แล้วนำไปปั๊งน้ำหนักแห้ง หลังจากซั่งน้ำหนักแห้งแล้วจึงนำกระดาษกรองทั้งหมดไปเผาโดยใช้ muffler furnace ที่อุณหภูมิ 450 องศาเซลเซียสเป็นเวลา 4 ชั่วโมง ซั่งน้ำหนักกระดาษกรองแต่

ละແຜ່ນອຶກຄັ້ງ ນໍາຄ່າທີ່ໄດ້ໄປຄໍານວນຈາກອັຕຣາສ່ວນດາມສູງຂອງ Conover (1966) (ອ້າງຕາມ Widdows, 1984) ດັ່ງນີ້

$$\text{Absorption efficiency} = \frac{(F - E)}{(1 - E)F}$$

ເນື້ອ F = ashfree dry weight ຂອງອາຫາຣ/ dry weight ຂອງອາຫາຣ

E = ashfree dry weight ຂອງ faeces/ dry weight ຂອງ faeces

การหาຄ່າຕອບສະອງຕ່າງ ๆ ນີ້ເພື່ອນໍາໄປປະກອບເປັນສ່ວນຂອງຂອບເຂດກາຮເຕີບໂຕ (scope for growth) ແລະ O : N ratio ສໍາຫຼັບກາຮພິຈາລະນາຜຸລຂອງກາຮຕອບສະອງໃນໜັກ 2.3.3.1-2.3.3.4

### 2.3.2 ກາຮປະເມີນຜຸລກາຮຕອບສະອງທາງສຶກສາວິທີກາ

#### 2.3.2.1 ຂອບເຂດກາຮເຕີບໂຕ (Scope for growth : SFG)

ເປັນກາຮປະເມີນສັກຍາພາບໃນກາຮເຕີບໂຕແລະກາຮສັບພັນຮູ້ຂອງສັດວົງທດລອງ ສາມາຮັດແຍກທໍາໄດ້ເປັນແຕ່ລະສ່ວນ ແລະສາມາຮັດໃຊ້ໃນກາຮປະເມີນຜຸລກາຮທີ່ຂອງມລກວະທີ່ມີຕ່ອສັກພາບທາງໜ້າວິທີກາ ສາມາຮັດສັກວະຂອງພລັງງານໃນສັດວົງໄດ້ທັນທີ ສາມາຮັດຕິດຕາມກລໄກຂອງຄວາມເປັນພື້ນແລະສ່ວນປະກອບອື່ນ ๆ ທີ່ມີຜູລຕ່ອວັດກາງເຕີບໂຕໄດ້ ນອກຈາກນີ້ຍັງບອກຄື່ງຜຸລກາຮທີ່ໂດຍຮົມເນື່ອງຈາກກາຮສະສົມຂອງສານປັນເປື້ອນດ້ວຍ

ຄ່າ SFG ເຊີ່ນຍູ້ໃນຮູບທີ່ຂອງສຸມກາຮພລັງງານໂດຍກາຮແປ່ງຄ່າຕ່າງ ๆ ຈາກກາຮວັດໃນທົ່ວໂລງທີ່ມີສຸມກາຮສຸມດຸລພລັງງານ (energy equivalent) ຄ່າທີ່ເປັນວຽກໝາຍຄວາມຄື່ງ ສັດວົງຈະມີພລັງງານສະສົມເພື່ອໃຊ້ໃນກາຮເຕີບໂຕ ແລະຈະມີຄ່າເປັນລົບເມື່ອສັດວົງໃຊ້ພລັງງານທີ່ສະສົມນັ້ນໃນກາຮ່ອມແໜມແລະຮັກໝາສັກພວ່າງກາຍໃຫ້ດໍາເນີນຕ່ອໄປໄດ້ (Warren and Davies, 1967 ; Widdows 1978 ; Widdows et al., 1981 ອ້າງຕາມ Gilek et al., 1992 ແລະ Widdow, 1993)

$$P = A - (R + U)$$

ໂດຍທີ່ A = clearance rate \* absorption efficiency \* ພລັງງານຈາກສາຫຮ່າຍ *Isochysis galbana* (22.7 J/mg.) (Palokagas and Karlsson, 1995)

$$R = 14.2 \text{ J/mg O}_2 * \text{อัตราการหายใจ}$$

$$U = 19.4 \text{ J/mg NH}_4^+ - N * \text{อัตราการขับถ่ายแอมโมเนีย}$$

### 2.3.2.2 อัตราการใช้ออกซิเจนต่อการขับถ่ายในโตรเจน (O:N Ratio)

คืออัตราการใช้ออกซิเจนต่อการขับถ่ายในโตรเจนของสัตว์ทดลอง ในหน่วยสมมูลותต่อม แสดงถึงค่าเปรียบเทียบในการใช้โปรตีนเป็นแหล่งพลังงานในการเมtabolism (Bayne, 1975 อ้างตาม Axiak, 1991) ถ้ามีการนำเอาโปรตีนไปใช้เป็นแหล่งพลังงาน จะต้องมีการสลายกรดอะมิโนเมื่อมีการออกซิได้ส่วนของยัลฟาร์กโดยอย่างสมบูรณ์ เป็นผลให้มีการขับถ่ายแอมโมเนียเพิ่มมากขึ้น ในกรณีนี้หมายความว่าสัตว์อยู่ในสภาวะเครียดซึ่งจะต้องดึงส่วนที่สะสมไว้ในร่างกายเพื่อรักษาให้คงอยู่ในสภาพปกติ ซึ่งจะมีการใช้คาร์บโนไไฮเดรตไขมันและโปรตีนที่สะสมไว้ เป็นผลให้องค์ประกอบทางเคมีระหว่างสารทั้งสามชนิดในร่างกายเปลี่ยนแปลงไป ดังนั้น O : N ratio จึงเป็นตัวชี้วัดถึงการเปลี่ยนแปลงของการนำโปรตีนไปใช้เปรียบเทียบกับคาร์บโนไไฮเดรตและไขมัน หากมีการใช้โปรตีนในอัตราสูงเมื่อเทียบกับสารอีก 2 ชนิด เป็นผลให้ O : N ratio ลดต่ำลง แสดงถึงภาวะเครียดที่เกิดขึ้น หากอัตรา O : N ratio ที่ได้มีค่าสูง หมายความว่ามีการสลายไขมัน และ/หรือ คาร์บโนไไฮเดรต มากกว่าโปรตีน ค่าต่ำสุดที่แสดงถึงการใช้โปรตีนเป็นแหล่งพลังงานนั้นมีค่าประมาณ 7 (Widdow, 1984 อ้างถึง Bayne and Thompson, 1970 และ Mayzaud, 1973) การคำนวณค่า O : N ratio ทำได้ตามสูตรดังต่อไปนี้

$$O:N = \frac{\left( mgO_2 h^{-1} / 16 \right)}{\left( mgNH_4^+ Nh^{-1} / 14 \right)}$$

เมื่อ  $mgO_2 h^{-1}$  = ปริมาณออกซิเจนใน 1 ชั่วโมง (มิลลิกรัม)  
 $mgNH_4^+ Nh^{-1}$  = ปริมาณแอมโมเนียใน 1 ชั่วโมง (มิลลิกรัม)

ข้อจำกัดในการใช้ O : N ratio นั้นคือ ค่านี้ไม่สามารถใช้กับสัตว์กินเนื้อที่มีโปรตีนเป็นองค์ประกอบหลักในอาหาร

เมื่อได้เตรียมสัตว์ทดลองก่อนการทดลองเรียบร้อยแล้ว หลังจากนั้น จึงนำไปทำการปรับสุภาพ (acclimate) ตามสภาวะการทดลองที่จัดไว้ดังต่อไปนี้

### 2.3.3 สภาวะในการทดลอง

#### 2.3.3.1 การตอบสนองต่อปริมาณตะกอนแขวนลอย

ทำการปรับสภาพจากธรรมชาติที่ความเค็ม 30 องศาเซลเซียส ความเค็ม 29 ppt. มาเป็นสภาพในห้องทดลองที่ อุณหภูมิ 25 องศาเซลเซียส ความเค็ม 29 ppt. นำหอยเจ้าปะการังจำนวน 12 ตัวต่อชนิด แบ่งการทดลองออกเป็น 2 ชุดคือ ชุดควบคุม ไม่มีตะกอน และชุดทดลองที่มีตะกอนของแบ่งมันสำປะหลังปริมาณ 5 มิลลิกรัมต่อลูกบาศก์ เซนติเมตร ซึ่งเป็นปริมาณตะกอนแขวนลอยเฉลี่ยสูงสุดที่พบในบริเวณเกาะค้างคาว (Sudara et al., 1991) ใส่ลงในถังขนาด 10 ลิตร เป็นเวลา 24 ชั่วโมงก่อนทำการทดลอง ในห้องมีดและให้อากาศตลอดเวลา งดให้อาหารก่อนทำการทดลอง 1 วัน หลังจากทำการปรับสภาพแล้วจะทำการวัดค่าการตอบสนองใน 2 ส่วนคือ อัตราการหายใจและอัตราการกรอง (รูปที่ 2.2)

#### 2.3.3.2 การตอบสนองต่อการเปลี่ยนแปลงความเค็ม

นำหอยเจ้าปะการังแต่ละชนิดซึ่งได้ทำการทดสอบความเค็ม 30 องศาเซลเซียส ความเค็ม 29 ppt. มาเป็นสภาพในห้องทดลองที่อุณหภูมิ 25 องศาเซลเซียส ความเค็ม 32 24 และ 16 ppt. เป็นเวลา 24 ชั่วโมง ในห้องมีดและให้อากาศตลอดเวลา งดให้อาหารก่อนทำการทดลอง 1 วัน แล้วทำการวัดค่าการตอบสนองทางสีรีวิทยาตามข้อ 2.3.1.1 – 2.3.1.4 (รูปที่ 2.3)

#### 2.3.3.2 การตอบสนองต่อปริมาณทองแดง

นำหอยแต่ละชนิดจำนวน 15 – 30 ตัวต่อการทดลองมาทำการ ทดสอบความเค็ม 30 องศาเซลเซียส ความเค็ม 29 ppt. เป็นที่น้ำความเค็ม 29 ppt. กับสารละลายน้ำ  $Cu_2SO_4$  ที่ความเข้มข้น 3 ระดับคือ 0 10 และ 20 ไมโครกรัม/ลิตร ตามลำดับ เป็นเวลา 24 ชั่วโมงก่อนทำการวัดค่าการตอบสนองทางสีรีวิทยา ที่อุณหภูมิ 25 องศาเซลเซียส ให้อากาศตลอดเวลาและไม่มีแสงส่องผ่าน งดให้อาหารก่อนทำการทดลอง 1 วัน นำหอยที่ปรับสภาพแล้วในการทดลองต่าง ๆ มาใส่ใน respiration chamber วัดค่าการตอบสนองทางสีรีวิทยาตามข้อ 2.3.1.1 – 2.3.1.4 (รูปที่ 2.4)

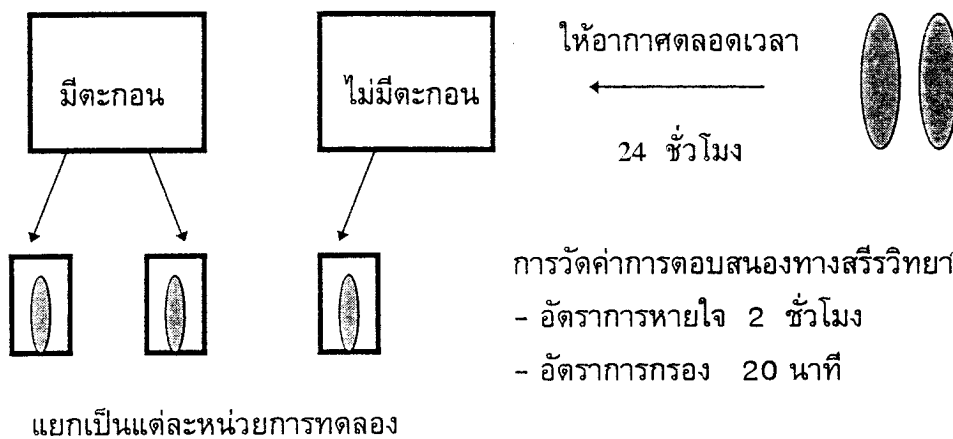
#### 2.3.3.4 การตอบสนองต่อผลกระทบของความเค็มและปริมาณทองแดง

นำหอยเจ้าปะการังแต่ละชนิด ทำการทดสอบความเค็ม 30 องศาเซลเซียส ความเค็ม 29 ppt. ในห้องที่ไม่มีแสงส่องปรับสภาพจากธรรมชาติอุณหภูมิ 30 องศาเซลเซียส ความเค็ม 29 ppt. ในห้องที่ไม่มีแสงส่อง

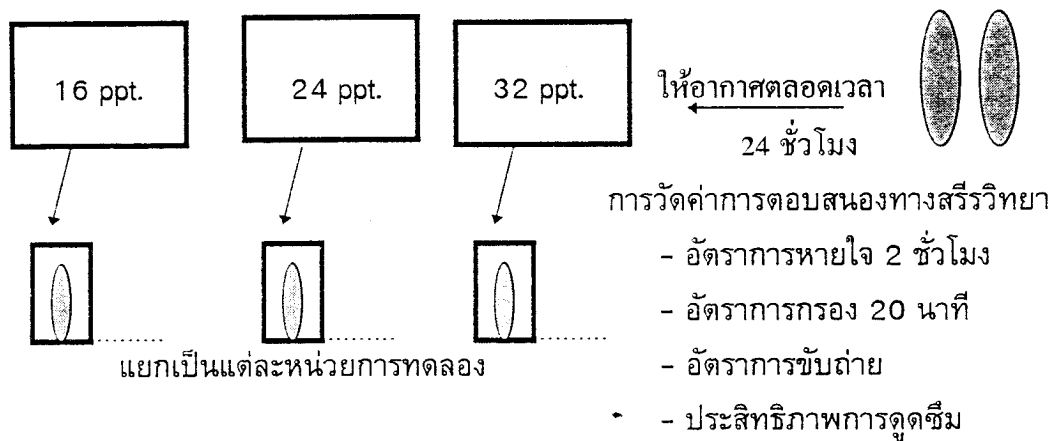
ผ่าน เป็นเวลา 24 ชั่วโมงอุณหภูมิ 25 องศาเซลเซียสให้อากาศตลอดเวลา ที่ความเค็มและ  
ความเข้มข้นของ  $Cu_2SO_4$  ทองแดงพร้อมกันดังต่อไปนี้

ความเค็ม	ความเข้มข้นสารละลายนม $Cu_2SO_4$	
16 ppt.	10 µg.	20 µg.
24 ppt.	10 µg.	20 µg.
32 ppt.	10 µg.	20 µg.

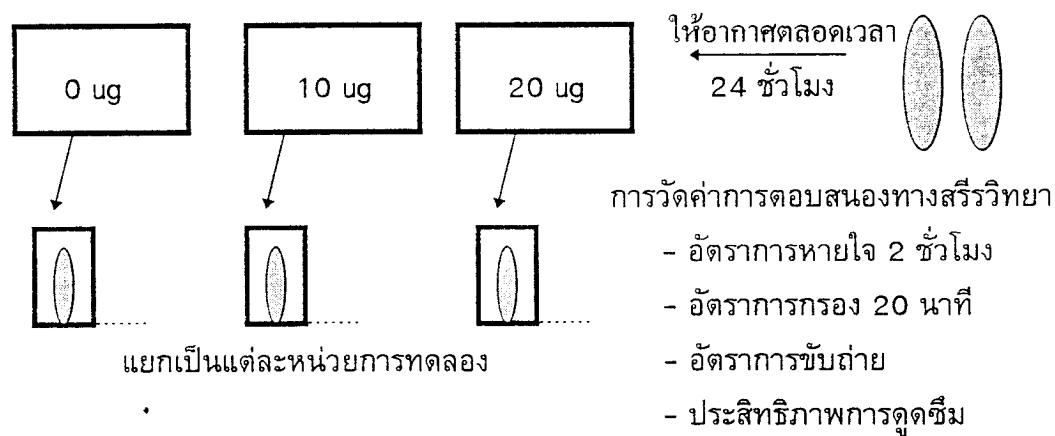
งดให้อาหารก่อนทำการทดลองเป็นเวลา 1 วัน หลังจากนั้นนำมาใส่ลงใน respiration chamber วัดค่าการตอบสนองเช่นเดียวกับในข้อ 3.1.1 – 3.1.4



รูปที่ 2.2 แผนการทดลองการตอบสนองต่อปริมาณตัวกอนข่วนโดยของหอยเจ้าปะการัง



รูปที่ 2.3 แผนการทดลองการตอบสนองต่อการเปลี่ยนแปลงความเค็มของหอยเจ้าปะการัง



รูปที่ 2.4 แผนการทดลองการตอบสนองต่อการสารละลายน้ำ  $Cu_2SO_4$  ของหอยเจ้าปะการัง

## บทที่ 3

### ผลการศึกษาวิจัย

#### 3.1 นิเวศวิทยา

เมื่อทำการสุ่มนับจำนวนธัญและทุบก้อนປากรังเพื่อศึกษาอัตราส่วนระหว่างจำนวนหอยเจาะปะกรังต่อจำนวนธัญ พบว่าอัตราส่วนระหว่างจำนวนหอยต่อจำนวนธัญเท่ากับ 1:1 หมายความว่าจะพบหอยเจาะปะกรังเพียง 1 ตัวเท่านั้น ในธัญของหอยเจาะปะกรัง 1 ธัญ

##### 3.1.1 จำนวนและการกระจาย

จากการทำ belt transect ที่ 3 สถานีบึงเวณแกะค้างคาว คือ A C และ D โดยการนับจำนวนธัญที่มีหอยเจาะปะกรัง การกระจายของหอยเจาะปะกรังที่พบและความลึกในแต่ละสถานี เป็นดังต่อไปนี้คือ (รูปที่ 3.1 และ 3.2)

สถานี A ความยาว line transect เท่ากับ 100 เมตร จำนวนมากที่สุดที่พบในหนึ่ง quadrat คือ 26 ตัว จำนวนเฉลี่ย 5 ตัว/ตารางเมตร บริเวณที่มีความหนาแน่นสูงสุดคือที่ระยะ 20-30 เมตร ห่างจากฝั่งที่ความลึก 2.5 เมตร

สถานี C ความยาว line transect เท่ากับ 42 เมตร จำนวนมากที่สุดที่พบในหนึ่ง quadrat คือ 30 ตัว จำนวนเฉลี่ย 2 ตัว/ตารางเมตร บริเวณที่มีความหนาแน่นสูงสุดคือที่ระยะ 14 เมตร ห่างจากฝั่งที่ความลึก 4 เมตร

สถานี D ความยาว line transect เท่ากับ 44 เมตร จำนวนมากที่สุดที่พบในหนึ่ง quadrat คือ 15 ตัว จำนวนเฉลี่ย 1 ตัว/ตารางเมตร บริเวณที่มีความหนาแน่นสูงสุดคือที่ระยะ 32-40 เมตร ห่างจากฝั่งที่ความลึก 5 เมตร

### 3.1.2 แหล่งที่อยู่อาศัย (Habitat)

จากการศึกษาแหล่งที่อยู่อาศัยของหอยเจาะประการัง พบว่าหอยเจาะประการังทั้งสามชนิดมีรูปร่างของปากรูต่างกันและมีแหล่งที่อยู่อาศัยในบริเวณดังต่อไปนี้คือ หอยเจาะประการังชนิด *Lithophaga* spp. ปากรูจะมีลักษณะคล้ายรูปที่ยกน้ำหนัก (dumbbell shape) พบได้ในประการังที่มีชีวิตหลายชนิด คือ *Porites lutea*, *Platygyra daedalea*, *Leptasrea purpurea* และ *Galaxea fascicularis* แต่โดยมากจะพบในประการังก้อนชนิด *Porites lutea* และพบว่ามีในประการังด้วยหอยเจาะประการังอีกชนิด *Spengleria mytiloides* มีลักษณะปากรูเป็นรูปป่องกลม 2 อันติดกันโดยวงกลมทั้ง 2 ข้างออกจากกันอย่างชัดเจน มีขอบหนา ส่วน *Gastrocheana cuneiformis* ที่ปากรูมีลักษณะเป็นรูปเลข 8 มีขอบหนา ทั้ง *Spengleria mytiloides* และ *Gastrocheana cuneiformis* พบได้เฉพาะในประการังด้วย จากการวิเคราะห์ความสัมพันธ์ของขนาดตัวหอยเจาะประการังกับขนาดปากรูที่พบในประการัง พบว่าความสัมพันธ์ระหว่างขนาดตัวหอยและปากรูนั้นมีความสัมพันธ์อยู่ในระดับต่ำ ( $r^2 = 0.326$ ) นั้นคือไม่อาจประมาณขนาดของตัวที่แน่นอนได้จากขนาดของปากรู

## 3.2 ชีววิทยา

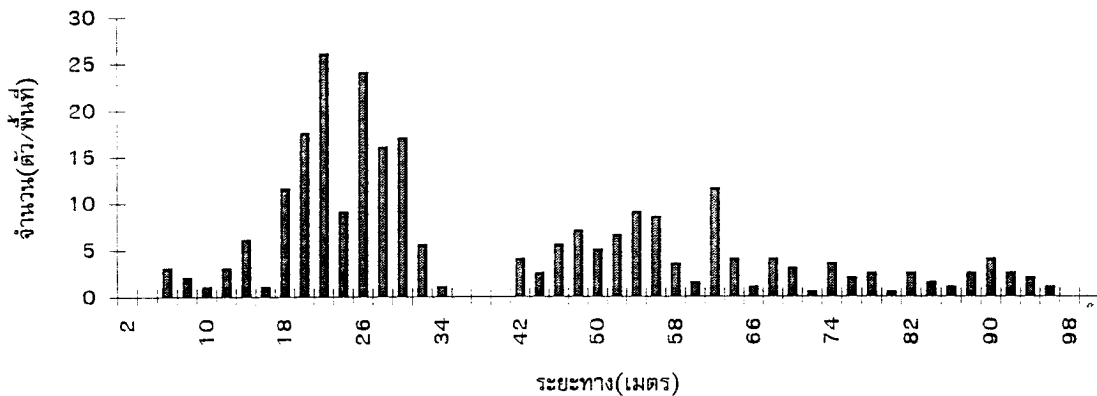
### 3.2.1 สัณฐานวิทยา (Morphology)

ที่ความยาวเปลือกเท่ากันนั้นหอยเจาะประการังชนิด *L. malaccana* จะมีน้ำหนักตัวมากที่สุด รองลงมาคือ *G.cuneiformis* และ *S. mytiloides* จะมีน้ำหนักตัวน้อยที่สุด ตั้งสมการ allometric (Bayne, 1976) ดังต่อไปนี้

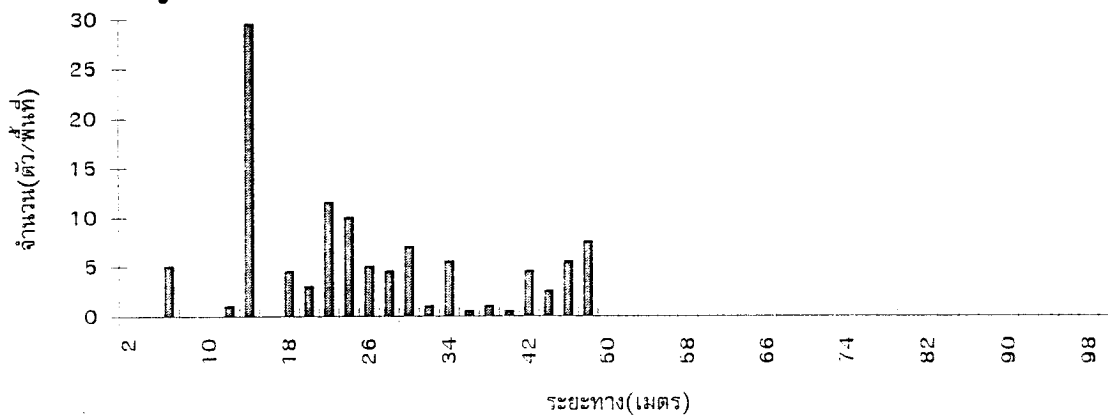
$$\begin{aligned} L. malaccana \quad Y &= 4.07X^{0.06} \quad (n=30) \quad r^2 = 0.363 \quad P = 0.000 \\ S. mytiloides \quad Y &= 1.98X^{0.11} \quad (n=30) \quad r^2 = 0.205 \quad P = 0.012 \\ G. cuneiformis \quad Y &= 1.65X^{0.23} \quad (n=30) \quad r^2 = 0.279 \quad P = 0.003 \end{aligned}$$

ค่า X คือ ความยาวเปลือก (มิลลิเมตร) และ Y คือ น้ำหนักร่วมเปลือก (กรัม)

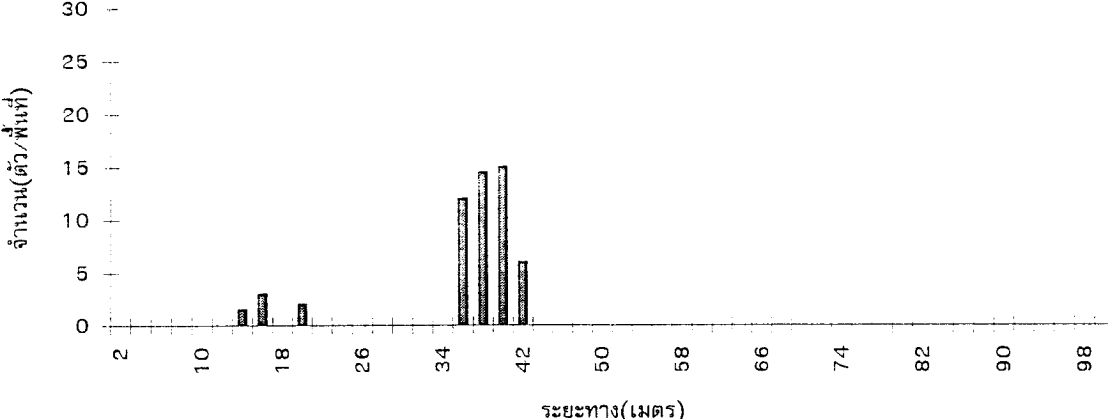
สถานี A



สถานี C

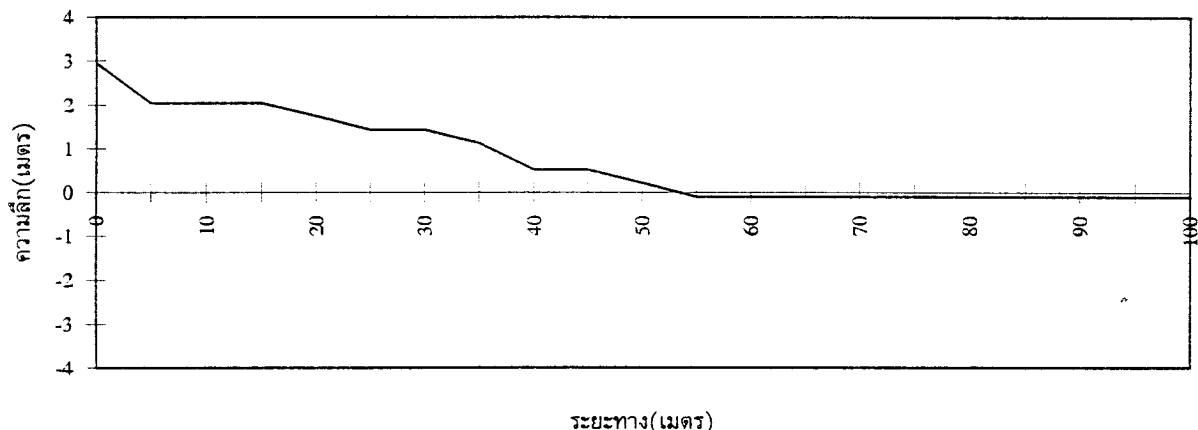


สถานี D

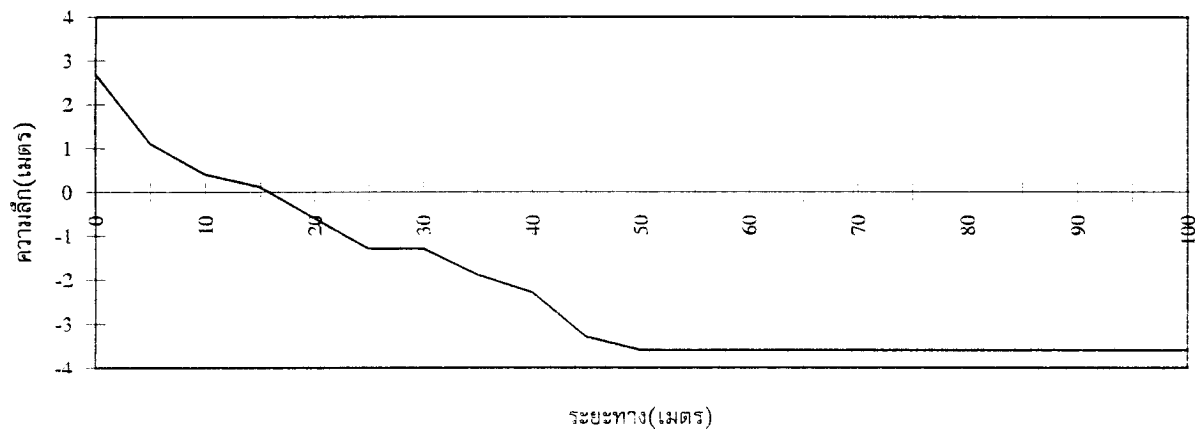


รูปที่ 3.1 ความหนาแน่นของหอยเจาะปะการังในแต่ละสถานีที่ทำการศึกษา ของเกาะค้างคา

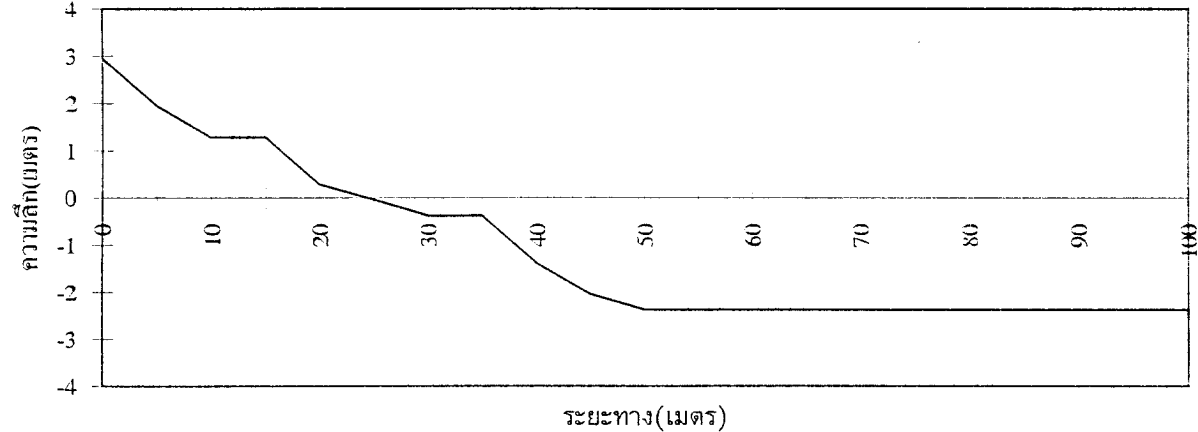
สถานี A



สถานี C



สถานี D



รูปที่ 3.2 ความลึกของสถานีที่ทำการศึกษาแต่ละสถานีของเกาะค้างคาว

### 3.2.2 อัตราส่วนเพศ

อัตราส่วนเพศของหอยเจาะปะการัง 3 ชนิด ( $n=30$ ) ที่ได้ทำการเก็บตัวอย่างจากแนวปะการังบริเวณแกะค้างคาในเดือนเมษายน พ.ศ. 2539 อัตราส่วนเพศในหอยเจาะปะการัง *L. malaccana* ระหว่างตัวผู้ต่อตัวเมียเท่ากับ 1:0.76 ส่วนอัตราส่วนเพศในหอยเจาะปะการัง *S. mytiloides* เท่ากับ 1:0.58 และใน *G. cuneiformis* เท่ากับ 1:0.67 แต่เมื่อวิเคราะห์ทางสถิติโดยการคำนวณค่าไคสแควร์ ( $\chi^2$ ) ที่ระดับนัยสำคัญ 0.05 พบว่าไม่มีความแตกต่างระหว่างเพศผู้และเพศเมีย นั่นคืออัตราส่วนเพศในหอยเจาะปะการังระหว่างตัวผู้ต่อตัวเมียใกล้เคียงกับ 1 ต่อ 1 ดังแสดงในตารางที่ 3.1

ตารางที่ 3.1 อัตราส่วนเพศในหอยเจาะปะการัง 3 ชนิด

ชนิด	ตัวผู้ (M)	ตัวเมีย (F)	expected value	$\chi^2$	M : F
<i>L. malaccana</i>	13	17	15	0.5	0.76
<i>S. mytiloides</i>	11	19	15	2.1	0.58
<i>G. cuneiformis</i>	12	18	15	1.2	0.67

### 3.2.3 Body Condition Index (BCI)

ค่า BCI ของหอยเจาะปะการัง 3 ชนิดที่เก็บจากแนวปะการังของเกาะค้างคาว 3 ช่วง เริ่มตั้งแต่เดือนมีนาคม ถึงเดือนสิงหาคม 2539 โดยแต่ละช่วงเว้นระยะห่างกัน 1 เดือนรายละเอียดั้งตารางที่ 3.2 และรูปที่ 3.3 เมื่อพิจารณาค่า BCI ในแต่ละชนิดพบว่า ค่า BCI ของ *L. malaccana* ในแต่ละช่วงมีค่าเฉลี่ยเท่ากับ  $15.4 \pm 4.64$   $27.8 \pm 8.25$  และ  $29.9 \pm 6.43$  ค่า BCI ในแต่ละช่วงเวลาในนั้นมีความแตกต่างกัน กล่าวคือ ในเดือนมีนาคมนั้นมีความแตกต่างกับอีก 2 ช่วงหลังคือในเดือนพฤษภาคมและเดือนกรกฎาคม แต่เมื่อเปรียบเทียบค่า BCI ของสองช่วงหลังนั้นไม่มีความแตกต่างกัน นั่นคือ BCI ของ *L. malaccana* มีแนวโน้มเพิ่มขึ้นเรื่อยๆ จากช่วงแรก

ค่า BCI ของ *S. mytiloides* เท่ากับ  $21.4 \pm 8.72$   $16.5 \pm 5.68$  และ  $23.0 \pm 6.29$  จากการทดสอบทางสถิติพบว่าค่า BCI ในแต่ละช่วงเวลาไม่มีความแตกต่างกันทางสถิติ

ค่า BCI ของ *G. cuneiformis* เท่ากับ  $36.3 \pm 16.2$   $6.8 \pm 2.85$  และ  $8.7 \pm 5.56$  ซึ่งค่า BCI ของ *G. cuneiformis* ในแต่ละช่วงเวลา เมื่อทำการทดสอบความแตกต่างทางสถิติพบว่ามีความแตกต่างกันอย่างมีนัยสำคัญระหว่างช่วงแรกคือเดือนมีนาคมกับเดือนพฤษภาคม และกรกฎาคม คือ ค่า BCI ใน 2 ช่วงหลังนั้นมีค่าต่ำกว่าในช่วงแรก

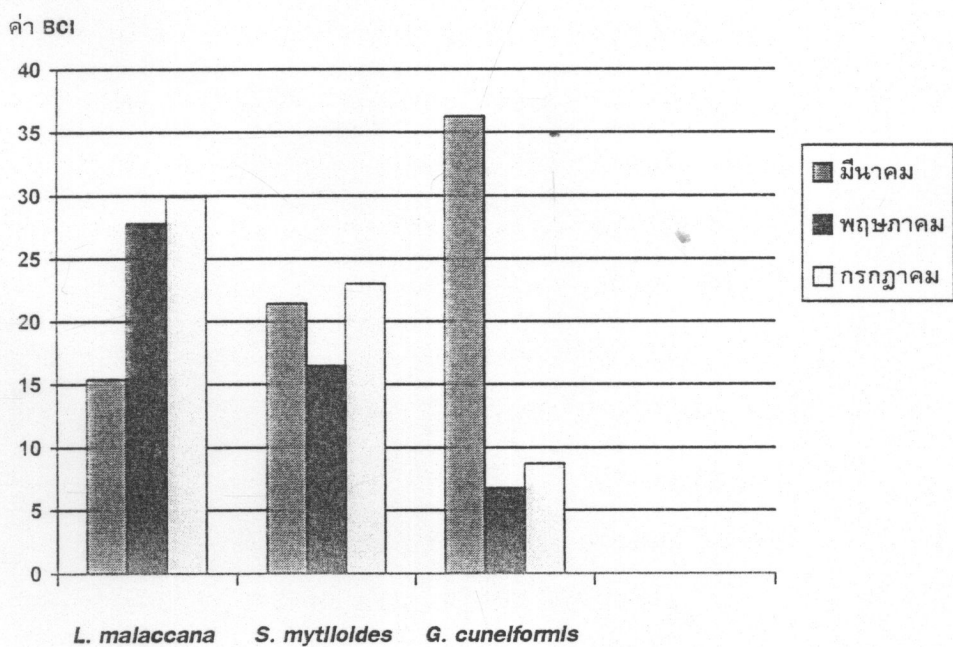
## 3.3 การตอบสนองทางสรีรวิทยา

### 3.3.1 การตอบสนองต่อปริมาณตะกอนแขวนลอย

โดยการเปรียบเทียบ อัตราการหายใจและอัตราการกรอง ใน 2 ชุดการทดลองคือ ชุดควบคุมที่ไม่มีตะกอนและชุดที่มีตะกอนของแป้งมันสำปะหลัง 5 มิลลิกรัมต่อลิตร ผลการทดลองพบว่ารูปแบบการตอบสนองของหอยเจาะปะการังแบ่งได้เป็น 2 แบบ คือ แบบที่ 1 *L. malaccana* มีอัตราการหายใจสูงขึ้นถึง 71.1 % ในขณะที่ อัตราการกรองลดลงเพียง 1.4 % แบบที่ 2 คือ การตอบสนองของ *S. mytiloides* และ *G. cuneiformis* ที่มีอัตราการหายใจเพิ่มขึ้นเป็น 49.26 % และ 7.76 % แต่มีอัตราการกรองลดลงอย่างมากเป็น 16.9 % และ 27.8 % หมายความว่า *L. malaccana* มีความสามารถในการต่อตะกอนแขวนลอยได้ดีกว่า *S. mytiloides* และ *G. cuneiformis* จึงทำให้อัตราการหายใจสูงขึ้น แต่อัตราการกรองมีการเปลี่ยนแปลงน้อย ผลการทดลองที่ได้แสดงอยู่ในตาราง 3.3 และรูปที่ 3.4 - 3.5

ตารางที่ 3.2 ค่าเฉลี่ยของความยาวเปลือก น้ำหนักเนื้อแห้ง และ BCI ในแต่ละช่วงเวลาของหอยเจาปะการัง 3 ชนิด

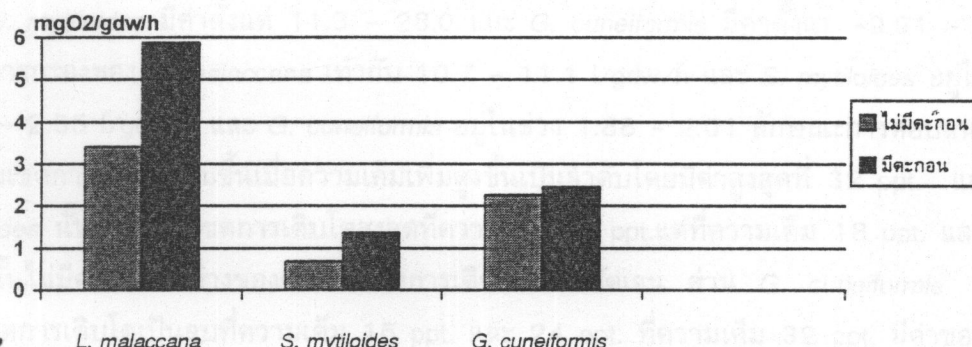
ชนิด	เดือน	จำนวน (n)	ความยาว	น้ำหนักแห้ง (g)	BCI
			เปลือก (mm.)		
<i>L. malaccana</i>	มีนาคม	20	$62.5 \pm 6.42$	$0.96 \pm 0.26$	$15.4 \pm 4.64^a$
	พฤษภาคม	20	$64.1 \pm 7.71$	$1.79 \pm 0.63$	$27.8 \pm 8.25^b$
	กรกฎาคม	20	$61.3 \pm 8.77$	$1.85 \pm 0.57$	$29.9 \pm 6.43^b$
<i>S. mytiloides</i>	มีนาคม	15	$44.09 \pm 5.48$	$0.93 \pm 0.37$	$21.4 \pm 8.72^a$
	พฤษภาคม	15	$36.31 \pm 4.03$	$0.60 \pm 0.24$	$16.5 \pm 5.61^a$
	กรกฎาคม	18	$48.53 \pm 5.23$	$0.97 \pm 0.25$	$23.0 \pm 6.29^a$
<i>G.cuneiformis</i>	มีนาคม	16	$49.30 \pm 10.90$	$1.64 \pm 0.46$	$36.3 \pm 16.2^a$
	พฤษภาคม	16	$24.13 \pm 5.06$	$0.17 \pm 0.09$	$6.77 \pm 2.85^b$
	กรกฎาคม	18	$27.49 \pm 7.37$	$0.26 \pm 0.20$	$8.70 \pm 5.56^b$



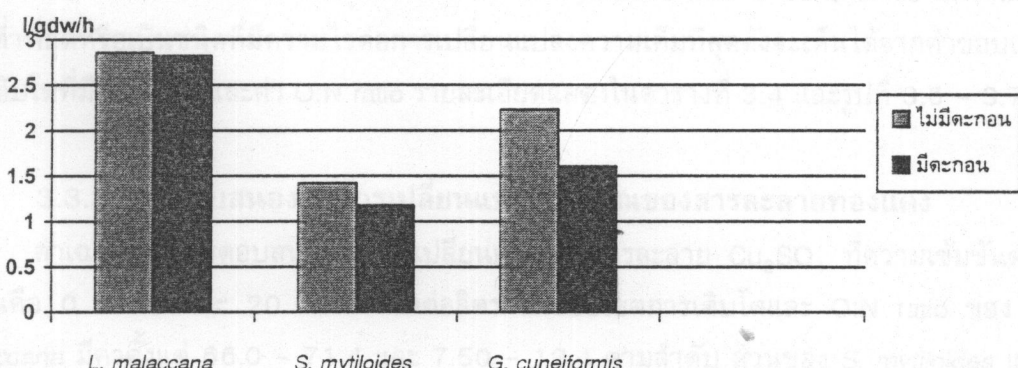
รูปที่ 3.3 ค่า BCI ของหอยเจาปะการัง 3 ชนิดที่เวลาต่าง ๆ

ตารางที่ 3.3 ค่าเฉลี่ยของการตอบสนองทางสีรีวิทยาต่อปริมาณตะกอนแขวนลอย ของหอย  
เจาะปะการัง 3 ชนิด

ชนิด	ชุดการทดลอง	n	อัตราการหายใจ	อัตราการกรอง
			(mgO <sub>2</sub> /gdw/h)	(l/gdw/h)
<i>L. malaccana</i>	ไม่มีตะกอน	12	3.42 ± 1.96	2.86 ± 0.69
	มีตะกอน	12	5.87 ± 2.75	2.82 ± 0.63
<i>S. mytiloides</i>	ไม่มีตะกอน	12	0.69 ± 0.92	1.42 ± 1.16
	มีตะกอน	12	1.36 ± 1.96	1.18 ± 1.04
<i>G. cuneiformis</i>	ไม่มีตะกอน	12	2.26 ± 0.95	2.23 ± 0.26
	มีตะกอน	12	2.45 ± 1.19	1.61 ± 0.67



รูปที่ 3.4 อัตราการหายใจของหอยเจาะปะการัง 3 ชนิดในชุดการทดลองที่ไม่มีเปลือก และมีเปลือก



รูปที่ 3.5 อัตราการกรองของหอยเจาะปะการัง 3 ชนิด ในชุดการทดลองที่ไม่มีเปลือก และมีเปลือก

### 3.3.2 การตอบสนองต่อการเปลี่ยนแปลงความเค็ม

ค่าเฉลี่ยของการตอบสนองของหอยเจ้าประจำรังต่อการเปลี่ยนแปลงความเค็มที่ 16 ppt และ 32 ppt. ใน *L. malaccana* ค่าขอบเขตของการเติบโตมีค่าเฉลี่ยตั้งแต่ 164.5 - 182.4 ส่วน *S. mytiloides* มีค่าตั้งแต่ 11.3 - 28.0 และ *G. cuneiformis* มีค่าตั้งแต่ -9.91 - 1.23 อัตราการกรองของ *L. malaccana* เท่ากับ 10.7 - 11.1 l/gdw/h และ *S. mytiloides* อยู่ในช่วง 1.26 - 2.55 l/gdw/h และ *G. cuneiformis* อยู่ในช่วง 1.88 - 2.01 ลักษณะการตอบสนอง มีค่าขอบเขตการเติบโตเพิ่มขึ้นเมื่อความเค็มเพิ่มสูงขึ้นเป็นลำดับโดยมีค่าสูงสุดที่ 32 ppt. และ *S. mytiloides* นั้นมีค่าขอบเขตการเติบโตสูงสุดที่ความเค็ม 32 ppt. แต่ที่ความเค็ม 18 ppt. และ 24 ppt. นั้นไม่มีความแตกต่างของค่าขอบเขตการเติบโตอย่างชัดเจน ส่วน *G. cuneiformis* มีค่าขอบเขตการเติบโตเป็นลบที่ความเค็ม 16 ppt. และ 24 ppt. ที่ความเค็ม 32 ppt. มีค่าขอบเขตการเติบโตเท่ากับ 1.23 ซึ่งเป็นค่าบวกเพียงค่าเดียว ส่วนค่า O:N ratio ของแต่ละชนิดนั้นมีค่าใกล้เคียงกัน แต่ค่า O:N ratio ของ *S. mytiloides* และ *G. cuneiformis* นั้นมีความแปรปรวนของข้อมูลสูง จากผลการทดลองที่ได้นี้เมื่อพิจารณาค่าขอบเขตการเติบโตกล่าวได้ว่า หอยเจ้าประจำรังทั้ง 3 ชนิด มีช่วงความเค็มที่เหมาะสมคือ 32 ppt. โดยที่ *L. malaccana* เป็นชนิดที่มีความทนทานต่อการเปลี่ยนแปลงความเค็มมากที่สุดรองลงมาคือ *S. mytiloides* ส่วน *G. cuneiformis* มีความทนทานต่ำที่สุดหรือเป็นชนิดที่มีความไวต่อการเปลี่ยนแปลงความเค็มที่สุดดังจะเห็นได้จากค่าขอบเขตการเติบโตที่มีค่าเป็นลบและค่า O:N ratio รายละเอียดแสดงในตารางที่ 3.4 และรูปที่ 3.6 - 3.7

### 3.3.3 การตอบสนองต่อการเปลี่ยนแปลงปริมาณของสารละลายนอกแดง

ค่าเฉลี่ยของการตอบสนองต่อการเปลี่ยนแปลงต่อสารละลายน้ำ  $\text{Cu}_2\text{SO}_4$  ที่ความเข้มข้นต่างๆ กันคือ 0, 10 และ 20 ไมโครกรัมตอลิตร ค่าขอบเขตการเติบโตและ O:N ratio ของ *L. malaccana* มีค่าตั้งแต่ 66.0 - 71.4 และ 7.50 - 12.4 ตามลำดับ ส่วนของ *S. mytiloides* และ *G. cuneiformis* เท่ากับ 130.9 - 179.6, 13.4 - 23.0 และ -151.9 - 80.8, 0.01-0.02 ตามลำดับ ในการตอบสนองต่อการเปลี่ยนแปลงความเข้มข้นของสารละลายนอกแดงนั้น *L. malaccana* มีค่าขอบเขตการเติบโตสูงสุดที่ความเข้มข้น 10 ไมโครกรัม โดยค่าขอบเขตการเติบโตที่ 0 ไมโครกรัมและ 20 ไมโครกรัมนั้นมีค่าใกล้เคียงกัน *S. mytiloides* มีค่าขอบเขตการเติบโตสูงสุดในช่วงความเข้มข้น 10 ไมโครกรัมเช่นกัน รองลงมาคือ 0 ไมโครกรัมและ 20 ไมโครกรัม ส่วนใน *G. cuneiformis* มีค่าขอบเขตการเติบโตเป็นลบ และ O:N ratio มีค่าต่ำมาก ตั้งนั้นหอยเจ้าประจำรังที่มีความทนทานต่อปริมาณสารละลายนอกแดงที่สุดคือ *S. mytiloides* เนื่องจากมีค่าขอบเขตการเติบโตและ O:N ratio สูง และ *G. cuneiformis* เป็นหอยเจ้าประจำรังที่มีความไวต่อการเปลี่ยนแปลงมากที่สุด เนื่องจากค่าขอบเขตการเติบโตที่เป็นลบและค่า O:N ratio ที่ต่ำมาก แสดงถึงความเครียดที่เกิดขึ้นขณะที่ทำการทดลอง ผลการทดลองแสดงอยู่ในตารางที่ 3.5 และรูปที่ 3.8 - 3.9

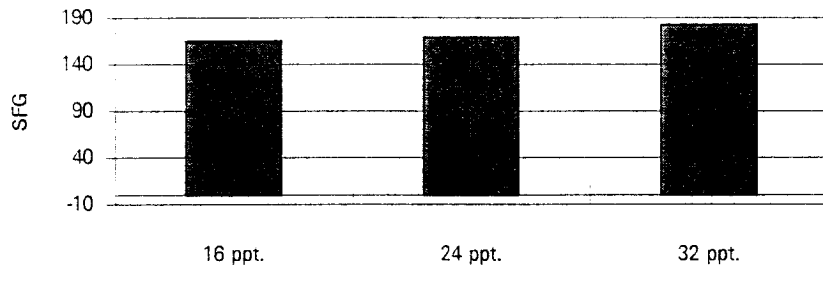
### 3.3.4 การตอบสนองต่อการเปลี่ยนแปลงความเค็มร่วมกับการเปลี่ยนแปลงปริมาณสารละลายนอง釀ดงที่ความเข้มข้นต่าง ๆ กัน

เป็นผลร่วมของการเปลี่ยนแปลงความเค็ม 3 ระดับ คือ 32, 24 และ 16 ppt. และความเข้มข้นของสารละลายน้ำ  $\text{Cu}_2\text{SO}_4$  ที่ความเข้มข้น 10 และ 20 ไมโครกรัม ใน *L. malaccana* ค่าของขอบเขตการเดบໂຕและ O:N ratio ของการเปลี่ยนแปลงแต่ละระดับมีค่าตั้งแต่ 67.2 - 185.4 และ 1.40 - 15.0 ส่วน *S. mytiloides* และ *G. cuneiformis* มีค่าขอบเขตการเดบໂຕและ O:N ratio มีค่าตั้งแต่ 5.18 - 28.0, 1.18 - 10.7 และ -26.4 - 75.8, 0.12 - 12.14 ตามลำดับ *L. malaccana* มีการตอบสนองต่อการเปลี่ยนแปลงความเค็ม ร่วมกับเปลี่ยนแปลงปริมาณสารละลายนอง釀ดงที่ความเข้มข้นต่าง ๆ เป็นดังต่อไปนี้คือ มีค่าขอบเขตการเดบໂຕเพิ่มขึ้นเมื่อความเค็มเพิ่มขึ้น แต่ค่าขอบเขตการเดบໂຕนั้นจะลดลงเมื่อความเข้มข้นของสารละลายน้ำเพิ่มขึ้น โดยที่ค่าขอบเขตการเดบໂຕจะต่ำสุดที่ความเค็ม 16 ppt. และความเข้มข้น 20 ไมโครกรัม และค่อย ๆ สูงขึ้นเมื่อความเค็มเพิ่มขึ้นและค่าความเข้มข้นลดลงจนมีค่าสูงสุดที่ความเค็ม 32 ppt. ค่าขอบเขตการเดบໂຕในแต่ละชุดการทดลองนั้นแตกต่างกันอย่างชัดเจน ค่า O:N ratio นั้นมีความแตกต่างกันที่แต่ละความเค็มแต่ที่ความเค็มเดียวกันนั้นไม่มีความแตกต่างระหว่างกลุ่มความเข้มข้น การตอบสนองของ *S. mytiloides* นั้นก็มีแนวโน้มเป็นเช่นเดียวกับ *L. malaccana* คือขอบเขตการเดบໂຕมีค่าสูงสุดที่ระดับความเค็มสูงสุดแต่ความเข้มข้นของสารละลายน้ำต่ำสุด ค่าขอบเขตการเดบໂຕนี้จะเพิ่มขึ้นเมื่อความเค็มเพิ่มขึ้น และลดลงเมื่อความเข้มข้นเพิ่มขึ้น แต่ความแตกต่างของการตอบสนองในแต่ละกลุ่มนั้นไม่แสดงอย่างชัดเจน ส่วนค่า O:N ratio มีความแตกต่างกันในกลุ่มความเค็มและแปรปรวนค่อนข้างสูง และค่าการตอบสนองของ *G. cuneiformis* นั้นมีค่าขอบเขตการเดบໂຕส่วนใหญ่เป็นลบและมีค่า O:N ratio ต่ำกว่า 1 เป็นส่วนใหญ่ หมายความว่า *G. cuneiformis* เกิดความเครียดในระหว่างทำการทดลอง ดังนั้นจึงไม่สามารถสรุปแนวโน้มของการตอบสนองได้ แต่อย่างไรก็ตามจากการทดลองนี้ แสดงให้เห็นว่าหอยเจาะประการังที่มีความไวต่อการเปลี่ยนแปลงความเค็มร่วมกับการเปลี่ยนแปลงความเข้มข้นของสารละลายนอง釀ดงคือ *G. cuneiformis* และที่มีความทนทานมากที่สุดคือ *L. malaccana* เนื่องจากมีค่าขอบเขตการเดบໂຕสูงในแต่ละชุดการทดลอง รองลงมาคือ *S. mytiloides* ดังจะเห็นได้จากการฟีโนรูปที่ และรายละเอียดของผลการทดลองนี้แสดงในตารางที่ 3.6 - 3.8 และรูปที่ 3.10 - 3.12

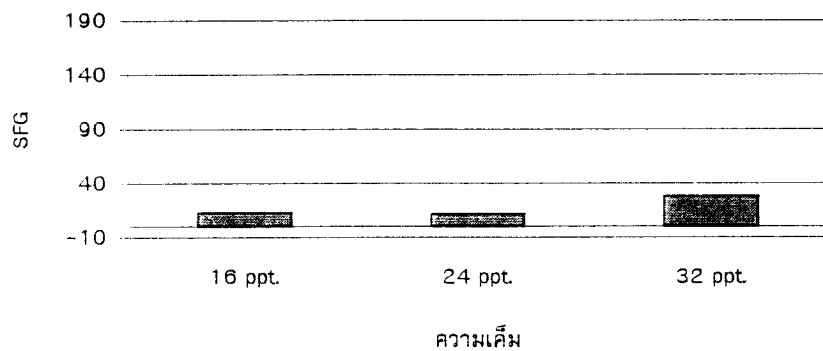
ตารางที่ 3.4 ค่าเฉลี่ยของค่าการตอบสนองทางสรีริวิทยาของหอยเจ้าปะการัง 3 ชนิดต่อการเปลี่ยนแปลงความเค็ม

ชนิด	ความ เค็ม (ppt.)	อัตรา การ หายใจ (mgO <sub>2</sub> /g dw/h)	อัตราการ ขับถ่าย (μgNH <sub>4</sub> <sup>-</sup> / N/gdw/ h)	อัตราการ กรอง (l/gdw/h)	ประสิทธิภาพ การ การ เดินโดด	ขอบเขต การ เดินโดด	O:N ratio	
							น้ำ	
							อากาศ	
<b>L. malaccana</b>								
•	7	16	0.66	0.38	10.7	0.75	164.5	2.00
		s.d.	0.24	0.29	0.38	0.12	26.9	0.72
	8	24	0.68	0.39	10.8	0.77	168.5	1.60
		s.d.	0.34	0.20	0.18	0.07	13.8	0.66
	7	32	0.67	0.31	11.1	0.80	182.4	1.40
		s.d.	0.39	0.11	0.32	0.06	19.3	0.85
<b>S. mytiloides</b>								
	5	16	0.50	0.16	1.26	0.91	12.6	2.29
		s.d.	0.15	0.11	0.38	0.08	6.86	2.12
	5	24	0.40	0.17	1.29	0.79	11.3	1.18
		s.d.	0.18	0.09	0.62	0.20	14.1	0.62
	4	32	0.91	0.05	2.55	0.73	28.0	4.33
		s.d.	0.93	0.03	2.09	0.152	25.7	2.62
<b>G. cuneiformis</b>								
	5	16	1.29	0.14	1.88	0.92	-1.23	0.92
		s.d.	0.78	0.02	0.57	0.11	11.5	0.30
	5	24	1.94	0.10	1.94	0.77	-9.91	2.63
		s.d.	0.73	0.04	0.37	0.25	21.1	1.34
	4	32	1.64	0.04	2.01	0.74	1.23	12.1
		s.d.	0.89	0.05	0.53	0.12	24.7	9.87

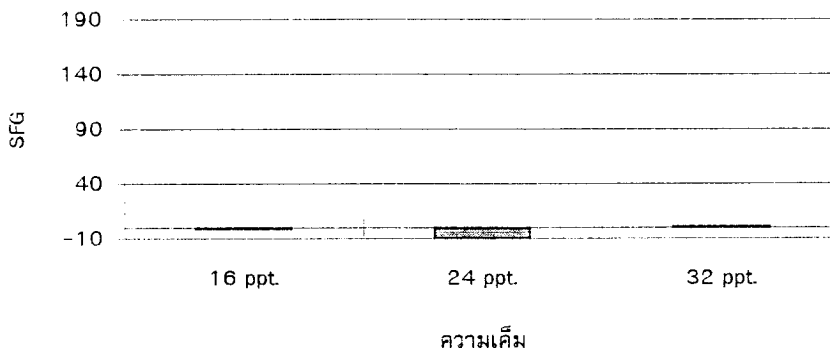
เมื่อทำการทดสอบทางสถิติ เพื่อหาความแตกต่างของค่าขอบเขตการเดินโดด (SFG) และ O:N ratio ที่ก่อสู่ความเค็มต่าง ๆ ในหอยเจ้าปะการังแต่ละชนิด พบว่า *L. malaccana* และ *S. mytiloides* ไม่มีความแตกต่างของค่า SFG และ O:N ratio ส่วน *G. cuneiformis* นั้น ค่า SFG ไม่มีความแตกต่างกัน แต่ค่า O:N ratio มีความแตกต่างกันอย่างมีนัยสำคัญ ( $p < 0.05$ )

*L. malaccana*

ความเค็ม

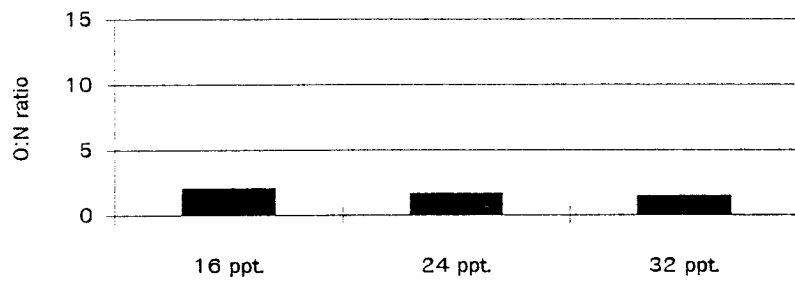
*S. mytiloides*

ความเค็ม

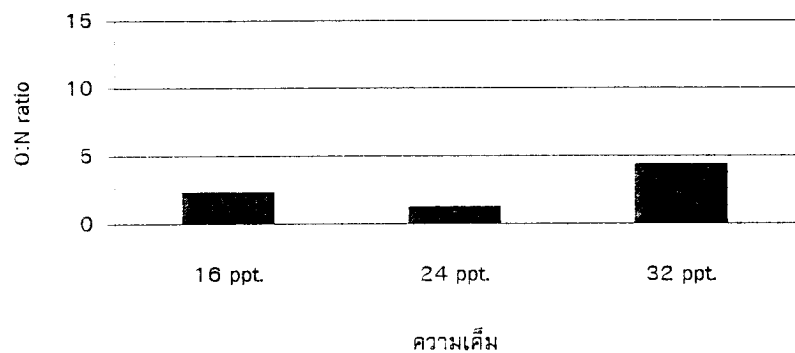
*G. cuneiformis*

ความเค็ม

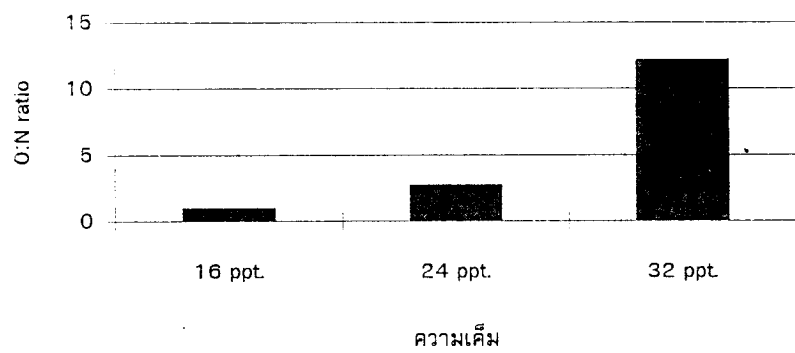
รูปที่ 3.6 ค่าของเขตการเติบโตของหอยเจาะปะการัง 3 ชนิดที่ความเค็มต่าง ๆ

*L. malaccana*

ความเค็ม

*S. mytiloides*

ความเค็ม

*G. cuneiformis*

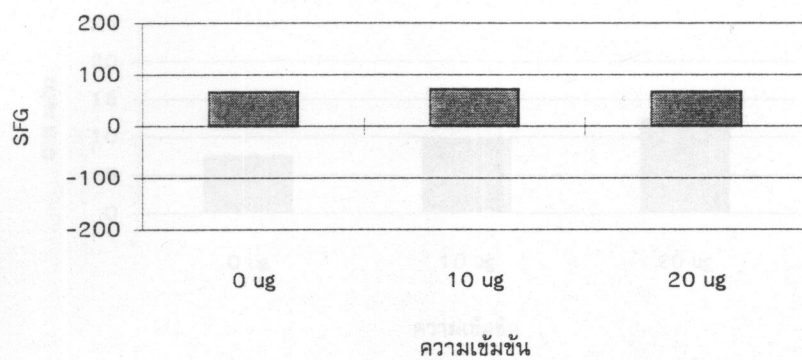
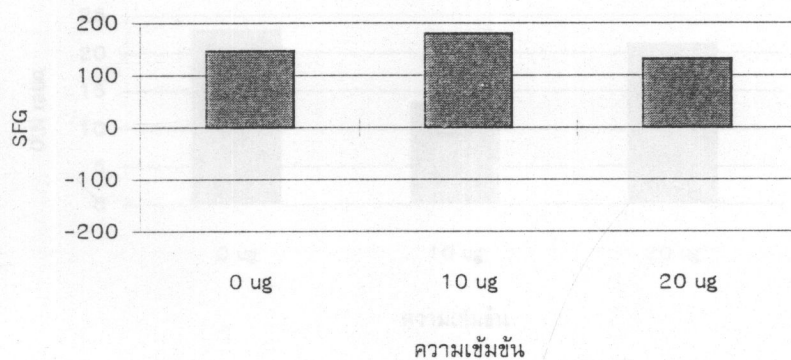
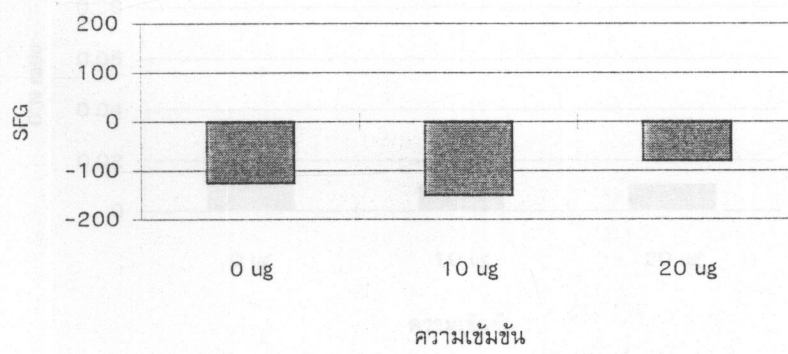
ความเค็ม

รูปที่ 3.7 ค่า O:N ratio ของหอยเจ้าประจำรัง 3 ชนิดที่ระดับความเค็มต่าง ๆ

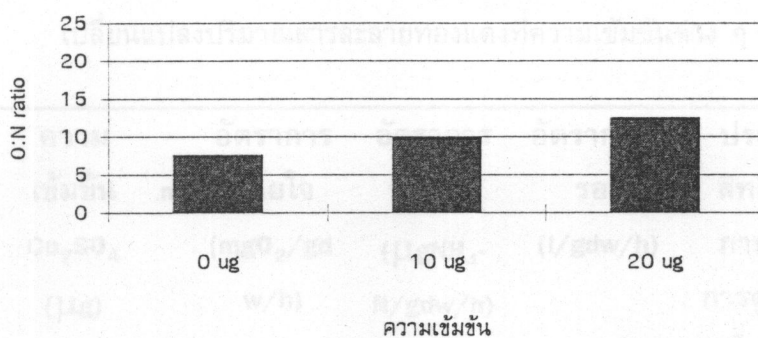
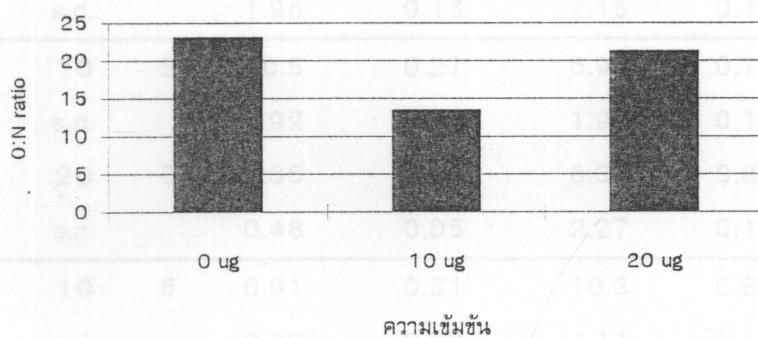
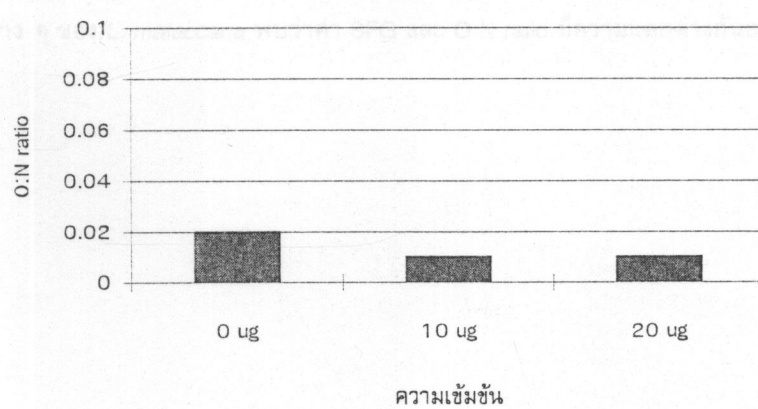
ตารางที่ 3.5 ค่าเฉลี่ยของค่าการตอบสนองทางสรีริวิทยาของหอยเจาะปะการัง 3 ชนิดต่อการเปลี่ยนแปลงความเข้มข้นสารละลายน้ำ

ชนิด	ก ก	ความ	อัตรา	อัตราการ	อัตรา	ประ	ขอบ	O:N
		เข้มข้น	การ	ขับถ่าย	การ	สิกมิ	เขต	ratio
		Cu <sub>2</sub> SO <sub>4</sub>	หายใจ	(μNH <sub>4</sub> <sup>+</sup> /	กรอง	ภาพ	การ	
<i>L. malaccana</i>	8	0	5.46	0.63	9.68	0.84	66.0	7.50
	•	s.d.	1.08	0.14	1.59	0.03	27.6	2.73
	8	10	5.06	0.44	9.70	0.77	71.4	9.84
		s.d.	1.30	0.12	0.71	0.14	34.21	3.86
	7	20	6.21	0.40	9.46	0.86	66.9	12.4
		s.d.	0.92	0.15	0.75	0.05	22.4	6.87
<i>S. mytiloides</i>	5	0	0.80	0.04	9.74	0.75	146.0	23.0
		s.d.	0.19	0.03	0.24	0.15	29.11	8.84
	5	10	0.73	0.05	9.60	0.89	179.6	13.4
		s.d.	0.22	0.04	0.39	0.14	34.37	12.0
	6	20	1.77	0.01	9.96	0.73	130.9	21.2
		s.d.	2.52	0.01	1.42	0.32	88.9	9.86
<i>G. cuneiformis</i>	5	0	0.06	0.29	4.37	0.89	-126.3	0.02
		s.d.	0.04	0.09	0.42	0.20	145.8	0.03
	5	10	0.04	0.26	4.68	0.90	-151.9	0.01
		s.d.	0.02	0.04	0.29	0.06	91.9	0.01
	3	20	0.06	0.25	4.30	0.75	-80.8	0.02
		s.d.	0.02	0.03	0.38	0.04	34.0	0.01

เมื่อทำการทดสอบทางสถิติ เพื่อหาความแตกต่างของค่าขอบเขตการเติบโต (SFG) และ O:N ratio ที่กลุ่มของสารละลายน้ำ Cu<sub>2</sub>SO<sub>4</sub> ที่ความเข้มข้นต่าง ๆ ในหอยเจาะปะการังแต่ละชนิด พนวจ ในการเจาะปะการังทั้ง 3 ชนิด ไม่มีความแตกต่างของค่า SFG และ O:N ratio ในทุกกลุ่มความเข้มข้น

*L. malaccana**S. mytiloides**G. cuneiformis*

รูปที่ 3.8 ค่าของเบต้าการเติบโตของหอยเจาะปะการัง 3 ชนิดที่สารละลายนองแดงความเข้มข้นต่าง ๆ

*L. malaccana**S. mytiloides**G. cuneiformis \**

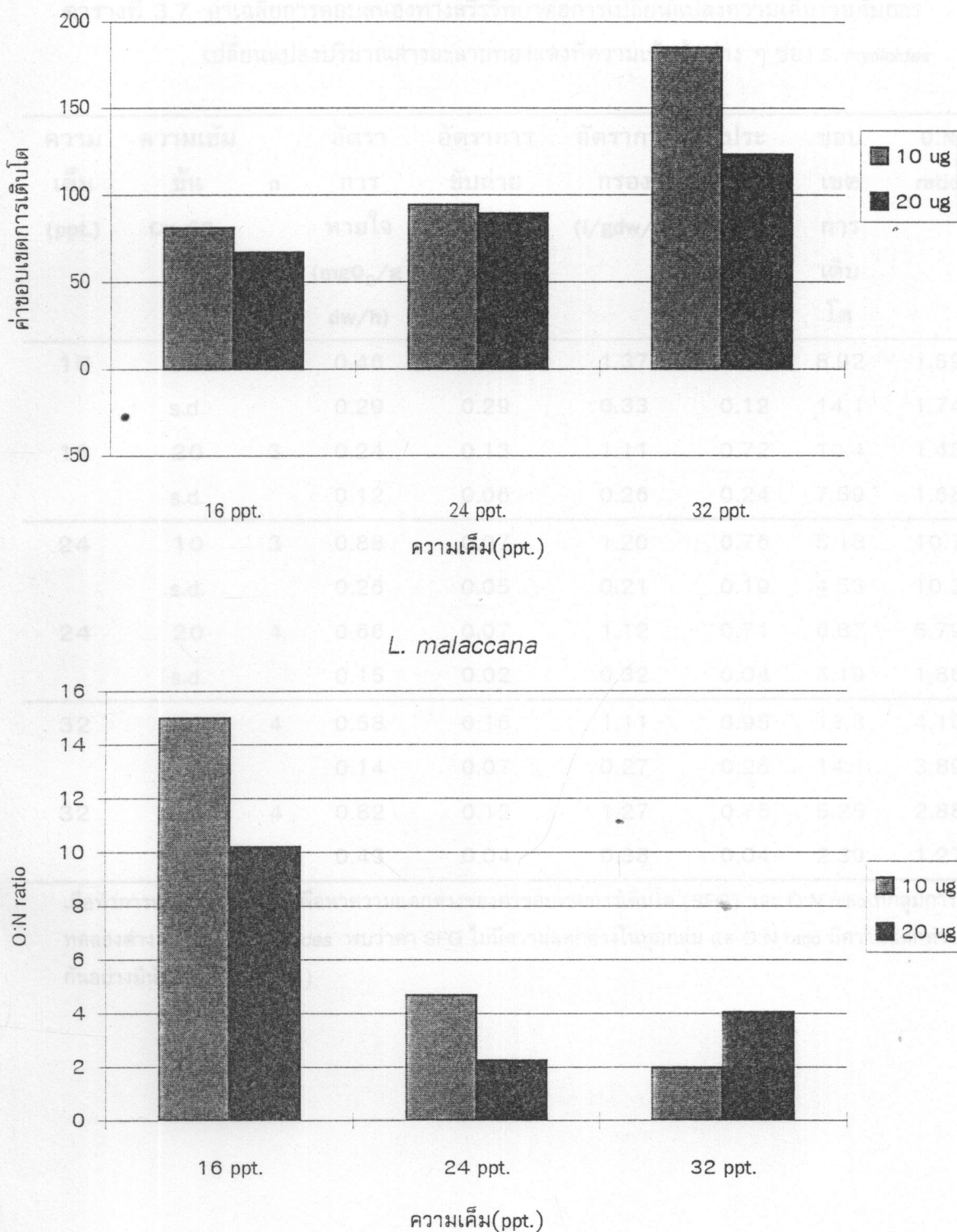
รูปที่ 3.9 ค่า O:N ratio ของหอยเจาะปะการังที่สารละลายนองแดงความเข้มข้นต่าง ๆ

\* หมายเหตุ แกน y มีค่าแตกต่างกันในกราฟของ *L. malaccana* และ *S. mytiloides*

ตารางที่ 3.6 ค่าเฉลี่ยการตอบสนองทางสรีรวิทยาต่อการเปลี่ยนแปลงความเค็มร่วมกับการเปลี่ยนแปลงปริมาณสารละลายทองแดงที่ความเข้มข้นต่าง ๆ ของ *L.malaccana*

ความ เค็ม ppt.	ความ เข้มข้น <i>Cu<sub>2</sub>SO<sub>4</sub></i> ( $\mu\text{g}$ )	อัตราการ หายใจ (mgO <sub>2</sub> /gd w/h)	อัตราการ ขับถ่าย ( $\mu\text{gNH}_4^-$ N/gdw/h)	อัตราการก รอง (l/gdw/h)	ประสิทธิ ภาพ	ขอนเข ตการ เติบโต	0:N ratio	
							การดูด ซึม	
16	10	5	4.28	0.30	7.36	0.91	81.1	15.0
	s.d.		1.25	0.19	1.75	0.06	41.9	13.5
16	20	6	2.86	0.30	5.92	0.85	67.2	10.2
	s.d.		1.96	0.13	2.15	0.18	56.9	7.47
24	10	5	16.5	0.27	6.94	0.78	94.2	4.68
	s.d.		0.92	0.08	1.90	0.19	52.5	2.40
24	20	5	1.35	0.45	6.34	0.84	89.3	2.24
	s.d.		0.48	0.05	2.27	0.19	29.0	0.50
32	10	6	0.91	0.31	10.3	0.89	185.4	1.98
	s.d.		0.30	0.09	4.11	0.11	92.3	0.87
32	20	5	1.27	0.26	6.73	0.97	123.3	4.10
	s.d.		1.26	0.09	1.20	0.03	50.4	4.05

เมื่อทำการทดสอบทางสถิติ เพื่อหาความแตกต่างของค่าขอนเขตการเติบโต (SFG) และ O:N ratio ที่กลุ่มการทดลองต่าง ๆ ของ *L. malaccana* พบร่วมค่า SFG และ O:N ratio มีความแตกต่างกันอย่างมีนัยสำคัญ ( $p<0.05$ )

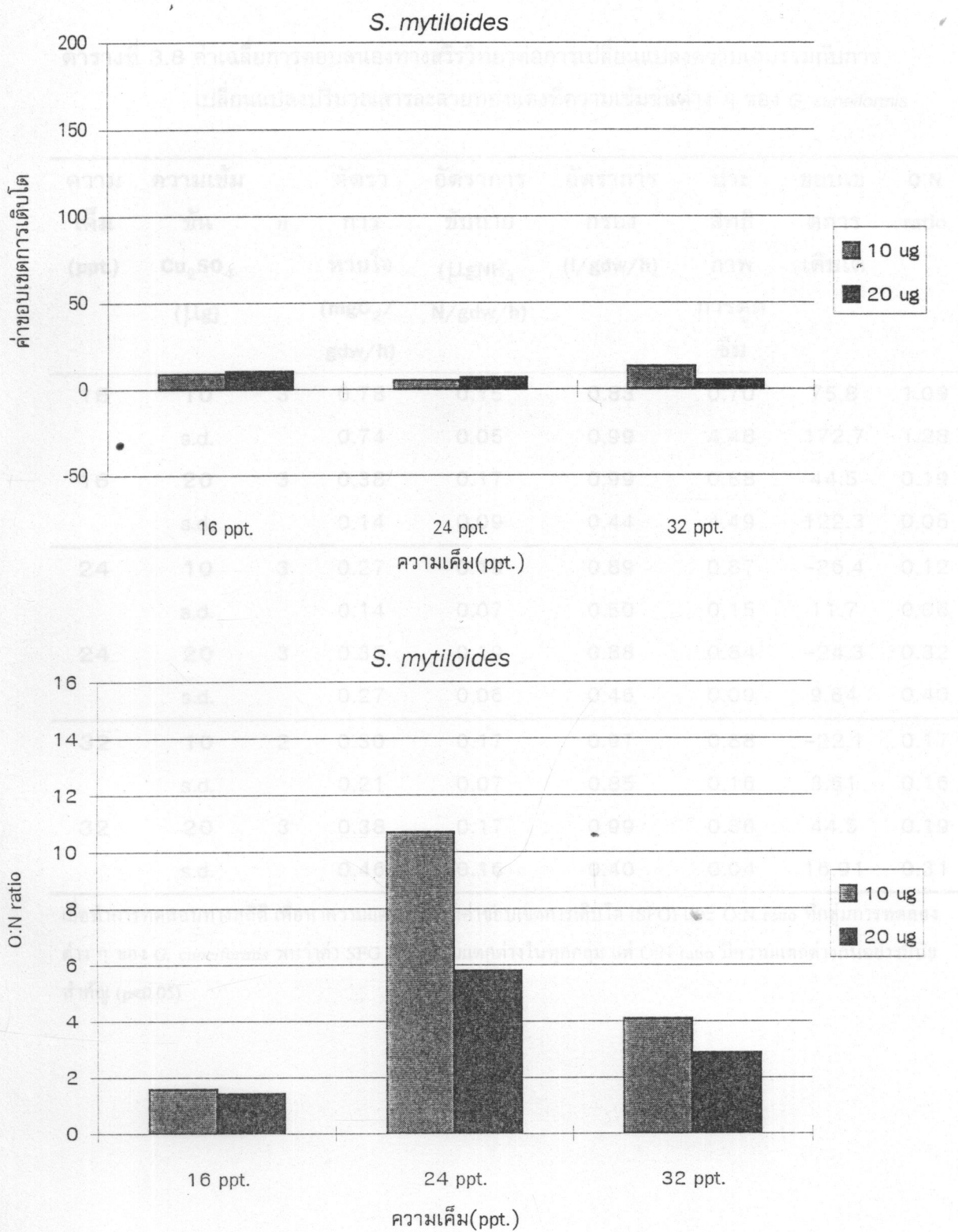
*L.malaccana*

รูปที่ 3.10 ค่าของเขตการเติบโตและค่า O:N ratio ของหอยเจาปะการัง *L. malaccana*

ตารางที่ 3.7 ค่าเฉลี่ยการตอบสนองทางสรีรวิทยาต่อการเปลี่ยนแปลงความเค็มร่วมกับการเปลี่ยนแปลงปริมาณสารละลายน่องแดงที่ความเข้มข้นต่าง ๆ ของ *S. mytiloides*

ความ เค็ม (ppt.)	ความเข้ม ขั้น ( $\mu\text{g}$ )	n	อัตรา การ หายใจ ( $\text{mgO}_2/\text{g}$ $\text{dw/h}$ )	อัตราการ ขับถ่าย ( $\mu\text{gNH}_4^-/\text{g}$ $\text{dw/h}$ )	อัตราการ กรอง ( $\text{l/gdw/h}$ )	ประสิทธิภาพ การดูด <sup>a</sup> ซึม <sup>b</sup>	ขอบเขต การเติบโต	O:N ratio
16	10	4	0.46	0.25	1.37	0.80	8.92	1.59
	s.d.		0.29	0.29	0.33	0.12	14.1	1.74
16	20	3	0.24	0.13	1.11	0.72	10.4	1.43
	s.d.		0.12	0.06	0.26	0.24	7.59	1.68
24	10	3	0.88	0.07	1.20	0.76	5.18	10.7
	s.d.		0.26	0.05	0.21	0.19	4.53	10.3
24	20	4	0.66	0.07	1.12	0.71	6.87	5.79
	s.d.		0.15	0.02	0.32	0.04	3.19	1.86
32	10	4	0.58	0.16	1.11	0.95	13.3	4.10
	s.d.		0.14	0.07	0.27	0.26	14.1	3.89
32	20	4	0.82	0.12	1.27	0.75	5.25	2.88
	s.d.		0.43	0.04	0.38	0.04	2.39	1.27

เมื่อทำการทดสอบทางสถิติ เพื่อหาความแตกต่างของค่าขอบเขตการเติบโต (SFG) และ O:N ratio ที่กลุ่มการทดลองต่าง ๆ ของ *S. mytiloides* พบว่าค่า SFG ไม่มีความแตกต่างในทุกกลุ่ม แต่ O:N ratio มีความแตกต่างกันอย่างมีนัยสำคัญ ( $p<0.05$ )



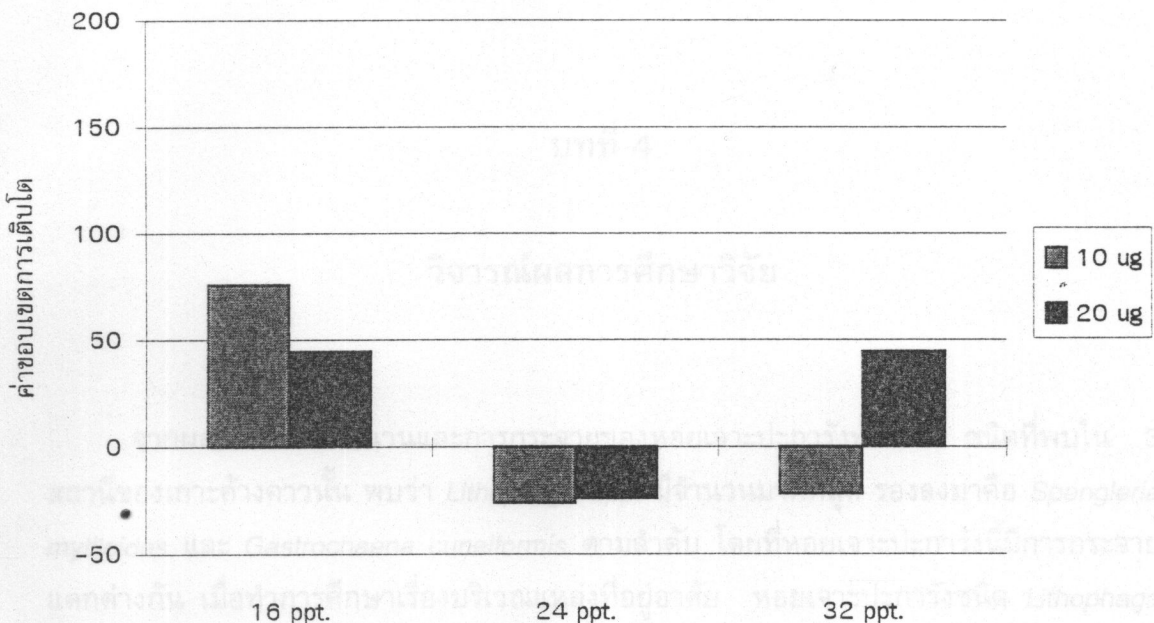
รูปที่ 3.11 ค่าของเขตการเติบโตและค่า O:N ratio ของหอยเจาะปะการัง *S. mytiloides*

ตารางที่ 3.8 ค่าเฉลี่ยการตอบสนองทางสรีรวิทยาต่อการเปลี่ยนแปลงความเค็มร่วมกับการเปลี่ยนแปลงปริมาณสารละลายน่องแดงที่ความเข้มข้นต่าง ๆ ของ *G. cuneiformis*

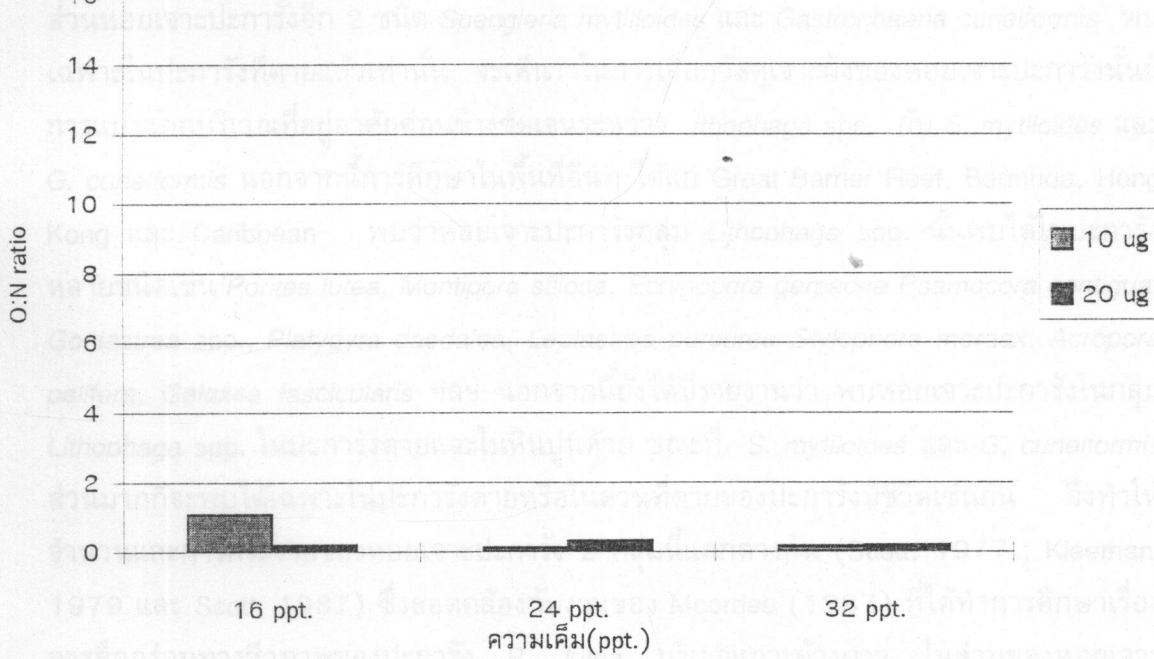
ความ เค็ม (ppt.)	ความเข้ม <sup>a</sup> <i>Cu<sub>2</sub>SO<sub>4</sub></i> (μg)	n	อัตรา การ หายใจ (mgO <sub>2</sub> / gdw/h)	อัตราการ ขับถ่าย (μgNH <sub>4</sub> <sup>-</sup> / N/gdw/h)	อัตราการ กรอง (l/gdw/h)	ประสิทธิ ภาพ	ขอบเขต การดูด <sup>b</sup> ซึม	O:N ratio
16	10	3	0.78	0.15	0.83	0.70	75.8	1.09
	s.d.		0.74	0.05	0.99	4.48	172.7	1.28
16	20	3	0.38	0.17	0.99	0.88	44.5	0.19
	s.d.		0.14	0.09	0.44	4.49	122.3	0.05
24	10	3	0.27	0.19	0.89	0.87	-26.4	0.12
	s.d.		0.14	0.07	0.50	0.15	11.7	0.06
24	20	3	0.35	0.19	0.88	0.84	-24.3	0.32
	s.d.		0.27	0.06	0.46	0.09	9.84	0.40
32	10	2	0.30	0.17	0.97	0.88	-22.1	0.17
	s.d.		0.21	0.07	0.85	0.16	3.61	0.16
32	20	3	0.38	0.17	0.99	0.86	44.5	0.19
	s.d.		0.46	0.16	0.40	0.04	16.91	0.31

เมื่อทำการทดสอบทางสถิติ เพื่อหาความแตกต่างของค่าขอบเขตการเติบโต (SFG) และ O:N ratio ที่กลุ่มการทดลองต่าง ๆ ของ *G. cuneiformis* พบว่าค่า SFG ไม่มีความแตกต่างในทุกกลุ่ม แต่ O:N ratio มีความแตกต่างกันอย่างมีนัยสำคัญ ( $p<0.05$ )

*G. cuneiformis*



*G. cuneiformis*



รูปที่ 3.12 ค่าของเบนเซตการเดินโดดและค่า O:N ratio ของหอยเจาะปะการัง *G. cuneiformis*

## บทที่ 4

### วิจารณ์ผลการศึกษาวิจัย

จากผลการศึกษาจำนวนและการกระจายของหอยเจาะปะการังทั้ง 3 ชนิดที่พบใน 3 สถานีของเกาะค้างคาวนัน พบว่า *Lithophaga* spp. มีจำนวนมากที่สุด รองลงมาคือ *Spengleria mytiloides* และ *Gastrochaena cuneiformis* ตามลำดับ โดยที่หอยเจาะปะการังนี้มีการกระจายแตกต่างกัน เมื่อทำการศึกษาเรื่องบริเวณแหล่งที่อยู่อาศัย หอยเจาะปะการังชนิด *Lithophaga* spp. นั้น พบได้ในปะการังมีชีวิตหลายชนิด คือ *Porites lutea*, *Platygyra daedalea*, *Leptastrea parparea* *Galaxea fascicularis* โดยจะพบมากที่สุดใน *P. lutea* ซึ่งปะการังกลุ่มนี้มีรูปแบบเป็นปะการังก้อน (massive form) หรือกึ่งก้อน (submassive form) ซึ่งจากการสำรวจนี้ไม่พบว่ามีหอยเจาะปะการังแบบแผ่น (tabulate form) หรือแบบกิ่งก้าน (branching form) อญ্তเลย ส่วนหอยเจาะปะการังอีก 2 ชนิด *Spengleria mytiloides* และ *Gastrochaena cuneiformis* พบเฉพาะในปะการังที่ตายแล้วเท่านั้น จะเห็นว่าในการเลือกวัสดุเจาะผิงของหอยเจาะปะการังนี้มีการแบ่งแยกบริเวณที่อยู่อาศัยค่อนข้างชัดเจนระหว่าง *Lithophaga* spp. กับ *S. mytiloides* และ *G. cuneiformis* นอกจากนี้การศึกษาในพื้นที่อื่นๆ ได้แก่ Great Barrier Reef, Bermuda, Hong Kong และ Caribbean พบว่าหอยเจาะปะการังกลุ่ม *Lithophaga* spp. นั้นพบได้ในปะการังหลายชนิดเช่น *Porites lutea*, *Montipora stillosa*, *Echinopora gemacea* *Psamocora contigua*, *Goniastrea* spp., *Platygyra daedalea*, *Leptastrea purpurea* *Stylophora mordax*, *Acropora palifera*, *Galaxea fascicularis* ฯลฯ นอกจากนี้ยังได้มีรายงานว่า พบหอยเจาะปะการังในกลุ่ม *Lithophaga* spp. ในปะการังตายและในพื้นปูนด้วย ขณะที่ *S. mytiloides* และ *G. cuneiformis* ส่วนมากก็จะพบได้เฉพาะในปะการังตายหรือในส่วนที่ตายของปะการังมีชีวิตเช่นกัน จึงทำให้จำนวนและการกระจายของหอยเจาะปะการัง 2 กลุ่มนี้แตกต่างกัน (Scott, 1977 ; Kleeman, 1979 และ Scott, 1987) ซึ่งสอดคล้องกับงานของ Moordee (1987) ที่ได้ทำการศึกษาเรื่องการสืักกร่อนทางชีวภาพของปะการัง *P. lutea* บริเวณเกาะค้างคาว ในส่วนของหอยเจาะปะการังนั้นพบว่าปะการังในกลุ่ม *Lithophaga* spp. มีการกระจายแบบเป็นกลุ่มก้อนและบางชนิด เช่น *Lithophaga lima* นั้นพบได้ทั้งในปะการังมีชีวิตและปะการังตาย ส่วน *S. mytiloides* และ *G. cuneiformis* พบในปะการังตายหรือในส่วนที่ตายของปะการังมีชีวิต การที่พบ *Lithophaga* spp. ได้ทั้งในปะการังมีชีวิตและปะการังตาย หมายความว่าหอยเจาะปะการังชนิด *Lithophaga* spp.

นั้นมีความเฉพาะในการเลือกพื้นที่ลงเกาที่หลากหลายกว่าหรือมีการแก่งแย่งได้กว่า จึงพบว่า *Lithophaga spp.* มีการกระจายในหลายบริเวณกว่า *S. mytiloides* และ *G. cuneiformis* ซึ่งก่อนที่จะสรุปได้นั้นจะต้องมีการทำการศึกษาถึงเรื่องลำดับของกระบวนการเปลี่ยนแปลงแทนที่ในก้อนประการังและการลงเกาของหอยเจาะประการังทั้ง 2 กลุ่มนี้อย่างแน่นอนเนื่องจากความแตกต่างของประการังมีชีวิตและประการังตายที่เป็นแหล่งที่อยู่อาศัยของหอยนั้นมีช่วงเวลาเป็นตัวกำหนด

เมื่อได้เปรียบเทียบผลการศึกษารังนี้กับรายงานของ Tsuchiya et.al (1986) ที่ได้ทำการศึกษาเรื่องการกระจายของสัตว์เจ้าฟังขนาดใหญ่รอบชายฝั่งเกาะสีชังและ Panichpol et.al (1996) ที่ศึกษาถึงการกระจายของหอยเจาะประการังที่พบในประการังชนิด *Porites lutea* ในปี 1994 ซึ่งทั้ง 3 งานเป็นงานจากบริเวณเกาะค้างคาเว่นเดียวกัน พบว่าจำนวนหอยเจาะประการังที่พบในแต่ละงานนับตั้งแต่ปี 1986 - 1996 มีความแตกต่างกันโดยพิจารณาจากความหนาแน่นใน 1 quadrat ซึ่งจำนวนที่แตกต่างกันนี้ไม่สามารถกล่าวอย่างแน่นชัดได้ว่ามีการเพิ่มขึ้นหรือลดลง ทั้งนี้ เพราะบริเวณที่ทำการสำรวจในแต่ละสถานีนั้นมีความแตกต่างกันในส่วนของบริเวณที่วางแนวของ line transect และจำนวนของ line transect และเนื่องจากการที่ไม่ได้แยกชนิดอย่างชัดเจนว่าเป็น *Lithophaga spp.*, *Spengleria mytiloides* หรือ *Gastrochaena cuneiformis* เป็นสัดส่วนเท่าใดในการศึกษาแต่ละครั้ง จึงไม่สามารถสรุปได้ว่าแต่ละชนิดมีการเปลี่ยนแปลงจำนวนอย่างไร และผลการศึกษาพบว่าหอยเจาะประการังที่ทำการศึกษามีแหล่งที่อยู่อาศัยที่แตกต่างกันคือ ในประการังมีชีวิตกับประการังตาย ดังนั้นความหนาแน่นและจำนวนของหอยเจาะประการังจึงน่าจะขึ้นอยู่กับการเปลี่ยนแปลงสัดส่วนของประการังมีชีวิตและประการังตายด้วย เป็นที่น่าสังเกตว่ารูปแบบการกระจายในแต่ละสถานีจากการเปรียบเทียบผลการศึกษาทั้ง 3 ครั้ง พบว่ามีรูปแบบการกระจายที่ใกล้เคียงกันโดยพิจารณาจากภาพการกระจายของแต่ละสถานีในทั้ง 3 งานแต่จะแตกต่างกันในด้านความหนาแน่น(ตัว/ตารางเมตร) โดยที่ในการศึกษาของ Panichpol et.al. (1996) นั้นได้ทำการศึกษาหอยเจาะประการังที่อยู่เฉพาะในประการัง *P. lutea* ในขณะที่การศึกษานี้และการศึกษาของ Tsuchiya et.al .(1986) ทำในประการังทุกชนิดที่พบใน line transect และพื้นที่น้อยกว่า ไม่สามารถรูปแบบการกระจายก็ยังมีความใกล้เคียงกัน ซึ่งอาจเนื่องมาจากการบริเวณเกาะค้างคาเว่นนี้มีประการัง *P. lutea* เป็นชนิดที่เด่น และหอยเจาะประการังที่พบล้วนใหญ่กว่าในประการังชนิดนี้ด้วย ดังนั้นการกระจายของหอยเจาะประการังจึงน่าจะขึ้นอยู่กับการกระจายของประการังชนิด *P. lutea* จึงทำให้ผลการศึกษาทั้ง 3 ครั้งให้ผลที่ใกล้เคียงกัน ซึ่งอาจเนื่องมาจากความเฉพาะตัวของการเลือกที่อยู่ของหอยเจาะประการังด้วย ได้มีการตั้งข้อสันนิษฐานในหลายประเด็น และได้มีการทำการทำทดลองเพื่อยืนยันข้อสันนิษฐานต่างๆ นั้น ได้แก่ Mokady et al.(1991) ได้ศึกษาความจำเพาะในการเลือกประการังที่ลงเกาและเกิดภาวะเปลี่ยนแปลงโครงสร้างในหอย *Lithophaga lessepsiana* ในปี 1991 ผลการศึกษาใน *L. lessepsiana*

ที่ได้คือ มีการเลือกลงเกาะตั้งแต่ตัวอ่อนระยะวิลีเจอร์และมีการเปลี่ยนแปลงโครงสร้างต่อไปโดยใช้การรับสัมผัสสารเคมี (chemoreception) ของปัจจัยที่มีอิทธิพลต่อการเปลี่ยนแปลงโครงสร้างทำให้สามารถดำรงชีวิตเดิมได้ไปได้ ซึ่งได้แก่เนื้อ (texture) ของโครงร่างบุคลากรและสารเคมีที่พบในบุคลากร นอกจากความเฉพาะในการลงเกาะของหอยเจ้าบุคลากรโดยมีเนื้อของโครงร่างหรือสารเคมีเป็นตัวชักนำแล้วหอยเจ้าบุคลากรยังต้องมีความด้านทันต่อการย่อข้อของ polyp มีความสามารถในการรักษาป้ากรูให้คงอยู่จากการปิดทับของบุคลากรที่ได้ขึ้นใหม่ และมีความด้านทันต่อเข็มพิษ (nematocyst) ของบุคลากรซึ่งอาจมีการสัมผัสนับท่อหายใจ (siphon) ซึ่งลักษณะเหล่านี้จะต่างกันในชนิดบุคลากรและชนิดของหอย (Scott, 1977) ดังนั้nhoyเจ้าบุคลากรที่พบได้ในบุคลากรมีชีวิตหลายชนิด จึงน่าจะมีการปรับตัวและพัฒนาการที่สูงกว่า จากการศึกษาของ Soliman (1969) และ Bromley (1978) กล่าวว่าการเลือกที่อยู่ของหอยเจ้าบุคลากรขึ้นกับพลังงานที่ใช้ หอยเจ้าบุคลากรจะเลือกอยู่ในบริเวณที่ใช้พลังงานน้อยที่สุดคือในบริเวณที่มีความแรงของคลื่นน้อยเพื่อลดพลังงานในการด้านแรงของคลื่นและหอยที่มีรูปทรงต่างกันก็จะมีแรงด้านกับแรงกระทำของน้ำต่างกันด้วย ดังนั้nhoyเจ้าบุคลากรจึงจะเลือกอยู่ในบุคลากรที่ใช้พลังงานน้อยที่สุดในการดำรงชีวิต เช่น การเจาะ การกรอง หรือการใช้พลังงานในการด้านแรงด้านน้ำ นอกจากนี้การเจาะผ่านของหอยเจ้าบุคลากรน่าจะขึ้นกับระดับความลึก ความสูงจากพื้นหรือตำแหน่งการวางตัวในก้อนบุคลากรด้วยเนื่องจากในการศึกษาครั้งนี้ได้สังเกตบุคลากรที่พบว่ามีหอยเจ้าบุคลากรอาศัยอยู่นั้น ตำแหน่งของการเจาะผ่านที่พบมีได้มีการกระจายสม่ำเสมอตลอดทั้งก้อนบุคลากรแต่จะพบเป็นกลุ่มในส่วนใดส่วนหนึ่งของก้อนบุคลากรซึ่งต่างกับการลงเกาะของเพรียงหิน (barnacle) ที่มีการลงเกาะอย่างหนาแน่นในทุกบริเวณของหิน ดังนั้น จึงน่าจะมีปัจจัยอื่น ๆ อีกที่เป็นตัวกำหนดรูปแบบการกระจายของหอยเจ้าบุคลากรในวัสดุต่าง ๆ ซึ่งต้องมีการศึกษาต่อไป อย่างไรก็ตามความเฉพาะในการลงเกาะของหอยเจ้าบุคลากรนั้น ถือว่าเพื่อเป็นการหลีกเลี่ยงหรือลดการแก่งแย่งทรัพยากร ในกรณีของหอยเจ้าบุคลากรนี้พื้นที่ลงเกาะซึ่งเป็นโครงสร้างหินปูนนั้นถือเป็นปัจจัยสำคัญ การที่หอยเจ้าบุคลากรต่างชนิดกันมีความเฉพาะในการเลือกบุคลากรต่างกัน จึงเป็นการจัดสรรบทบาทในระบบมิเวศเพื่อความอยู่รอดตามกฎการคัดเลือกตามธรรมชาติ (Scott, 1977 อ้างถึง Gause, 1934)

จากการศึกษาความสัมพันธ์ระหว่างขนาดของป้ากรูที่หอยอาศัยอยู่และขนาดตัวหอยพบว่ามีความสัมพันธ์กันในระดับต่ำ ดังนั้นในการสำรวจหอยเจ้าบุคลากรจึงไม่อาจประมาณขนาดที่แน่นอนจากขนาดของป้ากรูได้ ซึ่งน่าจะเป็นผลมาจากการลักษณะของกลไกการเจาะผ่านตั้งแต่ระยะตัวอ่อนเมื่อเริ่มการลงเกาะแล้วมีการเปลี่ยนแปลงโครงสร้าง และขยายขนาดตัว มาจนถึงระยะตัวเดิมวัยซึ่งกลไกการเจาะผ่านนั้นมีด้วยกันหลายแบบคือ เกิดจากพลังงานกลโดยการขยับตัวหรือเปลือกหรืออาศัยแรงขับดันน้ำภายในห้องน้ำ ก็จะทำการใช้สารเคมีบางชนิด หรือเป็นผลมาจากการวิธีร่วมกัน (Soliman, 1969 และ Fang and Shen, 1988)

จากสมการ allometric ของหอยเจาะปะการังระหว่างความยาวกับน้ำหนักตัวรวมพบว่าที่ความยาวเปลือกเท่ากันนั้นหอยเจาะปะการังชนิด *L. malaccana* จะมีน้ำหนักมากที่สุด รองลงมาคือ *S. mytiloides* และ *G.cuneiformis* ตามลำดับ หมายความว่า *L. malaccana* นั้นจะเป็นกลุ่มที่รับประโภช์ได้จากบริเวณแหล่งที่อยู่อาศัยได้ดีกว่า *S. mytiloides* และ *G. cuneiformis* ตามลำดับ ซึ่งประโภช์ที่กล่าวมานี้อาจเป็นความเหมาะสมของปัจจัยสิ่งแวดล้อม หรือความสามารถในการแกร่งแย่งอาหารและพื้นที่ลงapeake ค่าของ  $r^2$  ที่ได้มีค่าต่ำทำให้สมการมีความเบี่ยงเบนไปจากเส้นตรงซึ่งอาจเนื่องมาจากหอยเจาะปะการังมีน้ำอุ่นในตัวค่อนข้างมากจึงอาจเกิดความผิดพลาดเกิดขึ้นได้ในระหว่างการซึ่งน้ำหนักและเปลือกหอยเจาะปะการังทั้ง 3 ชนิดนี้มีน้ำหนักเบาเนื่องจากเป็นเปลือกที่เบาบาง ดังนั้นน้ำหนักรวมของหอยเจ้าไม่แตกต่างไปจากน้ำหนักเนื่องจากน้ำหนัก หอยเจาะปะการัง 2 ชนิดหลังคือ *S. mytiloides* และ *G. cuneiformis* มีลักษณะที่เปลกกว่าหอย 2 ฝาทั่วไปคือ ตัวมีลักษณะกลม สำหรับ *G. cuneiformis* นั้นมีเนื้อเกินขนาดเปลือกที่มีขนาดเล็กกว่า ส่วน *S. mytiloides* มีลักษณะเปลือกกลมหุ้มเกือบหมดทั้งตัวมีเนื้ออยู่น้อย นอกเหนือนี้ในการศึกษาได้ทำการเก็บตัวอย่างเพียงครั้งเดียวและไม่มีจำนวนช้าเนื่องจากนัญหาในการเก็บตัวอย่างที่ต้องทุบก้อนปะการังเพื่อให้ได้หอยมาทำการศึกษา ซึ่งสมการ allometric โดยทั่วไปจะอยู่ในรูปของกำลังสามเนื่องจากเป็นผลมาจากการวัดใน 3 มิติของตัวหอยได้แก่ ความกว้าง ความยาว และความหนา ดังนั้นมือพิจารณาจากการศึกษาในครั้งนี้ ค่าที่ได้ในสมการอาจมีความคลาดเคลื่อนในช่วงกว้าง จึงน่าจะมีการพิจารณาถึงวิธีการที่เหมาะสมหรือมีการทำการศึกษาเพิ่มเติมต่อไปอีก

อัตราส่วนเพศระหว่างเพศผู้และเพศเมียของหอยเจาะปะการังทั้ง 3 ชนิดเมื่อทำการทดสอบทางสถิติพบว่ามีค่าไกล์เดียง 1 ต่อ 1 แต่เมื่อพิจารณาลงไปในแต่ละชนิดนั้นจะมีค่าตั้งต่อไปนี้คือ อัตราส่วนเพศในหอยเจาะปะการัง *L. malaccana* ระหว่างตัวผู้ต่อตัวเมียเท่ากับ 1 ต่อ 0.76 ส่วนอัตราส่วนเพศในหอยเจาะปะการัง *S. mytiloides* เท่ากับ 1 ต่อ 0.58 และใน *G. cuneiformis* เท่ากับ 1 ต่อ 0.67 นั่นคือ *S. mytiloides* จะมีจำนวนตัวผู้ต่อตัวเมียประมาณ 2 ต่อ 1 ซึ่งมากกว่าอีก 2 ชนิดคือ *L. malaccana* และ *G. cuneiformis* การที่อัตราส่วนเพศในหอยเจาะปะการังเป็นเช่นนี้ อาจเนื่องมาจากเป็นลักษณะเฉพาะของหอยเจาะปะการังเป็นสัตว์ที่มีรูปแบบการดำรงชีวิตเป็นสัตว์เจาะฝังอยู่ในวัสดุต่าง ๆ และมีการสืบพันธุ์โดยการปล่อยเซลล์สืบพันธุ์มาผสมกันภายนอก ถึงแม้ว่าอัตราส่วนเพศระหว่างตัวผู้ต่อตัวเมียที่เท่ากับ 1 ต่อ 1 นั้นจะเป็นลักษณะปกติในกลุ่มประชากรสั่งมีชีวิตทั่วไป แต่ก็เป็นในระดับไดระดับหนึ่งของชีวิตซึ่งไม่สามารถคาดเดาได้ว่าจะเป็นอย่างเดียวกันหมดในสัตว์ทุกชนิด อัตราส่วนเพศนี้เป็นผลโดยตรงของศักยภาพในการสืบพันธุ์ของสัตว์ชนิดนั้น ๆ (Kreb, 1985) และในการหาอัตราส่วนเพศในการศึกษานี้พบว่ามีบางส่วนที่ไม่สามารถระบุเพศได้ (undifferentiate) จำนวนหนึ่งและเป็นการ

ทำเพียงครั้งเดียว ไม่มีจำนวนซ้ำในหอยเจาะปะการังหลายขนาด ค่าที่ได้จะอาจมีความคลาดเคลื่อนเนื่องจากมีความแปรปรวนของข้อมูลสูงในส่วนของขนาดและจำนวนหอยส่วนที่ไม่สามารถระบุเพศได้

ค่า BCI ของ *L. malaccana* ในช่วงเดือนพฤษภาคม มีค่าเพิ่มขึ้นอย่างชัดเจน จากเดือนแรกคือ เดือนมีนาคม และมีการเพิ่มขึ้นอีกในช่วงเดือนกรกฎาคม แต่ใน *G. cuneiformis* ตรอกกันข้ามคือ ช่วง 2 เดือนหลัง มีค่าลดลงจากเดือนแรกอย่างมีนัยสำคัญ ส่วน *S. mytiloides* นั้นไม่มีความแตกต่างในระหว่างช่วงเวลา ซึ่งความแตกต่างของค่า BCI ในหอยเจาะปะการังทั้ง 3 ชนิดนี้น่าจะมาจากการเปลี่ยนแปลงปัจจัยภายนอกที่ขึ้นกับฤดูกาล เพราะแต่ละชนิดมีรูปแบบการเปลี่ยนแปลงที่เฉพาะในชนิดนั้น ๆ และการเปลี่ยนแปลงที่เห็นได้ชัดในระหว่างเดือนแรกคือ เดือนมีนาคม กับอีก 2 เดือนหลังคือ พฤษภาคมและกรกฎาคมนั้น ความเปลี่ยนแปลงในช่วงเมษายน-พฤษภาคมเป็นช่วงของการเปลี่ยนจากฤดูร้อนไปเป็นฤดูฝนมีการเปลี่ยนแปลงความเค็มและอุณหภูมิลดลง (อานุภาพ พานิชผล 2539) ซึ่งค่า BCI นอกจากจะบอกถึงความอ้วนผอมของหอยแล้ว ค่า BCI ในรอบปียังสามารถนำไปพิจารณาถึงการสร้างเซลล์สีบพันธุ์ในหอยสองฝั่งด้วย โดยการพิจารณารวมกับดัชนีความสมบูรณ์เพศ ซึ่งช่วงเวลาการปล่อยเซลล์สีบพันธุ์ (spawn) นั้นมีผลต่อการวัดค่าข้อมูลการเดินโดยเป็นอย่างยิ่ง ถ้าระหว่างที่ทำการทดลองหอยมีการปล่อยเซลล์สีบพันธุ์ ค่าข้อมูลการเดินโดยที่วัดจากวิธีการในการศึกษานี้จะไม่สมบูรณ์เนื่องจากพลังงานที่ใช้ในการเดินโดยส่วนหนึ่งถูกนำไปใช้ในการสีบพันธุ์ หากพิจารณาในกรณีนี้แล้ว อาจจะกล่าวได้ว่า *L. malaccana* นั้นกำลังมีการพัฒนาเซลล์สีบพันธุ์ตั้งแต่เดือนมีนาคมถึงเดือนกรกฎาคม ในขณะที่ *G. cuneiformis* ได้มีการปล่อยเซลล์สีบพันธุ์ หลังจากเดือนมีนาคม จึงทำให้ค่า BCI ลดลง การที่หอยเจาะปะการังทั้ง 3 ชนิด มีการพัฒนาเซลล์สีบพันธุ์ในระยะเวลาต่างกันนั้นก็จะมีช่วงเวลาการปล่อยเซลล์สีบพันธุ์ต่างกันด้วย ซึ่งอาจเป็นการจัดสรรเพื่อลดการแก่งแย่งอาหารหรือพื้นที่ในการลงเกะของตัวอ่อนซึ่งเป็นปัจจัยจำกัดของหอยเจาะปะการังอย่างไรก็ตามในการพิจารณาถึงการพัฒนาเซลล์สีบพันธุ์นั้นจะต้องทำในรอบ 1 ปี เพื่อให้ได้ผลที่แน่นอนและชัดเจน

ในส่วนของการตอบสนองทางสรีริวิทยาของหอยเจาะปะการังต่อปริมาณตะกอนแขวนลอยซึ่งในที่นี้ใช้แบ่งมัน成ปะหลังเป็นด้วยแทนของตะกอนแขวนลอย ผลที่ได้จากการวัดค่าการตอบสนอง 2 ส่วนคือ อัตราการหายใจและอัตราการกรองดังนั้นจึงอาจเป็นการเร็วที่จะสรุปผลการทดลองจากการค่าการตอบสนองทั้งสองเนื่องจากเป็นเพียงส่วนหนึ่งของกระบวนการทางสรีริวิทยาทั้งหมด อย่างไรก็ตามการตอบสนองที่ได้มีการแสดงออกเป็น 2 ลักษณะคืออย่างแรกมีอัตราการหายใจสูงขึ้นและมีอัตราการกรองต่ำมากคือการตอบสนองใน *S. mytiloides* และ *G. cuneiformis* ที่มีอัตราการหายใจสูงขึ้นเป็น 49.26 % และ 7.76 % อัตราการกรองลดลงเท่า

กับ 16.9 % และ 27.8 % ตามลำดับ หมายความว่าหอยเจาะปะการังตอบสนองต่อตะกอนแขวนลอยในกรณีที่เป็นสิ่งรบกวน อัตราการหายใจสูงขึ้นหมายถึงหอยเจาะปะการังจะต้องมีการใช้พลังงานเพิ่มขึ้นเพื่อกำจัดสิ่งรบกวนนั้น เช่นในการศึกษาของ Axiak and George (1987) ได้ทำการศึกษาถึงการตอบสนองทางชีวพลังงาน (bioenergetics) ของหอย 2 ฝ่าย *Venus verrucosa* ต่อปริโตรเลียมไฮโดรคาร์บอน (PHC) ผลการศึกษาแสดงค่าการหายใจที่เพิ่มขึ้น และการกรองที่ลดลง อันเป็นผลมาจากการที่ PHC ไปรบกวนระบบการทำงานตามปกติของขนเซลล์ (cilia) และ PHC ทำให้ basal metabolic rate เพิ่มขึ้น ดังนั้นการตอบสนองในส่วนนี้คือว่าหอยเจาะปะการังอยู่ในสภาวะเครียด อัตราการกรองที่ลดลงหมายความถึงการที่หอยเจาะปะการังหลีกเลี่ยงที่จะนำตะกอนแขวนลอยอันเป็นสิ่งรบกวนเข้าเพิ่มในร่างกายจึงต้องลดอัตราการกรุ่นลง หรืออีกลักษณะหนึ่งคือหอยได้รับประโยชน์จากตะกอนแขวนลอยเหล่านั้น หมายความว่าแบ่งที่ใช้เป็นตัวแทนของตะกอนแขวนลอยนั้น หอยสามารถนำไปใช้ได้กว่าแพลงก์ตอนพืช คือหอยไม่ต้องกรองเข้าไปเป็นปริมาณมากแต่ได้พลังงานสูง ค่าอัตราการหายใจสูงขึ้นก็คือ ความแตกต่างของพลังงานที่ใช้ระหว่างการย่อยแพลงก์ตอนพืชและการสลายคาร์บอนไฮเดรตโมเลกุลใหญ่โดยที่อัตราการกรองไม่เปลี่ยนแปลงแสดงว่าหอยยังคงมีการกรองเอาแบ่งเข้าไปเพื่อเป็นแหล่งพลังงาน จึงทำให้อัตราการกรองเปลี่ยนแปลงไปน้อยมาก ซึ่งได้แก่ *L. malaccana* ที่มีอัตราการหายใจเพิ่มขึ้น 71.1 % ในขณะที่อัตราการกรองค่อนข้างคงที่หรือมีการลดลงเพียง 1.4 % ซึ่งคล้ายกับกรณีของเพรียงเจ้าไม้ *Teredo navalis* สัตว์ชนิดนี้สามารถลืนและย่อยสลายไม้ได้ในขณะที่กำลังชุดไม้ไปเป็นทางยาว โดยมีการศึกษาทางสรีวิทยาและพบว่า 80 % ของเซลล์โลสในไม้ถูกย่อยสลาย (MacGinitie and MacGinitie, 1968) จึงอาจสรุปได้ว่า *L. malaccana* มีการบรับตัวต่อตะกอนแขวนลอยประเภทแบ่งมันสำปะหลังได้ดีกว่า *S. mytiloides* และ *G. cuneiformis* เพื่อให้ได้ผลที่ชัดเจนยิ่งขึ้น การตรวจสอบโดยใช้วิธีการทางสรีวิทยาเช่น ค่าของเขตของการเติบโต หรือค่า O:N ratio ที่มีความจำเป็นในการอธิบายสภาวะของสิ่งมีชีวิตที่นำมาทำการทดลองขณะนั้นได้

การตอบสนองต่อการเปลี่ยนแปลงความเค็มใน *L. malaccana* นั้นมีอิทธิพลณาค่าของเขตการเติบโตแล้วพบว่า ที่ความเค็ม 32 ppt. มีค่าของเขตการเติบโตสูงสุดคือ 182.4 และลดลงเป็น 168.5 และ 164.5 ที่ความเค็ม 24 ppt. และ 16 ppt. ตามลำดับ ซึ่งผลที่ได้มีความใกล้เคียงกับค่าของเขตการเติบโตใน *S. mytiloides* ที่มีค่าสูงสุดที่ความเค็ม 32 ppt. เช่นกัน ส่วนค่า O:N ratio นั้นไม่มีความแตกต่างระหว่างกลุ่มในทั้ง 2 ชนิด จากการพิจารณาค่าของเขตการเติบโตสรุปได้ว่าที่ความเค็ม 32 ppt. นั้นเป็นความเค็มที่มีความเหมาะสมกับการดำเนินชีวิตของหอยเจาะปะการังชนิด *L. malaccana* และ *S. mytiloides* มากกว่าที่ความเค็ม 24 ppt. และ 16 ppt. เมื่อจากหอยเจาะปะการังนี้มีเป็นสัตว์อาศัยอยู่ในปะการัง ซึ่งปะการังเป็นสิ่งมีชีวิตมีความสามารถดำเนินชีวิตอยู่ได้ในช่วงความเค็มแคบ (stenohaline) ที่ระดับความเค็มในบริเวณ

แนวปะการังของเก้าสีซัง ซึ่งหมายความกับการดำรงชีวิตของปะการังนั้น มีค่าประมาณ 29 - 33 ppt. (สถาบันวิจัยทรัพยากรทางน้ำ 2538) ดังนั้นที่ระดับความเค็มใกล้เคียงกัน จึงทำให้ค่าขอบเขตการเติบโตมีค่าสูงสุด เมื่อความเค็มลดต่ำลงกระแทนหันมีผลทำให้อัตราการหายใจอัตราการกรองต่ำลงเนื่องจากการปรับตัวเมื่อมีสิ่งแวดล้อมไม่เหมาะสมอย่างพยายามลดกิจกรรมเพื่อรักษาพลังงานสำหรับการปรับสภาพร่างกาย โดยในกลุ่มนี้จะสามารถปรับตัวเข้าสู่สภาวะปกติอีกครั้งที่ระดับความเค็มใหม่ (Bayne, 1976 อ้างถึง Theede, 1963)- จากการปรับของเหลวในเซลล์ โดยการควบคุมความเข้มข้นของกรดอะมิโน산ที่ละลายอยู่และกรดอะมิโนจำแนกประจุอนิทรีย์ซึ่งจะทำหน้าที่เปลี่ยนแปลงสภาวะของโมดิก ไลโโซโซมและออร์การ์แนลภายในเซลล์โดยทำการย่อยสลายโปรตีนและมีการปลดปล่อยกรดอะมิโนออกม้า (Bayne, 1976) ลักษณะการตอบสนองต่อความเค็มของหอยนี้มีการเปลี่ยนแปลงได้ในช่วงกว้างขึ้นอยู่กับบริเวณที่หอยนั้นาอาศัยอยู่และมีการปรับตัวเข้าสู่สภาวะการเปลี่ยนแปลงใหม่ได้ภายใน 4 - 7 สัปดาห์ ซึ่งการปรับตัวนี้สามารถอธิบายได้โดยกระบวนการปรับสภาพ (Levinton, 1982 อ้างถึง Bohle, 1972 Remane and Schlieper, 1971 และ Theede, 1963) ส่วนใน *G. cuneiformis* ที่มีค่าขอบเขตการเติบโตเป็นลบหมายความว่า *G. cuneiformis* อยู่ในสภาวะเครียด ค่าต่าง ๆ ที่ได้จึงมีความสับสนไม่สามารถนำมาเป็นตัวแทนในการพิจารณาถึงค่าการตอบสนองในสภาวะปกติได้ จากการทดลองนี้แสดงว่า *G. cuneiformis* เป็นหอยเจาะปะการังที่มีความไวต่อการเปลี่ยนแปลงความเค็มมากที่สุดเนื่องจากค่าขอบเขตการเติบโตที่ได้มีค่าเป็นลบแสดงถึงความเครียดในระหว่างการทดลองทั้ง ๆ ที่ได้มีการปรับสภาพและจัดการทดลองเหมือนกับ *L. malaccana* และ *S. mytiloides*

ค่าการตอบสนองทางสีริวิทยาต่อการเปลี่ยนแปลงความเข้มข้นของสารละลายทองแดง  $Cu_2SO_4$  ใน *L. malaccana* และ *S. mytiloides* มีค่าขอบเขตการเติบโตสูงสุดที่ 10 ไมโครกรัมต่อลิตร จากผลการทดลองที่ได้นี้เห็นว่าความเข้มข้นสูงสุดของสารละลาย  $Cu_2SO_4$  ที่ใช้ในการทดลองนี้คือ 20 ไมโครกรัมต่อลิตรยังไม่เป็นระดับความเข้มข้นที่สูงพอจะทำให้เห็นการตอบสนองทางสีริวิทยาอย่างชัดเจนในฐานะที่เป็นสิ่งรบกวน อีกทั้งทองแดงยังเป็นธาตุปริมาณน้อยที่มีความจำเป็นต่อกระบวนการควบคุมสมดุลในหอยสองฝ่ายครอบครัว Mytilidae (Beeby, 1993) ดังนั้นการที่หอยเจาะปะการังมีค่าการเติบโตสูงสุดที่ระดับความเข้มข้น 10 ไมโครกรัมต่อลิตรนั้นอาจเป็นไปได้ที่สารละลาย  $Cu_2SO_4$  ความเข้มข้น 10 ไมโครกรัมต่อลิตรนั้นเป็นปริมาณที่เหมาะสมแก่การนำเสนอไปใช้ในกระบวนการของร่างกายได้แล้วได้มีการทดลองเพื่อหาปริมาณโลหะปริมาณน้อยซึ่งมีทองแดงรวมอยู่ด้วยในส่วนเปลือกและเนื้อเยื่อของหอยแมลงภู่ *Mytilus edulis* จากบริเวณต่าง ๆ พบร่วมค่าที่ได้อยู่ในช่วงตั้งแต่ 2-26 ไมโครกรัมต่อกิโลกรัมของน้ำหนักแห้ง แต่ปริมาณที่พบมากในหอยที่มาจากการแหล่งคือประมาณ 9 ไมโครกรัมต่อกิโลกรัมของน้ำหนักแห้ง อย่างไรก็ตามปริมาณที่พบนี้ยังไม่สามารถระบุชัดว่าเป็นส่วนที่จำเป็นสำหรับ

ร่างกายหรือเป็นส่วนเกินที่สะสมปนเปื้อนอยู่ (Bayne , 1976 อ้างถึง Vinogradov, 1953 ; Brooks and Rumsby, 1965 ; Segar et.al, 1971 และ Graham, 1972) และเมื่อพิจารณาค่า O:N ratio แล้วพบว่าไม่มีความแตกต่างระหว่างความเข้มข้นในหอยเจ้าประจำรังแต่ละชนิดนั้นคือระดับความเข้มข้นของสารละลาย  $Cu_2SO_4$  ที่ใช้ในการทดลองของ *L. malaccana* และ *S. mytiloides* นั้น ไม่สูงพอที่จะเป็นการทำให้เกิดความเครียดจนเห็นผลการตอบสนองทางสรีรวิทยาได้อย่างชัดเจน ซึ่งความเข้มข้นนี้เป็นปริมาณทองแดงในส่วนที่ละลายน้ำของบริเวณศรีรacha มีค่าเท่ากัน 10.88 ไมโครกรัมตอลิตร ในช่วงเดือนพฤษภาคม-กรกฎาคม ซึ่งเป็นช่วงฤดูฝน (อรพินท์ จันทร์ผ่องแสง 2527) ดังนั้นปริมาณทองแดงส่วนละลายน้ำที่พบในบริเวณนี้ยังเป็นปริมาณที่ไม่เห็นผลการตอบสนองของหอยเจ้าประจำรังอย่างชัดเจนในความเค็มปกติ (32 ppt.) อย่างไรก็ตามจากการศึกษานี้สรุปได้ว่า *G. cuneiformis* เป็นชนิดที่มีความทนทานต่ำหรืออีกนัยหนึ่งคือมีความไวต่อสารละลายทองแดงเนื่องจากมีค่าขอบเขตการเติบโตเป็นลบและมีค่า O:N ratio ต่ำมาก (0.01-0.03)

ในส่วนของการตอบสนองทางสรีรวิทยาต่อผลรวมของการเปลี่ยนแปลงความเค็มกับสารละลาย  $Cu_2SO_4$  ที่ระดับความเข้มข้นต่าง ๆ นั้น ผลที่ได้ใน *L. malaccana* เมื่อพิจารณาโดยรวมค่าขอบเขตการเติบโตมีแนวโน้ม เพิ่มขึ้นเมื่อความเข้มข้นเพิ่มขึ้นและมีค่าลดลงเมื่อความเข้มข้นของสารละลาย  $Cu_2SO_4$  เพิ่มขึ้น เมื่อพิจารณาในแต่ละส่วนพบว่าค่าอัตราการกรองเป็นค่าที่มีอิทธิพลต่อการเปลี่ยนแปลงค่าขอบเขตการเติบโตมากที่สุด ซึ่งโดยทั่วไปเมื่อมีสิ่งรบกวนเกิดขึ้นหอยสองฝ่ายจะลดอัตราการกรองลงเนื่องจากกระบวนการเมtabolism ต่ำลงเป็นผลให้เหve ก่อทำหน้าที่กรองอาหารที่มากับน้ำได้ไม่ดีพอจึงทำให้อัตราการกรองลดลง (Naimo et.al, 1992 อ้างถึง Widdow et.al, 1979 , Aldridge et.al, 1987 และ Bayne et.al, 1982) ดังนั้นความเป็นพิษของโลหะทองแดงน่าจะมีความสัมพันธ์ต่อการเปลี่ยนแปลงระดับความเค็ม ความเป็นพิษของทองแดงจะมีค่ามากที่ความเค็มต่ำและค่อย ๆ ลดลงที่ความเค็มสูงขึ้นเนื่องจากทองแดงมีการเปลี่ยนรูปแบบการละลายเมื่อความเค็มเปลี่ยนไป การเปลี่ยนรูปแบบนี้ขึ้นอยู่กับหลายปัจจัย ซึ่งแตกต่างกันในแต่ละบริเวณ เช่น สภาพภูมิประเทศของชาติ องค์ประกอบของน้ำทะเลบริเวณนั้น (Patin, 1982 และ Newman, 1995) ซึ่งจากการศึกษาของอรพินท์ จันทร์ผ่องแสง (2527) เรื่องการสะสมของโลหะหนักตั้งแต่ปากแม่น้ำเจ้าพระยาถึงศรีรacha ในส่วนของทองแดงพบว่าความสัมพันธ์ระหว่างทองแดงและความเค็มนั้นค่อนข้างจะเป็นเส้นตรงที่มีลักษณะตรงข้ามกัน และงานของ Hungspreugs and Sirirattanachai (2524) ได้แสดงระยะที่ความเค็มลดลงมากในฤดูน้ำหลากนั้น ปริมาณโลหะทองแดงที่พบในหอยจะเพิ่มขึ้นถึง 5 เท่า เนื่องจากเมื่อความเค็มลดลงจะมีผลทำให้ แคลเซียมและแมกนีเซียมไออกอนน้อยในปริมาณน้ำทะเลหายฝั่งการแข่งขันระหว่างโลหะที่จะยึดเนื้อเยื่อมีน้อยลง โลหะปริมาณน้อยจึงมีโอกาสดึงหัวที่จะเข้าสู่หอย (อ้างตาม

ณัฐราตร์ ปภาสิทธิ และสมเกียรติ ปิยะธีรธิตวารกุล 2526 และ Hungspruegs et.al., 1989)

ตามปกติหอยสองฝ่ายจะต้องการทองแดงในปริมาณเล็กน้อยในการสร้างพันธะกับ metallothionein ในเนื้อเยื่อ โดยที่เมื่อทองแดงมีมากจนความเข้มข้นถึงระดับหนึ่ง ก็จะไปจับกับสารจำพวกโปรตีนเพื่อสร้างพันธะใหม่ให้ได้สารประกอบสำหรับใช้ในการรักษาสมดุลในร่างกาย หากทองแดงมีเพิ่มขึ้นมากจนไม่สามารถผลิต metallothionein มาสร้างพันธะได้ทัน การรักษาสมดุลก็จะถูกครอบครอง และการทำงานของไลโซโซม (lysosome) ก็จะเริ่มขึ้นโดยการย่อยสลายโปรตีนเพื่อมาจับกับทองแดงอิสระส่วนเกินนี้ เมื่อปริมาณทองแดงมาก การย่อยสลายโปรตีนก็มากขึ้นตามไปด้วย ทำให้อัตราการหายใจเนื่องจากการนำโปรตีนไปใช้ก็มากขึ้นตามไปด้วย และมีค่าขอบเขตการเติบโตลดลง (Beeby, 1993 อ้างถึง Bayne, 1989 , Bayne et.al, 1976 และ Koehn and Bayne, 1989) และจากการศึกษาของ Scott and Major (1972) นั้นก็พบว่าปริมาณของทองแดงมีส่วนทำให้อัตราการหายใจของหอยสองฝ่ายชนิด *M. edulis* มีค่าลดลง (อ้างตาม Thuberg et al., 1974) ส่วนใน *S. mytiloides* นั้นความแตกต่างของขอบเขตการเติบโตเห็นได้ไม่ชัดเจน แต่มีแนวโน้มว่าค่าที่สูงที่สุดจะอยู่ที่ความเค็ม 32 ppt. และที่ความเข้มข้น  $Cu_2SO_4$  ต่ำ ผลที่ได้ในหอยเจ้าประจำรัง *L. malaccana* หมายความว่าสารละลาย  $Cu_2SO_4$  จะมีความเป็นพิษต่อหอยเจ้าประจำรังในการทดลองเพิ่มขึ้นเมื่อความเค็มลดลง ที่ความเข้มข้นสูง ๆ มากกว่าความเข้มข้นต่ำ ๆ หรือผลที่ได้เป็นลักษณะเสริมกันระหว่างความเค็มที่ต่ำลงและปริมาณสารละลายทองแดงที่ความเข้มข้นสูงขึ้น (synergistic effect) แต่การที่ *S. mytiloides* นั้นมีค่าขอบเขตการเติบโตในแต่ละกลุ่มไม่แตกต่างกันอย่างมีนัยสำคัญนั้นเนื่องจากค่าที่เปลี่ยนแปลงไปอยู่ในช่วงแคบหรือมีการเปลี่ยนแปลงในระหว่างช่วงความเค็มและความเข้มข้นในแต่ละการทดลองน้อย โดยสรุปพบว่า *S. mytiloides* นั้นมีความทนทานต่อการเปลี่ยนแปลงในกรณีที่เป็นปัจจัยร่วมของความเค็มและสารละลายทองแดงมากที่สุด ซึ่ง Menzel (1979) กล่าวว่าผลการตอบสนองต่อการเปลี่ยนแปลงปัจจัยร่วมดังต่อไปนี้ 2 ปัจจัยหรือมากกว่านั้น ผลที่ได้จะมีลักษณะเสริมกัน ซึ่งการศึกษาตอบสนองในลักษณะของ sublethal effect นี้อาจจะเป็นการเตือนล่วงหน้าถึงความเปลี่ยนแปลงที่จะเกิดขึ้นต่อไปหากยังมีสิ่งรบกวนลักษณะดังกล่าวที่เกิดขึ้นอยู่

จากการศึกษานี้สรุปว่า *G. cuneiformis* เป็นหอยเจ้าประจำรังชนิดที่มีความไวต่อการเปลี่ยนแปลงปัจจัยสิ่งแวดล้อมมากที่สุด ซึ่งสอดคล้องกับจำนวนที่พบในธรรมชาติของบริเวณศึกษา หอยชนิดนี้พบเป็นจำนวนมากน้อยเมื่อเทียบกับ 2 ชนิดแรกโดยการประเมินจากการศึกษาในภาคสนามและจากรายงานของ Neilson (1986) อีกทั้งเป็นชนิดที่มีความเฉพาะในการเลือกที่อยู่โดยจะพบเฉพาะในประการaty เท่านั้น ซึ่งกล่าวได้ว่า *G. cuneiformis* เป็นหอยเจ้าประจำรัง

ที่จัดเป็นชนิดหายาก (rare species) มีความทันท่วงต่อการเปลี่ยนแปลงสิ่งแวดล้อมต่าง ๆ ต่า  
หรือเป็นชนิดที่มีความอ่อนแอดังนั้นจึงถือว่าเป็นหอยเจาะปะการังที่มีความไวต่อการเปลี่ยน  
แปลงความเค็มและสารละลายนองแรงมากที่สุด

การที่หอยมีความไวหรือความด้านทานต่อการเปลี่ยนแปลงสิ่งแวดล้อมที่ต่างกันนั้นสามารถนำไปใช้ประโยชน์ในการปฎิบัติได้ก่อผลคือ การนำไปพิจารณาถึงสภาพมลภาวะเบรียบเที่ยบในบริเวณเดียวกันที่มีหอยเจ้าประจำรังเหล่านี้อาศัยอยู่แต่มีระยะเวลาต่างกัน หากพบว่ามีการเปลี่ยนแปลงจำนวนตัวต่อพื้นที่ประจำรังตายของ *G. cuneiformis* เมื่อเวลาผ่านไปโดยที่จำนวนของประจำรังตายเป็นเท่าเดิมหรือมีการเปลี่ยนแปลงไปน้อยมากก็อาจมองเป็นแนวทางหนึ่งที่ใช้ในการตรวจสอบสภาพมลพิษโดยมุ่งศึกษาในส่วนของประจำรังตายในพื้นที่นั้น ๆ ในกรณีที่มายความถึงว่าเมื่อมีมลพิษเกิดขึ้นมีผลกระทบต่อประจำรังและหอยเจ้าประจำ โดยที่หอยเจ้าประจำจะต้องเป็นสิ่งมีชีวิตที่ได้รับผลกระทบจากมลพิษนี้ก่อนประจำนั้นคือหอยเจ้าประจำมีความทนทานต่ำกว่าตัวประจำซึ่งสามารถใช้ชีวิตรักษาในทางกลับกันเมื่อพิจารณาโดยรวมจากการทดลองทั้งหมดในการศึกษาทางสุริวิทยาคือ การตอบสนองต่อปริมาณตะกอนแขวนลอย การตอบสนองต่อการเปลี่ยนแปลงความเค็ม การตอบสนองต่อการเปลี่ยนแปลงความเข้มข้นของสารละลายน่องแดงและการตอบสนองต่อผลกระทบรวมของการเปลี่ยนแปลงความเค็มและความเข้มข้นของสารละลายน่องแดง ร่วมกับการศึกษาทางนิเวศวิทยาได้แก่ บริเวณที่อยู่อาศัยและการกระจายแล้ว อาจกล่าวได้ว่าหอยเจ้าประจำที่มีความสามารถในการปรับตัวต่อการเปลี่ยนแปลงสิ่งแวดล้อมได้มากที่สุดได้แก่ *L. malaccana* เนื่องจากเป็นชนิดที่มีการปรับตัวได้ดีต่อปริมาณตะกอนแขวนลอย และมีการตอบสนองต่อการเปลี่ยนแปลงความเค็ม และสารละลายน่องแดงในลักษณะต่าง ๆ ได้ดีดังที่ปรากฏในผลการทดลองโดยพิจารณาจากค่าของเขตการเดินโดดและ O:N ratio และจากการศึกษาทางนิเวศวิทยาพบว่าหอยชนิดนี้สามารถอยู่ได้ทั้งในประจำมีชีวิตและประจำตาย ดังนั้น *L. malaccana* จึงเป็นหอยเจ้าประจำที่มีการปรับตัวและมีความสามารถเมื่อมีการเปลี่ยนแปลงสิ่งแวดล้อมได้ดีกว่า *S. mytiloides* และ *G. cuneiformis* เหมาะสมที่จะนำไปใช้ตรวจสอบการเปลี่ยนแปลงสิ่งแวดล้อมของแนวประจำรังได้ทั้งในบริเวณเดียวกันและต่างบริเวณกันในเวลาเดียวกัน เนื่องจาก *L. malaccana* มีการกระจายอย่างกว้างขวางทั้งในประจำมีชีวิตและประจำตาย พบรได้ในหลายพื้นที่และเป็นตัวแทนในการทดลองเรื่องการตอบสนองต่อมลพิษขั้นต่อ ๆ ไปเนื่องจากมีความไวในการตอบสนองที่เห็นความเปลี่ยนแปลงในระดับต่าง ๆ ได้ชัดเจนโดยที่ช่วงของการตอบสนองนั้นจะขึ้นอยู่กับปัจจัยจำกัด (limiting factor) ในธรรมชาติของหอยเจ้าประจำอาทิเช่น ความเค็ม อย่างไรก็ตามในการพิจารณาสภาพมลพิษโดยอาศัยการพิจารณาจากหอยเจ้าประจำนั้นจะต้องแยกกรณีของ *G. cuneiformis* และ *L. malaccana* ออกจากกันอย่างชัดเจนเนื่องจากทั้ง 2 ชนิดนี้มีแหล่งที่อยู่อาศัยและการกระจายต่างกันระหว่าง ในประจำมีชีวิตและประจำตายและต้องมีการ

พิจารณาร่วมกับผลการศึกษาทางสรีรวิทยาของหอยเจ้าปะการังแต่ละชนิดต่อลักษณะการเปลี่ยนแปลงนั้น ๆ ด้วย และจากการที่ได้ผลการตอบสนองร่วมระหว่างความเค็มและสารละลายทองแดงเป็นลักษณะเสริมกันนั้น อาจนำไปพิจารณาถึงผลความเป็นพิษของทองแดงที่เกิดขึ้นในธรรมชาติ การณ์ที่มีสารละลายทองแดงปนเปื้อนลงมาระหว่างช่วงที่ความเค็มลดต่ำลง เช่น ในช่วงฤดูฝน หรือช่วงที่มีปริมาณน้ำจืดไหลลงสู่ทะเล (run off) ก็จะมีผลทำให้ความเป็นพิษของทองแดงเพิ่มขึ้นมากกว่าในช่วงที่มีความเค็มปกติ (ประมาณ 30 - 33 ppt.) ซึ่งเหตุการณ์ดังกล่าวอาจเกิดขึ้นได้จริงในบริเวณอ่าวไทยตอนใน ดังนั้นจึงมีความจำเป็นอย่างยิ่งในการที่จะต้องให้ความสนใจและมีการวางแผนการกำหนดปริมาณโลหะหนักที่พ布ได้ในทะเลตามช่วงความเค็มหรือฤดูกาลต่าง ๆ ของแต่ละบริเวณที่มีความไวต่อผลกระทบต่างกัน

## บทที่ 5

### สรุปผลการศึกษาวิจัยและข้อเสนอแนะ

#### 5.1 สรุปผลการศึกษาวิจัย

5.1.1 หอยเจ้าประจำรังที่ทำการศึกษาในครั้งนี้ มีบริเวณที่อยู่อาศัยและการกระจายต่างกัน คือ *L. malaccana* พบรูปในปะการังมีชีวิตหลายชนิด และพบมากที่สุดในปะการัง *P. lutea* ส่วน *S. mytiloides* และ *G. cuneiformis* พบรูปในปะการังตาย

5.1.2 ขนาดตัวของหอยเจ้าประจำรังทั้ง 3 ชนิด ที่พบในแนวปะการังนั้นไม่สามารถประเมินขนาดตัวที่แน่นอนได้จากขนาดดูรูที่พบ เนื่องจากกลไกการเจาะฝังของหอยเจ้าประจำรัง ที่มีการลงเกาด์ตั้งแต่ระยะวิลีเจอร์ และมีการขยายขนาดดูรูข้างในโดยใช้สารเคมีหรือพลังงานกล

5.1.3 หอยเจ้าประจำรังทั้ง 3 ชนิดมีลักษณะแยกเพศ และมีอัตราส่วนเพศระหว่างตัวผู้กับตัวเมียเมื่อทำการทดสอบทางสถิติแล้วใกล้เคียงกัน 1 ต่อ 1 อัตราส่วนเพศในหอยเจ้าประจำรัง *L. malaccana* ระหว่างตัวผู้ต่อตัวเมียเท่ากับ 1 ต่อ 0.76 ส่วนอัตราส่วนเพศในหอยเจ้าประจำรัง *S. mytiloides* เท่ากับ 1 ต่อ 0.58 และใน *G. cuneiformis* เท่ากับ 1 ต่อ 0.67

5.1.4 ค่า BCI ของหอยเจ้าประจำรังทั้งสาม ที่ได้ทำในช่วงเวลา 6 เดือนนั้นมีรูปแบบต่างกันคือ ใน *L. malaccana* มีค่าเพิ่มขึ้นจากเดือนมีนาคมถึงเดือนกรกฎาคม *S. mytiloides* มีค่าคงที่ แต่ *G. cuneiformis* มีค่าลดลงจากเดือนมีนาคม แสดงว่าค่า BCI เป็นลักษณะเฉพาะในหอยเจ้าประจำรังแต่ละชนิดซึ่งมีความสัมพันธ์กับระยะเวลาหรือฤดูกาล ค่า BCI นี้อาจบอกได้ถึงช่วงที่มีการพัฒนาเซลล์สีบพันธุ์ หรือปล่อยเซลล์สีบพันธุ์

5.1.4 การตอบสนองต่อปริมาณตะกอนแขวนลอยของหอยเจ้าประจำรัง มีลักษณะการตอบสนองเป็น 2 แบบคือ อัตราการหายใจเพิ่มขึ้นและอัตราการกรองลดลงได้แก่ *S. mytiloides* และ *G. cuneiformis* ซึ่งเป็นการตอบสนองต่อปริมาณตะกอนแขวนลอยในกรณีที่เกิดความเครียด และอีกแบบคือใน *L. malaccana* นั้นมีอัตราการหายใจเพิ่มขึ้นแต่อัตราการกรองไม่เปลี่ยนแปลง แสดงว่าหอยเจ้าประจำรังชนิดนี้มีการปรับตัวต่อปริมาณตะกอนแขวนลอยซึ่งในที่นี้คือแบ่งมันสำปะหลังได้ดี

5.1.6 หอยเจาะปะการัง *L. malaccana* และ *S. mytiloides* มีการตอบสนองต่อการเปลี่ยนแปลงความเค็ม คือมีค่าข้อบختการเดิบโตสูงสุดที่ความเค็ม 32 ppt. และลดลงเมื่อความเค็มลดลงจนมีค่าต่ำที่สุดที่ความเค็ม 16 ppt. หมายความว่าที่ระดับความเค็มต่ำ ๆ นั้นไปมีผลทำให้ค่าข้อบเขตการเดิบโตลดลง เนื่องความเค็มเปลี่ยนแปลงไปจากความเค็มของบริเวณที่อยู่อาศัยปกติในภาวะค้างคาว (29-33 ppt.) และพบว่าหอยเจาะปะการังชนิด *G. cuneiformis* เป็นชนิดที่มีความไวต่อการเปลี่ยนแปลงความเค็มมากที่สุด

5.1.7 หอยเจาะปะการัง *L. malaccana* และ *S. mytiloides* มีแนวโน้มของค่าข้อบเขตการเดิบโตสูงสุดที่ความเข้มข้นของสารละลายน้ำ  $\text{Cu}_2\text{SO}_4$  เท่ากับ 10 ไมโครกรัม ซึ่งปริมาณนี้อาจเป็นปริมาณที่เหมาะสมต่อ การนำไปใช้ในระบบรักษาสมดุลของหอยเจาะปะการัง โดยที่ *S. mytiloides* น่าจะเป็นหอยเจาะปะการังที่มีความทนทานต่อปริมาณสารละลายน้ำคงเด้งมากที่สุดพิจารณาจากค่าข้อบเขตการเดิบโตและ O:N ratio ที่มีค่าสูง และ *G. cuneiformis* เป็นชนิดที่มีความไวต่อการเปลี่ยนแปลงมากที่สุดจากค่าข้อบเขตการเดิบโตเป็นลบและค่า O:N ratio ที่ต่ำมาก

5.1.8 สารละลายน้ำ  $\text{Cu}_2\text{SO}_4$  จะมีความเป็นพิษต่อหอยเจาะปะการังเพิ่มขึ้นเมื่อความเค็มลดลง เป็นลักษณะที่มีการตอบสนองไปในทางเดียวกัน (synergistic effect) ระหว่างผลของการเปลี่ยนแปลงความเค็มและการเปลี่ยนแปลงความเข้มข้นของสารละลายน้ำ  $\text{Cu}_2\text{SO}_4$  ที่ความเข้มข้นสูง ๆ มากกว่าความเข้มข้นต่ำ ๆ โดยมี *S. mytiloides* เป็นชนิดที่มีความทนทานสูงสุด และ *G. cuneiformis* เป็นชนิดที่มีความไวต่อการเปลี่ยนแปลงมากที่สุด

5.1.9 หอยเจาะปะการังชนิด *G. cuneiformis* เป็นหอยเจาะปะการังที่มีความไวต่อการเปลี่ยนแปลงสิ่งแวดล้อมสูงสุด เนื่องจากค่าข้อบเขตการเดิบโตที่ได้ในแต่ละการทดลองมีค่าเป็นลบ และมีค่า O:N ratio ที่ต่ำมากเมื่อเทียบกับอีก 2 ชนิดคือ *L. malaccana* และ *S. mytiloides* ทั้ง ๆ ที่มีการปรับสภาพและอยู่ในสภาวะการทดลองเช่นเดียวกับ *L. malaccana* และ *S. mytiloides*

## 5.2 ข้อเสนอแนะ

5.2.1 ในการศึกษาชีววิทยาของหอยเจ้าปะการังเพิ่มเติมขึ้นต่อไปในส่วนของสัณฐานวิทยาและนิเวศวิทยาที่นำเสนอได้แก่เรื่องความเฉพาะในการเลือกวัสดุเจาะฝังและตำแหน่งในการเจาะฝัง สัดส่วนที่พบในธรรมชาติและการแยกชนิดของหอยเจ้าปะการังที่ชัดเจนขึ้นจากการพิจารณาลักษณะของปากรูดที่ผลประภาก猷ยุ่นในการศึกษานี้ รูปแบบการเปลี่ยนแปลงแทนที่ และการแก่งแย่งพื้นที่ในการเจาะฝัง นอกจากนี้ควรคำนึงถึงปัญหาในการเก็บตัวอย่างเนื่องจากต้องทุบก้อนปะการังเพื่อให้ได้หอยเจ้าปะการังมาทำการศึกษาชนิด จำนวนและขนาดก่อนนำมาทำการศึกษาด้วย

- 5.2.2 การศึกษาเรื่องอัตราส่วนเพศ และการทำ BCI ของหอยเจ้าปะการังควรทำให้ครอบคลุมในระยะเวลา 1 ปี (12 เดือน) และควรทำดัชนีความสมบูรณ์เพศ (gonad index) หรือการศึกษาถึงการพัฒนารังไข่ร่วมด้วย เพื่อจะได้ทราบถึงการเปลี่ยนแปลงในรอบปีและช่วงเวลาของการปล่อยเซลล์สืบพันธุ์ของหอยเจ้าปะการังที่ชัดเจนโดยต้องมีการคำนึงถึงจำนวนและขนาดตัวอย่างที่ใช้ในการศึกษาด้วย

5.3.3 การศึกษาเรื่องการตอบสนองทางสีรีวิทยาต่อปริมาณตะกอนแขวนลอย ควรทำการศึกษาให้ครบในทุกส่วนของการตอบสนองทางสีรีวิทยา เพื่อให้ได้ค่าขอบเขตการเดิบโตและ O:N ratio สำหรับการพิจารณาผลที่เกิดขึ้นได้อย่างชัดเจนและน่าจะมีการทำการศึกษาในปริมาณตะกอนแขวนลอยชนิดอื่น ๆ นอกจากนี้จากการเป็นมันสำคัญหลังที่ใช้เป็นตัวแทนของตะกอนแขวนลอยในการทดลองนี้

5.2.4 การศึกษาเรื่องการตอบสนองทางสีรีวิทยาต่อสารโลหะหนักรทำการทดลอง ระดับความเข้มข้นแตกต่างกันที่ทำให้เห็นการตอบสนองชัดเจนร่วมกับการศึกษาทางเคมีเคราะห์เพิ่มเติมด้วย

5.2.5 จากผลการทดลองเรื่องการตอบสนองต่อผลร่วมของความเค็มและปริมาณสารละลายนอง釕ที่พบว่ามีความเค็มต่ำความเข้มข้นของสารละลายนอง釕ที่สูงขึ้นนั้นมีผลเสริมกัน สามารถนำไปใช้ในการพิจารณาและวางแผนการควบคุมปริมาณสารโลหะหนักที่พบได้ตามการเปลี่ยนแปลงของช่วงความเค็มหรือคุณภาพในบริเวณที่มีความไวต่อสารพิษต่าง ๆ กัน

5.2.6 ควรทำการศึกษาเบรี่ยบเทียบระหว่างการตอบสนองต่อสารมลพิษระยะสั้น เทียบกับการเปลี่ยนแปลงในระยะยาว ร่วมกับการทำสมการงบพลังงาน (energy budget) ของกลุ่มประชากรหอยเจ้าปะการังที่พบบริเวณเกาะสีชังและเกาะค้างคาเพื่อการประเมินผลกระทบต่อมลพิษที่จะเกิดขึ้นในระยะยาว และการจำลองสภาพในห้องทดลองให้ใกล้เคียงสภาพธรรมชาติมากที่สุดหรือลองทำการทดลองในภาชนะนามด้วย

5.2.7 เนื่องจาก *G. cuneiformis* เป็นหอยเจาะปะการังที่มีความไวและอ่อนแอด่อ การเปลี่ยนแปลงสิ่งแวดล้อมมากที่สุดซึ่งพบได้เฉพาะในปะการังตาย ดังนั้นจึงอาจนำไปใช้ได้โดยใช้เป็นตัวแทนในการพิจารณาถึงการเปลี่ยนแปลงสิ่งแวดล้อมของแนวปะการังเดียว กันแต่ในระยะเวลาต่างกันโดยดูเฉพาะในปะการังตายร่วมกับการผลกระทบศึกษาทางสิริวิทยา ในส่วนของการตอบสนองต่อการเปลี่ยนแปลงนั้น ๆ และในกรณีที่มีข้อแม้ว่าบริมาณปะการัง ตายจะต้องไม่เปลี่ยนแปลงหรือมีการเปลี่ยนแปลงไปน้อยมาก

5.2.8 เลือก *L. malaccana* เพื่อใช้ในการตรวจสอบการเปลี่ยนแปลงสิ่งแวดล้อม ของแนวปะการังเดียวกันแต่ต่างระยะเวลาหรือที่เวลาเดียวกันในบริเวณต่างกัน โดยศึกษา ทั้งปะการังมีชีวิตและปะการังตาย และเพื่อศึกษาถึงผลกระทบของมลพิษในระดับต่อไปโดย มีการพิจารณาร่วมกับผลกระทบศึกษาทางสิริวิทยาของ *L. malaccana* ต่อการเปลี่ยนแปลงที่ เกิดขึ้นเนื่องจากเป็นชนิดที่สามารถปรับตัวได้ดีต่อการเปลี่ยนแปลงสิ่งแวดล้อม มีการตอบ สนองที่เห็นการเปลี่ยนแปลงเห็นได้ชัดเจนในช่วงที่เป็นปัจจัยจำกัด และพบมากในหลาย บริเวณ จึงอาจนำไปเป็นตัวแทนเพื่อการพิจารณาสภาพมลพิษที่เกิดขึ้นในแต่ละพื้นที่ได้

## รายการอ้างอิง

### ภาษาไทย

กฤษณ์ มงคลปัญญา. 2536. การเก็บรักษา้น้ำเชื้อแบบแช่แข็ง หลักการ/วิธีการ/ประโยชน์.

ฝ่ายโ戎พิมพ์สำนักส่งเสริมและฝึกอบรม มหาวิทยาลัยเกษตรศาสตร์ กรุงเทพฯ  
ณัฐราษฎร์ ปภาวดีสิทธิ์ และ สมเกียรติ ปิยะธิรัติวรกุล. 2526. การสำรวจเอกสารเรื่องสารมีพิษและพยาธิที่พบในอาหารจำพวกสัตว์ทะเลในประเทศไทย. รายงานเสนอต่อคณะกรรมการปศุสัตว์ติดต่อวิจัยอาหาร จุฬาลงกรณ์มหาวิทยาลัย. ฝ่ายวิจัย จุฬาลงกรณ์มหาวิทยาลัย

พรศรี สุทธนารักษ์. 2527. การศึกษาผลกระทบของการตกตะกอนต่ออัตราการเจริญของปะการังบางชนิดบริเวณเกาะค้างคาว. วิทยานิพนธ์ปริญญาวิทยาศาสตร์มหบันฑิต บัณฑิตวิทยาลัย จุฬาลงกรณ์มหาวิทยาลัย

มนุวดี หั้งสพฤกษ์. 2532. สมุทรศาสตร์เมือง. สำนักพิมพ์จุฬาลงกรณ์มหาวิทยาลัย กรุงเทพฯ  
มนุวดี หั้งสพฤกษ์. 2537. โลหะปริมาณน้อยและสารกัมมันตรังสีในน้ำในประเทศไทย. การสัมมนาวิทยาศาสตร์ทางทะเล ครั้งที่ 5. สำนักงานคณะกรรมการวิจัยแห่งชาติ

สมร ตนะวรรณสมบติ. 2535. ชีววิทยาทางประการของหอยเป้าอี๊ด *Haliotis ovina* (Gmelin, 1791). รายงานปัญหาพิเศษ ภาควิชาวิทยาศาสตร์ทางทะเล คณะวิทยาศาสตร์ จุฬาลงกรณ์มหาวิทยาลัย

สถาบันวิจัยทรัพยากรทางน้ำและศูนย์ฝึกนิสิต Hague สีชัง. 2538. การศึกษาคุณภาพสิ่งแวดล้อมบริเวณชายฝั่งทะเล Hague สีชัง จังหวัดชลบุรี. รายงานความก้าวหน้าครั้งที่ 2 โครงการศึกษาคุณภาพสิ่งแวดล้อม สำหรับโครงการก่อสร้างท่าเรือน้ำลึก บริษัท สีชังทองเทอร์มินัล จำกัด.

อรพินท์ จันทร์ฟองแสง. 2527. การแพร่กระจายของโลหะแ砧เมียม ตะกั่ว ทองแดง และสังกะสี จากปากแม่น้ำเจ้าพระยาถึงศรีราชา. รายงานการสัมมนาการวิจัยคุณภาพน้ำและคุณภาพทรัพยากรมีชีวิตในน่านน้ำไทย ครั้งที่ 3. สำนักงานคณะกรรมการวิจัยแห่งชาติ  
อานันท์ สนิทวงศ์ ณ อยุธยา และ สุรพล สุตรา. 2525. การสำรวจປะการังบริเวณเกาะค้างคาวและเกาะท้ายตามีน. รายงานเสนอโครงการสัมมนาวิทยาศาสตร์ทางทะเล ครั้งที่ 1. คณะกรรมการวิทยาศาสตร์ทางทะเลแห่งชาติ. สำนักงานคณะกรรมการวิจัยแห่งชาติ

อาจารณ์ โพธิ์เพงศ์วิวัฒน์. 2538. ผลร่วมของความเค็มและน้ำมันดิบส่วนละลายน้ำที่มีต่ออัตรา O:N ในหอยตะโกรดกรรมข้าวระยะวัยเกลี้ดชนิด *Crassostrea belcheri*. รายงานปัญหาพิเศษ ภาควิชาชีวเคมีศาสตร์ทางทะเล คณะวิทยาศาสตร์ จุฬาลงกรณ์มหาวิทยาลัย านุภาพ พานิชผล. 2539. การเฝ้าสังเกตการเปลี่ยนโครงสร้างของกลุ่มประการังบริเวณเกาะค้างคาว จังหวัดชลบุรี โดยใช้การถ่ายภาพใต้น้ำ วิทยานิพนธ์ปริญญาวิทยาศาสตร์ มหาบัณฑิต บัณฑิตวิทยาลัย จุฬาลงกรณ์มหาวิทยาลัย (กำลังจัดพิมพ์)

### ภาษาอังกฤษ

- Abel, P.D. and Axaik, V. (eds.). 1991. Ecotoxicology and the marine environment. Ellis Horwood, England
- Ansell, A.D. and Nair, N. B. 1969. A comparative Study of Bivalves which bore mainly by mechanical means. Am. Zool. 9:857-868.
- Axiak, V. and George, J. J. 1987. Bioenergetics responses of the marine bivalve *Venus verrucosa* on long-term exposure to petroleum hydrocarbon. Marine Environ. Res. 23 : 33-47
- Barnes, R.D. 1994. Invertebrate Zoology. 6<sup>th</sup> Saunders College Publishing. Florida, U.S.A.
- Bayne, B.L. (ed.). 1976. Marine Mussels : Their Ecology and Physiology. Cambridge University Press, Great Britain.
- Bayne, B.L., Brown, D.A., Bruns, K., Dixon, D.R., Ivanovici, A., Livingstone, D.R., Lowe, D.M., Moore, M.N., Stebbins, A.R.D. and Widdow, J. 1985. The Effect of Stress and Pollution on Marine Animals. Praeger Publisher CBS Education and Professional Publishing, New York.
- Beeby, A. 1993. Applying Ecology. Chapman & Hall. London
- Beiras, R., Camacho, A. P. and Albertosa, M. 1995. Short-term and long-term alterations in the alterations in the energy budget of young oyster *Ostrea edulis* L. in response to temperature change. J. Exp. Mar. Biol. Ecol. 186 : 221-236
- Brickner, I., Kramasky, Winter, E., Mokady, O., Loya, Y. 1983. Speciation In the Coral-boring bivalve *Lithophaga purpurea* : evidence from ecological, biochemical and SEM analysis. Mar. Ecol. Prog. Ser. Vol.101 : 139-145.
- Bromley, R.O. 1978. Bioerosion of Bermuda reef. Palaeogeography, Palaeoclimatology, Palaeoecology, 23 : 169-197.

- Bussarawit, S. 1995. Mollusc from the Marine National Park : Surin and LE-PAE islands, Andaman sea, Thailand. Phuket mar. biol. Cent. Spec. Publ. no 15 : 119-125
- Clausade, M.P., Hutching, P. and Richard, G. 1992. Temporal Variations of Macroborers in Massive *Porites lobata* on Moorea, French Polynesia. Coral Reef 11 : 161-166.
- De Zwaan, A. and Eertman, R.H. 1996. Anoxic or Aerial survival of bivalves and other eurytopic invertebrates as a useful response to environment stress A comprehensive review. Comp. Biochem. Physiol. 113c no.2 :299-312
- Drinkwater, K.F. and Frank, K.T. 1994. Effect of River Regulation and Diversion on Marine Fish and Invertebrates. Aquatic Conservation: Freshwater and Marine Ecosystem , 4 : 135-151.
- Elfwing, T. 1995. Physiological Effects and Relative Sensitivity to Copper on Three Species of Tropical Oyster A Study Conducted in the Inner Gulf of Thailand. Master Degree Thesis Stockholm University. Sweden
- Fang, L.S. and Shen, P. 1988. A living mechanical file : the burrowing mechanism of the coral boring bivalves *Lithophaga nigra*. Mar. Biol. 97 : 349-354
- Fanelli, G. Piraino, S., Belmonte, G., Geraci, S. and Boere, F. 1994. Human predation along Apulian rocky coasts (SE Italy) : desertification caused by *Lithophaga lithophaga* (Mollusca) fisheries. Mar. Ecol. Prog. Ser. Vol.110 : 1-8.
- Gilek, M., Tedengren, M. and Kautsky, N. 1992. Physiological performance and general histology of the blue mussel, *Mytilus edulis* L., from the Baltic and North sea. Netherland Journal of Sea Research 30:11-21
- Han, B. C., Jeng, W. L., Hung, T. C. and Wen, Y. W. 1995. Relationship between copper speciation in sediment and bioaccumulation by marine bivalves of taiwan. Environ. Pollut. 91:35-39
- Highsmith, R. C. 1980 Burrowing by the Bivalve Mollusc *Lithophaga curta* in the Living Reef Coral *Montipora berryi* and a Hypothesis of Reciprocal Larval Recruitment. Mar. Biol. 56 : 155-162.
- Hubbard, D.K. 1986. Sediment as a control of reef development : St. Croix, U.S.V.I. Coral Reef 5: 117-125

- Hungspreugs, M., Utoomprukporn, W., Dhamvanij, S. and Sompongchaiyakul, P. 1989. The Present Status of the Aquatic Environment of Thailand. Mar.Poll.Bull., 20 : 327-332
- Hutching, P.A. 1986. Biological Destruction of Coral Reefs. Coral Reef 4 :239-252.
- Hutching, P.A., Kien, W.E., Cunningham, R.B., and Donelly, C. 1992 . Spatial and Temporal Patterns of Non-colonial Boring Organisms (polychaetes, sipunculans and bivalve molluscs) in *Porites* at Lizard Island, Great Barrier reef. Coral reef , 11 : 23-31.
- Kamura, S. and Choonhabandit. 1986. Distribution of benthic marine algae on the coasts of Khang Khao and Tai Ta Mun, Sichang islands, the Gulf of Thailand. Galaxea, vol 5 (1) : 97- 114
- Kiene, W.E. and Hutching, P.A. 1994. Bioerosion experiments at Lizard Island, Great Barrier Reef. Coral Reef. 13 : 91-98.
- Kleeman, K. H. 1980. Boring bivalves and their host corals from the Great Barrier reef. J. moll. Stud 46 : 13-54
- Krebs, C.J. 1986. Ecology, the Experimental Analysis of Distribution and Abundance. Harper & Row Publisher. New York.
- Levinton, J. J. 1982. Marine Ecology. Prentice-Hall Inc. Englewood Cliffs, New Jersey
- MacGinitie, G.E. and MacGinitie, N. 1968. Natural History of Marine Animal. McGraw-Hill Book Company. New York.
- Mahabhol, N. and Puwanattrai, P. 1990. Incoming Wasteloads in the Lower Gulf of Thailand. in the Gulf of Thailand in Land-Based Marine Pollution Problems in the Asia-Pacific Region Status and Legal Developments. Institute of Asian-Studies, Chulalongkorn University. Bangkok, Thailand.
- Menasveta, P. and Cheevaparanapiwat, T. 1981. Heavy Metals, Organochlorine Pesticide and PCBs in Green Mussels, Mullets and Sediments of River Mouths in Thailand. Mar. Poll. Bull., 12 :12-25.
- Menasveta, P. Navanarases, M., and Rungsupa, S. 1986. Environmental setting of the Gulf of Thailand with special references to the Sichang Islands . Galaxea vol 5 (1) : 7-16
- Menzel, W. 1979. In Hart Jr, C. W. and Fuller, S. L. H. (eds.). Pollution Ecology of Estuarine Invertebrates. Academic Press, New York.

- Mokady, O., Arazi, G., Bonar, D.B. and Loya, Y. 1991. Coral host specificity in settlement and metamorphosis of the date mussel *Lithophaga lessespiana* (Vaillant, 1865). *J. Exp. Mar. Biol. Ecol.* vol. 146 :205-216
- Mokady, O. 1992. Settlement and Metamorphosis specificity of *Lithophaga simplex* Iredale (Bivalvia:Mytilidae) on Red Sea corals. *J.Exp.Mar.Biol.Ecol* 62 : 243-251.
- Moordee, R. (1987). Bioerosion on Coral Substrates : Porites lutea Edward and Haime by Some Infaunal Animals at Khang Khao Island Chon Buri Province. Master's Thesis, Department of Science, Graduate School, Chulalongkorn University.
- Moretzsohn, F. and Tsuchiya, M. 1992. Preliminary Survey of the Coral-Boring Bivalvia Fauna of Okinawa, Southern Japan. Proceeding of the Seventh International Coral Reef Symposium, Guam 1 : 404-412.
- Naimo, J. J. Atchinson, G. J. and Holland-Bartels, L. E. 1992. Sublethal effects of cadmium on physiological response in pocket book mussel, *Lampsilis ventricosa*. Environmental Toxicology and Chemistry 11: 1013-1021
- Neilson, C. 1986. Fauna associated with a coral *Porites* from Phuket, Thailand (part I) : bivalves with description with a new species of *Gastrochaena*. PMBC bull 42 : 1-24
- Newman, M. C. 1995. Quantitative Methods in Aquatic Ecotoxicology. CRC Press. Inc.
- Oliver, P.G. 1992. Bivalved Seashells of the Red Sea. National Museum of Wales, Cathays Park Carctiff. CF1 3 NP, Wales UK.
- Palonkangas, P. and Karlsson, S. 1995. Ecophysiological Effects of Cadmium in Relation to Salinity and Temperature Variationin the Tropical Mussel *Perna viridis*. A Pollution Study in the Gulf of Thailand. Uppsala University, Sweden
- Panichpol, A., Sarasas, P., Jarayabhand, P. and Paphavasit, N. 1994. Distribution of boring bivalve on *Porites lutea* head around Kang Kao Island.paper presented at The International Symposium on Ecological of Coral Reef Communities in the Gulf of Thailand. Aquatic Resource Research Institute. Chulalongkorn University. Bangkok, Thailand 24-26 October, 1996.
- Patin, S.A. 1982. Pollution and the Biological Resources of the Oceans. Butterworth scientific, England.

- Phillips, D.J.H. and Rainbow, P. 1993. Biomonitoring of Trace Aquatic Contaminant Elsevier Applied Science, London & New York.
- Piyakarnchana, T., Paphavasit, N., Wattayakorn, G., Banpapong, M. 1990. Marine Pollution in the Gulf of Thailand in the Asia-Pacific Region Status and Legal Developments. Institute of Asian-Studies, Chulalongkorn University. Bangkok, Thailand.
- Risk, L.S. and MacGeachy, J.K. 1978. Aspects of bioerosion of modern Caribbean reefs. Rev. Biol. Trop., 26 (supl. 1) : 85-105
- Risk, M.J. , Sammacro, W. and Edinger, E.N. 1995. Bioerosion in *Acropora* across the • Continental Shelf of the Great Barrier Reef. Coral Reef 10 : 79-86.
- Scott, P. J. B.1977. Associations between scleractinians and coral-boring molluscs in Hong Kong. International Workshop on the Malaco Fauna of Proceeding First Hong Kong and Southern China, Hong Kong : 121-138.
- Scott, P. J. B.1987. Association between coral and macro-infaunal invertebrate in Jamaica, with a list of Caribbean and Atlantic coral associates. Bull. Mar. Sci. 40 (2) : 271-286
- Scott, P.J.B., Moser, K.A. and Risk, M.J. 1988. Bioerosion of Concrete and Limestone by Marine Organism : A 13 years Experiment from Jamica. Mar.Poll.Bull. 19 ( 5 ) : 219-222.
- Scott, P.J.B., 1988. Initial settlement behaviour and survivorship of *Lithophaga bisulcata* (d'ORBIGNY) (MYTILIDAE : Lithophaginae). J. Moll. Stud. 54 :97-108
- Soliman, G. 1969. Ecological Aspect of Some-Coral Gastropod and Bivalves of the Northwestern Red Sea. Am. Zool. 9 :887-894
- Sorokin, Y. I. 1993. Coral Reef Ecology. Springer-Verlag. Heidenberg, Germany
- Strickland,D.H. and Parson, T.R. 1972 . A Practical Handbook of Sea Water Analysis. Fisheries Resaerch Board of Canada, Ottawa, Canada
- Sudara, S., Sanidwongs, A., Yeemin, T., Moordee, R., Panutrakune, S., Suthanaluk, P. and Natekanjanalarp.1991a. Study of the impact of sediment on growth of the coral *Porites lutea* in the Gulf of Thailand. Proceedings on the Regional Symposium on Living Resources in Coastal Areas. Manila, Phillipines

- Thuberg, F. P., Calabrese, A. and Dawson, M. A., 1974 .In Vernberg, F. J. and Vernberg, W. B.(eds.) Pollution and Physiology of Marine Organisms. Acedemic Press, New York.
- Tsuchiya, M., Nakasone,Y., Moordee, R., Manthachittra,V. 1986 . Distribution of subtidal macrobenthic animals around the Sichang Islands, the Gulf of Thailand. Galaxea 5 (1) :75-97.
- Widdow, J. 1985. Physiological Measurements in Bayne, B. L.(ed.) The Effect of Stress and Pollution on Marine Animals. Praeger Publisher CBS Education and Professional Publishing, New York.
- Widdow, J. 1993. Marine and estuarine invertebrate toxicity tests. in Calow, P.(ed.) Handbook of Ecotoxicology vol 1. Blackwell Scientific Publication Oxford
- Windom, H.L.1992. Contamination of the Marine Environments from Land-based Sources. Mar. Poll. Bull. 25 (1-4) : 32-36.
- Yap, H.T.1992. Marine Environmental Problems Experiences of Developing Region. Mar.Poll.Bull. 25 (1-4) : 37-40.

ภาคผนวก

### ภาคผนวก ก

ตารางที่ 1 ก ค่าการตอบสนองทางสีรีวิทยาของหอยเจาะปะการังต่อปริมาณตะกอนแขวน  
ลอยของหอยเจาะปะการังชนิด *L. malaccana*

ตัว ที่	ชุดการ ทดลอง	อัตราการ หายใจ (mgO <sub>2</sub> /g*hr)	อัตรา การกรอง (l/h*g)	ตัว ที่	ชุดการ ทดลอง	อัตราการ หายใจ (mgO <sub>2</sub> /g*hr)	อัตรา การกรอง (l/h*g)
1	ชุดควบคุม	2.48	3.05	11	ชุดทดลอง	5.51	3.20
2	ชุดควบคุม	1.36	2.84	12	ชุดทดลอง	4.22	2.63
3	ชุดควบคุม	2.89	3.03	13	ชุดทดลอง	7.36	3.22
4	ชุดควบคุม	3.14	2.80	14	ชุดทดลอง	4.39	2.96
5	ชุดควบคุม	0.73	1.00	15	ชุดทดลอง	0.91	1.22
6	ชุดควบคุม	7.31	3.31	16	ชุดทดลอง	8.72	3.20
7	ชุดควบคุม	2.70	2.73	17	ชุดทดลอง	3.00	2.40
8	ชุดควบคุม	5.46	3.40	18	ชุดทดลอง	9.11	3.16
9	ชุดควบคุม	4.78	3.22	19	ชุดทดลอง	8.76	3.25
10	ชุดควบคุม	3.38	3.17	20	ชุดทดลอง	6.76	2.93
	เฉลี่ย	3.42	2.87		เฉลี่ย	5.87	2.82

ตารางที่ 2ก ค่าการตอบสนองทางสีรีวิทยาของหอยเจาะปะการังต่อปริมาณตะกอน  
แขวนลอยของหอยเจาะปะการังชนิด *S. mytiloides*

ตัว ที่	ชุดการ ทดลอง	อัตราการ หายใจ (mgO <sub>2</sub> /g*hr)	อัตรา การกรอง (l/h*g)	ตัว ที่	ชุดการ ทดลอง	อัตราการ หายใจ (mgO <sub>2</sub> /g*hr)	อัตรา การกรอง (l/h*g)
1	ชุดควบคุม	1.33	3.04	11	ชุดทดลอง	4.52	3.07
2 •	ชุดควบคุม	2.94	3.15	12	ชุดทดลอง	5.59	3.17
3	ชุดควบคุม	0.19	0.63	13	ชุดทดลอง	0.43	0.69
4	ชุดควบคุม	0.40	0.93	14	ชุดทดลอง	0.51	0.83
5	ชุดควบคุม	0.15	0.66	15	ชุดทดลอง	0.40	0.76
6	ชุดควบคุม	0.17	0.39	16	ชุดทดลอง	0.41	0.37
7	ชุดควบคุม	0.16	0.95	17	ชุดทดลอง	0.57	0.95
8	ชุดควบคุม	0.20	0.90	18	ชุดทดลอง	0.45	0.79
9	ชุดควบคุม	0.10	0.54	19	ชุดทดลอง	0.34	0.44
10	ชุดควบคุม	1.28	3.07	20	ชุดทดลอง	0.43	0.72
	เฉลี่ย	0.69	1.16	*	เฉลี่ย	1.36	1.18

ตารางที่ 3ก ค่าการตอบสนองทางสีริวิทยาของหอยเจาะปะการังต่อปริมาณตะกอนแขวน  
ลอยของหอยเจาะปะการังชนิด *G. cuneiformis*

ตัว ที่	ชุดการ ทดลอง	อัตราการ หายใจ (mgO <sub>2</sub> /g*hr)	อัตรา การกรอง (l/h*g)	ตัว ที่	ชุดการ ทดลอง	อัตราการ หายใจ (mgO <sub>2</sub> /g*hr)	อัตรา การกรอง (l/h*g)
1	ชุดควบคุม	1.62	2.22	7	ชุดทดลอง	2.92	2.23
2 *	ชุดควบคุม	3.14	2.55	8	ชุดทดลอง	4.29	2.44
3	ชุดควบคุม	3.61	2.47	9	ชุดทดลอง	1.43	1.05
4	ชุดควบคุม	1.87	1.88	10	ชุดทดลอง	0.94	0.69
5	ชุดควบคุม	1.11	2.02	11	ชุดทดลอง	2.81	1.76
6	ชุดควบคุม	2.21	2.23	12	ชุดทดลอง	2.32	1.48
	เฉลี่ย	2.26	2.23		เฉลี่ย	2.45	1.61

ตารางที่ 4 ก ค่าการตอบสนองทางสรีริวิทยาต่อการเปลี่ยนแปลงความเค็มของหอยเจาะ  
ประการังชนิด *L. malaccana*

ตัวที่	ความ	อัตราการ	อัตราการขับ	อัตรา	ประสิทธิภาพ	ขอบเขตการ	O : N
	เค็ม (ppt.)	หายใจ (mgO <sub>2</sub> /g*hr)	ถ่าย (μg NH <sub>4</sub> /g*h)	การกรอง (l/h*g)	การดูดซึม	เดบໂଡ (J/g*h)	ratio (atomic)
NH <sub>4</sub> /g*h)							
1	32	0.48	0.47	11.53	0.75	167.77	0.36
2	32	0.60	0.12	11.34	0.90	218.93	2.67
3	32	1.27	0.34	11.11	0.81	176.91	2.07
4	32	0.50	0.27	10.55	0.87	196.79	1.83
5	32	0.90	0.30	11.34	0.73	164.49	1.31
6	32	0.08	0.30	11.17	0.76	180.55	0.14
7	32	0.97	0.36	10.97	0.78	171.14	1.69
เฉลี่ย	0.67	0.31	11.14	0.80	182.37	1.40	
	24	0.20	0.10	10.45	0.71	164.47	2.35
9	24	0.28	0.08	10.77	0.72	170.08	2.83
10	24	0.82	0.56	10.73	0.71	148.57	1.15
11	24	0.69	0.65	10.56	0.84	180.82	0.99
12	24	0.79	0.42	10.77	0.78	168.98	1.45
13	24	0.61	0.42	10.76	0.69	150.14	1.15
14	24	0.70	0.37	10.99	0.79	177.94	1.16
15	24	1.32	0.48	10.97	0.88	187.08	1.71
เฉลี่ย	0.68	0.39	10.75	0.77	168.51	1.60	
16	16	0.91	0.68	10.46	0.79	162.28	1.38
17	16	0.48	0.50	10.15	0.76	162.39	1.38
18	16	0.79	0.83	10.41	0.83	170.54	1.02
19	16	0.33	0.15	10.45	0.70	158.60	2.50
20	16	0.98	0.22	11.06	0.80	180.99	2.62
21	16	0.53	0.12	11.06	0.085	202.58	2.84
22	16	0.59	0.16	11.04	0.51	114.22	2.25
เฉลี่ย	0.66	0.38	10.66	0.75	164.51	2.00	

ตารางที่ 5 ก ค่าการตอบสนองทางสรีรวิทยาต่อการเปลี่ยนแปลงความเค็มของหอยเจาะ  
ประรังชนิด *S. mytiloides*

ตัวที่	ความ เค็ม (ppt.)	อัตราการ หายใจ (mgO <sub>2</sub> /g*hr )	อัตราการ ขับถ่าย (μg NH <sub>4</sub> /g*h)	อัตราการ กรอง (l/h*g)	ประสิทธิภาพ การดูดซึม	ขอบเขตการ เดิบໂຕ (J/g*h) <sup>a</sup>	O : N ratio (atomic)
1	32	0.82	0.08	3.77	0.80	47.46	1.44
2	32	0.33	0.06	0.83	0.50	3.17	3.42
3	32	0.24	0.01	0.73	.79	8.78	4.80
4	32	2.26	0.03	4.86	0.81	52.59	7.67
	เฉลี่ย	0.91	0.047	2.55	0.73	28.00	4.33
5	24	0.22	0.10	1.09	0.87	15.02	1.12
6	24	0.30	0.20	0.79	0.90	5.91	0.83
7	24	0.29	0.19	1.16	0.95	13.74	0.69
8	24	0.60	0.29	1.03	0.44	-8.30	1.00
9	24	0.59	0.08	2.37	0.80	30.24	2.25
	เฉลี่ย	0.40	0.17	1.29	0.79	11.32	1.18
10	16	0.56	0.33	1.35	0.96	7.84	0.70
11	16	0.49	0.17	0.81	0.95	13.74	0.69
13	16	0.34	0.18	0.92	0.99	10.01	0.99
14	16	0.72	0.05	1.70	0.82	19.35	5.93
15	16	0.38	0.08	1.52	0.83	20.37	2.25
	เฉลี่ย	0.50	0.16	1.26	0.91	12.58	2.29

ตารางที่ 6 ก ค่าการตอบสนองทางสีรีวิทยาต่อการเปลี่ยนแปลงความเค็มของหอยเจาะ  
ปะการังชนิด *G. cuneiformis*

ตัวที่	ความ	อัตราการ	อัตราการ	อัตราการ	ประสิทธิภาพ	ขอนเขตกการ	O : N
	เค็ม	หายใจ	ขับถ่าย	กรอง	การดูดซึม	เติบโต	ratio
	(ppt.)	(mgO <sub>2</sub> /g*hr)	(μg	(l/h*g)		(J/g*h)	(atomic)
NH <sub>4</sub> /g*h)							
1	32	1.46	0.03	2.19	0.80	14.85	5.86
2	32	1.79	0.01	2.15	0.80	12.08	21.53
3	32	0.59	0.01	1.24	0.80	13.78	19.53
4	32	2.73	0.12	2.46	0.56	-35.81	1.64
เฉลี่ย		<b>1.64</b>	<b>0.04</b>	<b>2.01</b>	<b>0.74</b>	<b>1.23</b>	<b>12.14</b>
5	24	2.63	0.13	2.33	0.52	-39.08	1.54
6	24	1.46	0.12	1.65	0.49	-15.70	1.88
7	24	2.36	0.14	2.05	0.90	-15.48	1.67
8	24	2.33	0.07	2.20	0.99	5.46	3.48
9	24	0.91	0.05	1.46	0.95	15.24	4.57
เฉลี่ย		<b>1.94</b>	<b>0.10</b>	<b>1.94</b>	<b>0.77</b>	<b>-9.91</b>	<b>2.63</b>
10	16	0.26	0.13	1.31	0.99	15.38	0.43
11	16	0.66	0.16	1.22	0.96	5.45	0.94
12	16	1.61	0.15	2.16	0.94	-4.92	0.97
13	16	2.03	0.16	2.27	0.99	-10.44	1.05
14	16	1.87	0.11	2.44	0.74	-11.64	1.22
เฉลี่ย		<b>1.29</b>	<b>0.14</b>	<b>1.88</b>	<b>0.92</b>	<b>-1.23</b>	<b>0.92</b>

ตารางที่ 7ก ค่าการตอบสนองทางสรีรวิทยาต่อสารละลายน้ำ  $\text{Cu}_2\text{SO}_4$  ที่ความเข้มข้นต่างๆ ต่อหอยเจ้าปะการังชนิด *L. malaccana*

ตัวที่	ความเข้ม	อัตราการ	อัตราการ	อัตราการ	ประสิทธิภาพ	ขอบเขตการ	O : N
							ratio
	$\text{Cu}_2\text{SO}_4$	(mgO <sub>2</sub> /g*hr)	(μg	(l/h*g)		(J/g*h)	(atomic)
	(μmol)		NH <sub>4</sub> /g*h)				
1	0	4.54	0.74	6.42	0.89	9.32	3.80
2	0	5.67	0.66	9.90	0.86	83.19	8.98
3 *	0	5.12	0.47	9.39	0.79	72.10	10.22
4	0	6.12	0.79	9.91	0.80	67.71	10.88
5	0	4.30	0.44	10.07	0.87	103.32	5.97
6	0	6.12	0.76	9.61	0.85	62.45	8.20
7	0	7.40	0.71	12.52	0.84	87.25	8.20
8	0	4.39	0.49	9.90	0.85	74.23	3.75
	เฉลี่ย	5.46	0.63	9.68	0.84	69.95	7.50
9	10	6.05	0.45	10.66	0.67	53.29	12.89
10	10	4.77	0.69	10.20	0.73	69.10	7.18
11	10	7.12	0.49	9.80	0.85	64.67	15.15
12	10	4.73	0.41	9.42	0.74	72.80	12.26
13	10	6.32	0.41	10.43	0.90	88.88	8.46
14	10	4.14	0.42	9.08	0.51	13.13	5.71
15	10	3.93	0.37	8.56	0.88	74.07	4.59
16	10	3.42	0.29	9.45	0.92	135.46	12.52
	เฉลี่ย	5.06	0.44	9.70	0.77	71.43	9.84
17	20	6.70	0.27	8.98	0.76	36.71	13.76
18	20	6.67	0.34	9.42	0.89	52.08	7.03
19	20	7.46	0.50	10.11	0.89	74.99	15.84
20	20	5.00	0.56	9.37	0.87	68.50	5.07
21	20	6.62	0.49	8.79	0.90	48.12	8.35
22	20	5.04	0.16	8.74	0.90	97.15	25.39
23	20	5.95	0.50	10.78	0.81	90.38	11.06
	เฉลี่ย	6.21	0.40	9.46	0.86	66.85	12.36

ตารางที่ 8ก ค่าการตอบสนองทางสีรีวิทยาต่อสารละลายน้ำ  $\text{Cu}_2\text{SO}_4$  ที่ความเข้มข้นต่างๆ ต่อหอยเจ้าประจำรังชนิด *S. mytiloides*

ตัวที่	ความเข้ม	อัตราการ	อัตราการ	อัตราการ	ประสิทธิภาพ	ขอบเขตการ	O : N
		ขั้น	หายใจ	ขับถ่าย	กรอง	การดูดซึม	ratio
	$\text{Cu}_2\text{SO}_4$	(mg O <sub>2</sub> /g*hr)	( $\mu\text{g}$ )	(l/h*g)		(J/g*h)	(atomic)
	( $\mu\text{mol}$ )		NH <sub>4</sub> /g*h)				
1	0	0.52	0.06	9.73	0.73	143.30	2.39
2	0	0.87	0.04	9.74	0.87	173.41	7.28
3	0	0.85	0.08	9.63	0.85	158.21	2.67
4	0	1.02	0.02	10.13	0.50	97.58	14.88
5	0	0.73	0.02	9.48	0.79	157.70	23.02
	เฉลี่ย	0.80	0.04	9.74	0.75	146.04	23.02
6	10	0.49	0.02	8.94	0.87	174.08	27.90
7	10	0.87	0.04	9.02	0.87	179.91	4.19
8	10	0.48	0.11	12.41	0.99	186.88	1.52
9	10	0.79	0.08	9.71	0.63	110.96	2.59
10	10	0.69	0.02	9.71	0.99	204.64	18.83
11	10	1.05	0.02	12.52	0.63	202.84	25.11
	เฉลี่ย	0.73	0.05	9.60	0.89	179.55	13.36
12	20	0.47	0.02	8.94	0.33	60.17	28.70
13	20	0.21	0.02	9.02	0.88	175.42	9.30
14	20	6.23	0.01	12.41	0.44	12.13	11.96
15	20	1.01	0.01	9.71	0.99	202.03	25.11
16	20	0.91	0.01	9.71	0.99	204.52	30.69
	เฉลี่ย	1.77	0.01	9.96	0.73	130.85	21.15

ตารางที่ 9ก ค่าการตอบสนองทางสรีริวิทยาต่อสารละลายน้ำ  $\text{Cu}_2\text{SO}_4$  ที่ความเข้มข้นต่างๆ ต่อหอยเจาะปะการังชนิด *G. cuneiformis*

ตัวที่	ความเข้ม	อัตราการ	อัตราการ	อัตราการ	ประสิทธิ์	ขอบเขต	O : N
	ขั้น Cu <sub>2</sub> SO <sub>4</sub> ( $\mu\text{mol}$ )	หายใจ (mgO <sub>2</sub> /g*hr)	ขับถ่าย ( $\mu\text{g NH}_4/\text{g}^*\text{h}$ )	กรอง (l/h*g)	ภาพการ ดูดซึม	การเดินโด	ratio (atom)
1	0	0.02	0.44	4.89	0.99	-378.85	0.001
2	0	0.06	0.29	4.23	0.98	-68.02	0.02
3	0	0.03	0.23	4.56	0.99	-75.82	0.01
4	0	0.12	0.24	3.74	0.95	-4.41	0.07
5	0	0.06	0.23	4.42	0.54	-104.38	0.02
เฉลี่ย		<b>0.06</b>	<b>0.29</b>	<b>4.37</b>	<b>0.89</b>	<b>-126.30</b>	<b>0.02</b>
6	10	0.08	0.29	4.56	0.89	-133.94	0.02
7	10	0.02	0.30	5.11	0.95	-294.17	0.003
8	10	0.02	0.28	4.76	0.89	-172.15	0.003
9	10	0.05	0.21	4.31	0.81	-45.61	0.02
10	10	0.05	0.25	4.68	0.95	-113.41	0.01
เฉลี่ย		<b>0.04</b>	<b>0.26</b>	<b>4.68</b>	<b>0.90</b>	<b>-151.85</b>	<b>0.01</b>
11	20	0.5	0.21	4.70	0.70	-114.44	0.01
12	20	0.04	0.27	4.24	0.76	-81.56	0.01
13	20	0.08	0.27	3.95	0.78	-46.42	0.03
เฉลี่ย		<b>0.06</b>	<b>0.25</b>	<b>4.30</b>	<b>0.75</b>	<b>-80.81</b>	<b>0.02</b>

ตารางที่ 10ก ค่าการตอบสนองทางสีรีวิทยาต่อผลร่วมของการเปลี่ยนแปลงความเค็มและความเข้มข้นสารละลายน้ำ  $\text{Cu}_2\text{SO}_4$  ที่ระดับต่าง ๆ ของหอยเจ้าประจำชั้นิด *L. malaccana*

ตัว ที่	ความ	ความเข้ม	อัตราการ	อัตราการ	อัตราการ	ประสิทธิ	ขอบเขต	O : N
	เค็ม	ขัน	หายใจ	ขับถ่าย	กรอง	ภาพการ	การเดินทาง	ratio
	(ppt.)	$\text{Cu}_2\text{SO}_4$	( $\text{mgO}_2/\text{g}^*\text{hr}$ )	( $\mu\text{g}$ )	( $\text{l}/\text{h}^*\text{g}$ )	คุณซึ่ม	( $\text{J}/\text{g}^*\text{h}$ )	(atomic)
		( $\mu\text{mol}$ )		$\text{NH}_4/\text{g}^*\text{h}$ )				
1	32	0	0.48	0.47	11.53	0.75	167.77	0.37
2 *	32	0	0.60	0.12	11.34	0.90	218.93	2.37
3	32	0	1.27	0.34	11.11	0.81	176.91	2.07
4	32	0	0.50	0.27	10.55	0.87	196.79	1.83
5	32	0	0.90	0.30	11.34	0.73	164.49	1.31
6	32	0	0.08	0.30	11.17	0.76	180.55	0.14
7	32	0	0.97	0.36	10.97	0.78	171.14	1.69
		เฉลี่ย	0.67	0.31	11.14	0.80	182.37	1.40
8	24	0	0.21	0.10	10.46	0.71	164.47	2.35
9	24	0	0.28	0.09	10.77	0.72	170.08	2.82
10	24	0	0.82	0.56	10.73	0.71	148.57	1.15
11	24	0	0.69	0.65	10.56	0.84	180.82	0.99
12	24	0	0.79	0.42	10.77	0.78	168.98	1.45
13	24	0	0.61	0.42	10.76	0.69	150.14	1.15
14	24	0	0.70	0.37	10.99	0.79	177.94	1.16
15	24	0	1.32	0.48	10.97	0.88	187.08	1.71
		เฉลี่ย	0.68	0.39	10.75	0.77	168.51	1.60
16	16	0	0.91	0.68	10.46	0.79	162.28	1.38
17	16	0	0.48	0.50	10.14	0.76	162.39	1.38
18	16	0	0.79	0.83	10.42	0.83	170.54	1.02
19	16	0	0.33	0.15	10.45	0.70	158.59	2.50
20	16	0	0.98	0.22	11.06	0.80	180.99	2.62
21	16	0	0.53	0.12	11.06	0.85	202.58	2.84
22	16	0	0.59	0.16	11.04	0.51	114.22	2.25
		เฉลี่ย	0.66	0.38	10.66	0.75	164.51	2.00
23	32	10	0.96	0.38	4.87	0.97	81.40	1.33
24	32	10	0.43	0.29	13.53	0.85	248.81	1.59
25	32	10	0.92	0.31	6.34	0.92	111.84	2.27

26	32	10	0.89	0.22	14.09	0.93	280.40	3.18
27	32	10	0.90	0.44	13.84	0.98	276.08	0.86
28	32	10	1.37	0.23	8.98	0.70	114.03	2.62
		เฉลี่ย	0.91	0.31	10.27	0.89	185.43	1.98
29	24	10	0.27	0.36	4.85	0.86	84.98	0.79
30	24	10	1.81	0.19	7.41	0.87	116.43	6.20
31	24	10	2.72	0.32	6.34	0.85	76.76	6.48
32	24	10	2.08	0.28	6.18	0.43	25.23	6.00
33	24	10	1.35	0.19	9.90	0.86	167.54	3.92
		เฉลี่ย	1.65	0.27	6.94	0.78	94.19	4.68
34	16	10	4.67	0.24	8.51	0.82	85.16	11.47
35	16	10	5.72	0.17	4.67	0.99	20.75	37.87
36	16	10	3.93	0.24	9.01	0.94	128.83	9.83
37	16	10	4.72	0.21	6.60	0.90	62.40	13.41
38	16	10	2.35	0.63	8.03	0.88	108.12	2.15
		เฉลี่ย	4.28	0.30	7.36	0.91	81.05	14.95
39	32	20	0.09	0.24	4.90	0.90	101.73	0.22
40	32	20	0.32	0.40	6.75	0.99	139.01	0.86
41	32	20	1.63	0.15	8.06	0.99	155.07	9.25
42	32	20	1.03	0.24	9.22	0.93	174.13	2.69
43	32	20	3.26	0.24	4.74	0.93	46.74	7.47
		เฉลี่ย	1.27	0.26	6.73	0.97	123.33	4.10
44	24	20	1.49	0.43	6.14	0.98	105.89	2.71
45	24	20	0.98	0.44	4.85	0.58	42.84	2.36
46	24	20	0.80	0.49	5.31	0.97	96.81	1.55
47	24	20	1.45	0.51	5.08	0.98	82.73	2.67
48	24	20	2.03	0.38	10.31	0.71	118.21	1.92
		เฉลี่ย	1.35	0.45	6.34	0.84	89.30	2.24
49	16	20	0.41	0.31	4.34	0.97	85.42	1.44
50	16	20	3.22	0.30	4.07	0.71	16.08	15.62
51	16	20	0.72	0.55	5.21	0.89	83.42	1.03
52	16	20	5.21	0.30	5.08	0.99	34.63	16.81
53	16	20	3.05	0.18	9.76	0.96	165.02	9.61
54	16	20	4.58	0.19	7.06	0.55	18.46	16.89
		เฉลี่ย	2.86	0.30	5.92	0.85	67.17	10.23

ตารางที่ 11 ก ค่าการตอบสนองทางสรีริวิทยาต่อผลร่วมของการเปลี่ยนแปลงความเค็มและความเข้มข้นสารละลายน้ำ  $\text{Cu}_2\text{SO}_4$  ที่ระดับต่าง ๆ ของหอยเจ้าป่ากรังชนิด *S. mytiloides*

ตัวที่	ความ	ความ	อัตราการ	อัตราการ	อัตราการ	ประสิทธิ	ขอบเขต	O : N
	เค็ม	เข้มข้น	หายใจ	ขับถ่าย	กรอง	ภาพการ	การเดิน	ratio
	(ppt.)	$\text{Cu}_2\text{SO}_4$	( $\text{mgO}_2/\text{g}^*\text{hr}$ )	( $\mu\text{g}$ )	( $\text{l}/\text{h}^*\text{g}$ )	คุณค่า	โดย	(atomic)
		( $\mu\text{mol}$ )		$\text{NH}_4/\text{g}^*\text{h}$			( $\text{J}/\text{g}^*\text{h}$ )	)
1	32	0	0.82	0.08	3.77	0.81	47.46	1.44
2*	32	0	0.33	0.06	0.83	0.50	3.17	3.42
3	32	0	0.24	0.01	0.73	0.79	8.78	4.80
4	32	0	2.26	0.03	4.86	0.81	52.59	7.67
		เฉลี่ย	0.91	0.05	2.55	0.73	28.00	4.33
5	24	0	0.22	0.10	1.09	0.88	15.02	1.12
6	24	0	0.30	0.20	0.79	0.90	5.91	0.83
7	24	0	0.29	0.29	1.16	0.95	13.74	0.69
8	24	0	0.60	0.29	1.03	0.44	-8.30	1.00
9	24	0	0.59	0.08	2.37	0.80	30.24	2.25
		เฉลี่ย	0.40	0.17	1.29	0.20	14.07	1.18
11	16	0	0.56	0.33	1.35	0.96	7.84	0.70
12	16	0	0.49	0.17	0.81	0.95	5.33	1.58
13	16	0	0.34	0.18	0.92	0.99	10.01	0.99
14	16	0	0.72	0.05	1.70	0.82	19.35	5.93
15	16	0	0.39	0.08	1.52	0.83	20.37	2.25
		เฉลี่ย	0.50	0.16	1.26	0.91	12.58	2.29
16	32	10	0.57	0.24	0.92	0.84	5.48	2.54
17	32	10	0.58	0.12	1.051	1.34	34.31	3.00
18	32	10	0.75	0.09	1.08	0.84	8.63	9.79
19	32	10	0.41	0.21	0.94	0.80	4.68	1.05
		เฉลี่ย	0.58	0.16	1.26	0.91	13.28	4.10
20	24	10	0.67	0.12	1.18	0.85	8.62	2.45
21	24	10	0.80	0.06	1.00	0.88	6.87	7.37
22	24	10	1.17	0.03	1.42	0.54	0.04	22.16
		เฉลี่ย	0.88	0.07	1.20	0.76	5.18	10.67
23	16	10	0.08	0.14	1.58	0.92	23.50	0.16
24	16	10	0.50	0.68	0.88	0.87	-10.35	0.41

25	16	10	0.78	0.07	1.57	0.75	12.15	3.95
26	16	10 เฉลี่ย	0.48 <b>0.46</b>	0.09 <b>0.25</b>	1.45 <b>1.37</b>	0.66 <b>0.80</b>	10.40 <b>8.92</b>	1.85 <b>1.59</b>
28	32	20	1.47	0.08	1.81	0.80	6.70	4.69
29	32	20	0.52	0.14	1.00	0.75	5.25	2.03
30	32	20	0.60	0.10	1.14	0.74	7.17	2.82
31	32	20 เฉลี่ย	0.70 <b>0.82</b>	0.16 <b>0.12</b>	1.14 <b>1.27</b>	0.69 <b>0.75</b>	1.88 <b>5.25</b>	1.97 <b>2.88</b>
32	24	20	0.86	0.04	1.59	0.71	11.50	7.67
33	24	20	0.65	0.10	1.08	0.76	6.19	3.45
34	24	20	0.55	0.70	0.91	0.67	425	5.23
35	24	20 เฉลี่ย	0.55 <b>0.66</b>	0.60 <b>0.07</b>	0.92 <b>1.12</b>	0.71 <b>0.71</b>	5.54 <b>6.87</b>	6.81 <b>5.79</b>
36	16	20	0.32	0.07	0.81	0.45	2.07	3.36
37	16	20	0.11	0.14	1.20	0.87	16.90	0.34
38	16	20 เฉลี่ย	0.30 <b>0.24</b>	0.20 <b>0.13</b>	1.32 <b>1.11</b>	0.84 <b>0.72</b>	12.31 <b>10.43</b>	0.57 <b>1.43</b>

ตารางที่ 12 ก ค่าการตอบสนองทางสิริวิทยาต่อผลร่วมของการเปลี่ยนแปลงความเค็มและความเข้มข้นสารละลายน้ำ  $\text{Cu}_2\text{SO}_4$  ที่ระดับต่าง ๆ ของหอยเจ้าปะการังชนิด *G. cuneiformis*

ตัว ที่	ความ เค็ม (ppt.)	ความ เข้มข้น ( $\mu\text{mol}$ )	อัตราการ หายใจ $\text{mgO}_2/\text{g}^*\text{hr}$	อัตราการ ขับถ่าย $\text{NH}_4/\text{g}^*\text{h}$	อัตรา <sup>a</sup> การกรอง ( $1/\text{h}^*\text{g}$ )	ประสิทธิ ภาพ การดูด <sup>b</sup> ซึม	ขอบเขต โดย <sup>c</sup> (J/ $\text{g}^*\text{h}$ )	O : N ratio
1	32	0	1.46	0.03	2.19	0.80	14.85	5.86
2	32	0	1.79	0.01	2.14	0.80	12.08	21.53
3	32	0	0.59	0.01	1.24	0.80	13.78	19.53
4	32	0	2.73	0.12	2.46	0.56	-35.81	1.64
		เฉลี่ย	1.64	0.04	2.01	0.74	1.23	12.14
5	24	0	2.63	0.13	2.33	0.52	-39.08	1.54
6	24	0	1.46	0.12	1.65	0.49	-15.70	1.88
7	24	0	2.36	0.14	2.05	0.90	-15.48	1.67
8	24	0	2.33	0.07	2.20	0.99	5.46	3.48
9	24	0	0.91	0.05	1.46	0.95	15.24	4.57
		เฉลี่ย	1.94	0.10	1.94	0.77	-9.91	2.63
10	16	0	0.26	0.13	1.31	0.99	15.38	0.43
11	16	0	0.66	0.16	1.22	0.96	5.45	0.94
12	16	0	1.61	0.15	2.16	0.94	-4.92	0.97
13	16	0	2.03	0.16	2.27	0.99	-10.44	1.05
14	16	0	1.87	0.11	2.44	0.74	-11.64	1.22
		เฉลี่ย	1.29	0.14	1.88	0.92	-1.23	0.92
15	32	10	0.15	0.12	1.57	0.77	-19.55	0.06
16	32	10	0.45	0.22	0.37	0.99	-24.64	0.29
		เฉลี่ย	0.30	0.17	0.97	0.88	-22.10	0.17
17	24	10	0.26	0.21	0.63	0.90	-22.22	0.14
18	24	10	0.41	0.25	0.58	0.71	-39.65	0.16
19	24	10	0.13	0.10	1.45	0.99	-17.35	0.05
		เฉลี่ย	0.27	0.19	0.89	0.87	-26.41	0.12
20	16	10	0.64	0.15	0.12	0.93	-21.15	0.74
21	16	10	0.12	0.10	1.97	-7.51	275.22	0.03
22	16	10	1.57	0.20	0.41	-0.68	-26.59	2.51
		เฉลี่ย	0.78	0.15	0.83	-2.42	75.83	1.09

23	32	20	1.10	0.38	0.31	0.82	-32.61	0.82
24	32	20	0.27	0.08	1.12	0.86	-0.20	0.25
25	32	20	0.34	0.11	0.76	0.90	-8.02	0.31
		เฉลี่ย	<b>0.38</b>	<b>0.17</b>	<b>0.99</b>	<b>-1.73</b>	<b>44.48</b>	<b>0.19</b>
26	24	20	0.26	0.13	0.87	0.78	-21.84	0.13
25	24	20	0.15	0.20	1.34	0.94	-35.18	0.04
26	24	20	0.65	0.24	0.42	0.79	-15.99	0.77
		เฉลี่ย	<b>0.35</b>	<b>0.19</b>	<b>0.88</b>	<b>0.84</b>	<b>-24.34</b>	<b>0.32</b>
27	16	20	0.52	0.27	0.52	0.83	-36.43	0.23
28	16	20	0.25	0.10	1.40	-6.91	185.13	0.13
29	16	20	0.37	0.14	1.05	0.90	-15.26	0.20
		เฉลี่ย	<b>0.38</b>	<b>0.17</b>	<b>0.99</b>	<b>-1.73</b>	<b>44.48</b>	<b>0.19</b>

### ภาคผนวก ข

**ตารางที่ 1ข การวิเคราะห์ความแปรปรวนของค่า BCI ในหอยเจ้าประจำรังชนิด *L. malaccana***

#### ANALYSIS OF VARIANCE

SOURCE	SUM-OF-SQUARE	DF	MEAN-QUARE	F-RATIO	P
REGRESSION	2081.666	1	2081.666	42.590	0.000
RESIDUAL	2834.831	58	48.876		

**ตารางที่ 2ข การวิเคราะห์ความแปรปรวนของค่า BCI ในหอยเจ้าประจำรังชนิด *S. mytiloides***

#### ANALYSIS OF VARIANCE

SOURCE	SUM-OF-SQUARE	DF	MEAN-QUARE	F-RATIO	P
REGRESSION	31.556	1	31.556	0.576	0.452
RESIDUAL	2518.401	46	54.748		

**ตารางที่ 3ข การวิเคราะห์ความแปรปรวนของค่า BCI ในหอยเจ้าประจำรังชนิด *G. cuneiformis***

#### ANALYSIS OF VARIANCE

SOURCE	SUM-OF-SQUARE	DF	MEAN-QUARE	F-RATIO	P
REGRESSION	6187.809	1	6187.809	40.733	0.000
RESIDUAL	7284.602	48	151.763		

ตารางที่ 4x การวิเคราะห์ความแปรปรวนของค่าขอบเขตการเดินโดในหอยเจาะปะการัง  
ชนิด *L. malaccana* ที่ความเค็มต่าง ๆ

ANALYSIS OF VARIANCE

SOURCE	SUM-OF-SQUARE	DF	MEAN-QUARE	F-RATIO	P
REGRESSION	1115.740	1	1115.740	2.779	0.1111
RESIDUAL	8030.142	20	401.507		

ตารางที่ 5x การวิเคราะห์ความแปรปรวนของค่าขอบเขตการเดินโดในหอยเจาะปะการัง  
ชนิด *S. mytiloides* ที่ความเค็มต่าง ๆ

ANALYSIS OF VARIANCE

SOURCE	SUM-OF-SQUARE	DF	MEAN-QUARE	F-RATIO	P
REGRESSION	482.327	1	482.327	1.805	0.204
RESIDUAL	3206.083	12	267.174		

ตารางที่ 6x การวิเคราะห์ความแปรปรวนของค่าขอบเขตการเดินโดในหอยเจาะปะการัง  
ชนิด *G. cuneiformis* ที่ความเค็มต่าง ๆ

ANALYSIS OF VARIANCE

SOURCE	SUM-OF-SQUARE	DF	MEAN-QUARE	F-RATIO	P
REGRESSION	6.203	1	6.203	0.017	0.899
RESIDUAL	4458.860	12	371.572		

ตารางที่ 7ข การวิเคราะห์ความแปรปรวนของค่า O : N Ratio ในหอยเจาะปะการัง  
ชนิด *L. malaccana* ที่ความเค็มต่าง ๆ

ANALYSIS OF VARIANCE

SOURCE	SUM-OF-SQUARE	DF	MEAN-QUARE	F-RATIO	P
REGRESSION	1.263	1	1.263	2.388	0.138
RESIDUAL	10.576	20	0.529		

ตารางที่ 8ข การวิเคราะห์ความแปรปรวนของค่า O : N Ratio ในหอยเจาะปะการัง  
ชนิด *S. mytiloides* ที่ความเค็มต่าง ๆ

ANALYSIS OF VARIANCE

SOURCE	SUM-OF-SQUARE	DF	MEAN-QUARE	F-RATIO	P
REGRESSION	7.801	1	7.801	1.714	0.215
RESIDUAL	54.625	12	4.552		

ตารางที่ 9ข การวิเคราะห์ความแปรปรวนของค่า O : N Ratio ในหอยเจาะปะการัง  
ชนิด *G. cuneiformis* ที่ความเค็มต่าง ๆ

ANALYSIS OF VARIANCE

SOURCE	SUM-OF-SQUARE	DF	MEAN-QUARE	F-RATIO	P
REGRESSION	265.334	1	265.334	9.131	0.011
RESIDUAL	348.707	12	29.059		

ตารางที่ 10x การวิเคราะห์ความแปรปรวนของค่าข้อมูลการเติบโตในหอยเจ้าประจำรังชนิด *L. malaccana* ที่ความเข้มข้นของสารละลายน้ำ  $\text{Cu}_2\text{SO}_4$  ต่าง ๆ

ANALYSIS OF VARIANCE

SOURCE	SUM-OF-SQUARE	DF	MEAN-QUARE	F-RATIO	P
REGRESSION	32.732	1	32.732	0.041	0.841
RESIDUAL	16607.332	21	790.825		

ตารางที่ 11x การวิเคราะห์ความแปรปรวนของค่าข้อมูลการเติบโตในหอยเจ้าประจำรังชนิด *S. mytiloides* ที่ความเข้มข้นของสารละลายน้ำ  $\text{Cu}_2\text{SO}_4$  ต่าง ๆ

ANALYSIS OF VARIANCE

SOURCE	SUM-OF-SQUARE	DF	MEAN-QUARE	F-RATIO	P
REGRESSION	576.764	1	576.764	0.174	0.683
RESIDUAL	46307.916	14	3307.708		

ตารางที่ 12x การวิเคราะห์ความแปรปรวนของค่าข้อมูลการเติบโตในหอยเจ้าประจำรังชนิด *G. cuneiformis* ที่ความเข้มข้นของสารละลายน้ำ  $\text{Cu}_2\text{SO}_4$  ต่าง ๆ

ANALYSIS OF VARIANCE

SOURCE	SUM-OF-SQUARE	DF	MEAN-QUARE	F-RATIO	P
REGRESSION	2468.808	1	2468.808	0.212	0.54
RESIDUAL	128129.590	11	11648.145		

ตารางที่ 13x การวิเคราะห์ความแปรปรวนของค่า O : N Ratio ในหอยเจ้าปะการัง  
ชนิด *L. malaccana* ที่ความเข้มข้นของสารละลายน้ำ  $\text{Cu}_2\text{SO}_4$  ต่าง ๆ

ANALYSIS OF VARIANCE

SOURCE	SUM-OF-SQUARE	DF	MEAN-QUARE	F-RATIO	P
REGRESSION	88.073	1	88.073	4.208	0.053
RESIDUAL	439.570	21	20.932		

ตารางที่ 14x การวิเคราะห์ความแปรปรวนของค่า O : N Ratio ในหอยเจ้าปะการัง  
ชนิด *S. mytiloides* ที่ความเข้มข้นของสารละลายน้ำ  $\text{Cu}_2\text{SO}_4$

ANALYSIS OF VARIANCE

SOURCE	SUM-OF-SQUARE	DF	MEAN-QUARE	F-RATIO	P
REGRESSION	308.291	1	308.291	2.998	0.105
RESIDUAL	1439.685	14	102.835		

ตารางที่ 15x การวิเคราะห์ความแปรปรวนของค่า O : N Ratio ในหอยเจ้าปะการัง  
ชนิด *G. cuneiformis* ที่ความเข้มข้นของสารละลายน้ำ  $\text{Cu}_2\text{SO}_4$  ต่าง ๆ

ANALYSIS OF VARIANCE

SOURCE	SUM-OF-SQUARE	DF	MEAN-QUARE	F-RATIO	P
REGRESSION	0.000	1	0.000	0.253	0.625
RESIDUAL	0.004	11	0.000		

ตารางที่ 16x การวิเคราะห์ความแปรปรวนของค่าขอบเขตการเติบโตในหอยเจาะปะการังชนิด *L. malaccana* ที่ผลร่วมของความเค็มและความเข้มข้นของสารละลายน้ำ  $\text{Cu}_2\text{SO}_4$  ที่ระดับต่าง ๆ

#### ANALYSIS OF VARIANCE

SOURCE	SUM-OF-SQUARE	DF	MEAN-QUARE	F-RATIO	P
REGRESSION	94101.958	1	94101.958	43.781	0.00
RESIDUAL	111767.694	52	2149.379		

ตารางที่ 17x การวิเคราะห์ความแปรปรวนของค่าขอบเขตการเติบโตในหอยเจาะปะการังชนิด *S. mytiloides* ที่ผลร่วมของความเค็มและความเข้มข้นของสารละลายน้ำ  $\text{Cu}_2\text{SO}_4$  ที่ระดับต่าง ๆ

#### ANALYSIS OF VARIANCE

SOURCE	SUM-OF-SQUARE	DF	MEAN-QUARE	F-RATIO	P
REGRESSION	614.641	1	614.641	3.994	0.054
RESIDUAL	5232.477	34	153.896		

ตารางที่ 18x การวิเคราะห์ความแปรปรวนของค่าขอบเขตการเติบโตในหอยเจาะปะการังชนิด *G. cuneiformis* ที่ผลร่วมของความเค็มและความเข้มข้นของสารละลายน้ำ  $\text{Cu}_2\text{SO}_4$  ที่ระดับต่าง ๆ

#### ANALYSIS OF VARIANCE

SOURCE	SUM-OF-SQUARE	DF	MEAN-QUARE	F-RATIO	P
REGRESSION	6759.776	1	6759.776	1.677	0.206
RESIDUAL	116909.341	29	4031.357		

## ภาคผนวก ค

**วิธีการวิเคราะห์แอมโมเนียในน้ำด้วยอย่าง (Strickland and Parson, 1972)**

วัดได้ในช่วงความเข้มข้น 0.1-10  $\mu\text{g/l}$  (ppm)

### หลักการ

นำทະเลจะถูกดึงใน Alkaline citrate medium ด้วย Sodium hypochlorite และ Phenol ให้อยู่ในรูปของ Sodium nitroprusside จะได้เป็นสารละลายสีฟ้า (indophenol formed)

### อุปกรณ์

Flask 125 มิลลิลิตร 3 ชุด

น้ำกลั่น

### การเก็บตัวอย่าง

เก็บตัวอย่างนำทະเลโดยใช้ขวดแก้วหรือ Polyethylene และควรวิเคราะห์ภายใน 1-2 ชั่วโมง ถ้าจะเก็บไว้นานกว่านี้ควรจะแข็งเย็นไว้แต่ไม่ควรเก็บไว้หลายวัน

### Reagent

#### 1. De-ionized water

นำน้ำกลั่นมาไล่แอมโมเนียออกโดยผ่านในคอลัมน์ที่บรรจุเรซิน (cation exchange resin) ยาวประมาณ 30 เซนติเมตร มีเส้นผ่าศูนย์กลางประมาณ 1-2 เซนติเมตร

#### 2. Phenol solution

ละลายน ผง Crystalline analytical grade phenol 20 กรัม ใน Ethyl alcohol 95% V/V 200 มิลลิลิตร

#### 3. Sodium nitroprusside solution

ละลายน Sodium nitroprusside ( $\text{Na}_2\text{Fe}(\text{CN})_5\text{NO}\cdot2\text{H}_2\text{O}$ ) 1.0 กรัมในน้ำกลั่น De-ionized 200 มิลลิลิตร เก็บไว้ในขวดสีชา (สามารถเก็บไว้ได้นาน 1 เดือน)

#### 4. Alkaline reagent

ละลายน Sodium citrate 100 กรัม และ Sodium hydroxide (AI grade) 5 กรัม ในน้ำกลั่น De-ionized 500 มิลลิลิตร

\* ใช้ได้ตลอด

#### 5. Sodium hypochlorite solution

- นำทุกตัวอย่างไปวิเคราะห์ตามวิธี ข้อ 1-3

- คำนวนค่าที่แท้จริงจากค่า F

$$F = \underline{3.0}$$

$$\frac{E_s - E_b}{}$$

เมื่อ  $E_s$  = ค่าเฉลี่ยที่ได้จาก standard

$E_b$  = ค่าเฉลี่ยที่ได้จาก blanks

ค่า F ที่ถูกต้อง ต้องได้ใกล้เคียงกับ 4.5

## ประวัติผู้เขียน

นางสาวปิยวรรณ ไหเมละเอียด เกิดวันที่ 8 สิงหาคม พ.ศ. 2514 กรุงเทพมหานคร  
สำเร็จการศึกษาระดับปริญญาบัณฑิตจากภาควิชาวิทยาศาสตร์ทางทะเล คณะวิทยาศาสตร์  
จุฬาลงกรณ์มหาวิทยาลัยเมื่อปี พ.ศ. 2536 และเข้าศึกษาต่อระดับปริญญาบัณฑิตที่ภาควิชา  
วิทยาศาสตร์ทางทะเล คณะวิทยาศาสตร์ จุฬาลงกรณ์มหาวิทยาลัย ในปีการศึกษา 2537